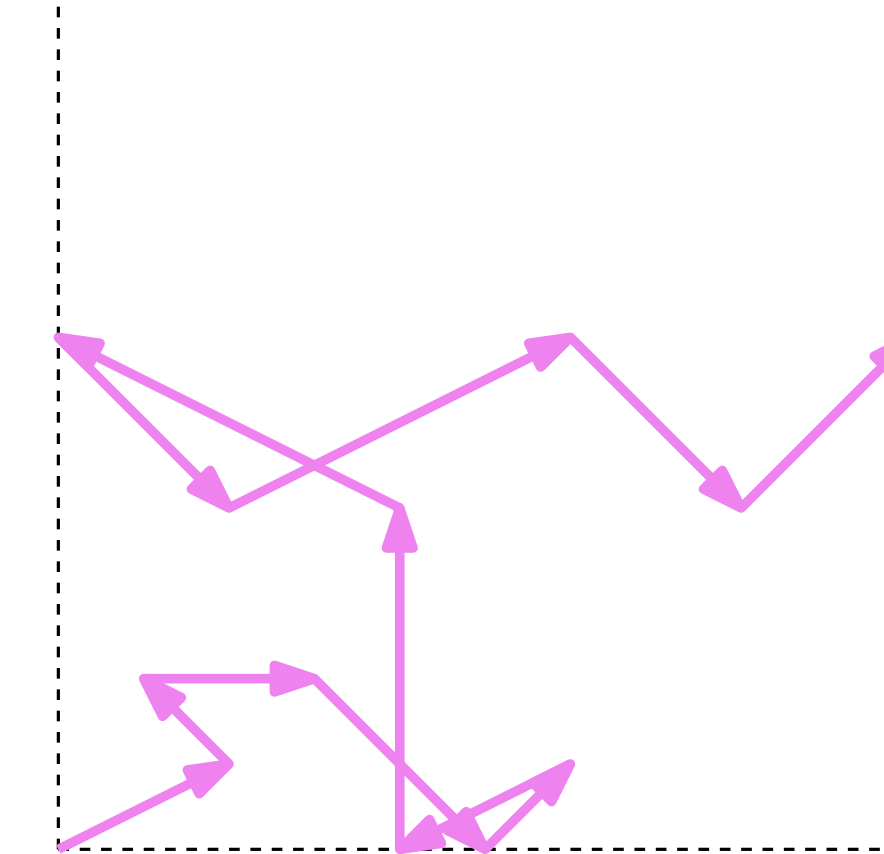


# La longue marche à travers le quart de plan

Soutenance de thèse

Pierre Bonnet

10 Février 2026



# 0. Chemins dans le quadrant

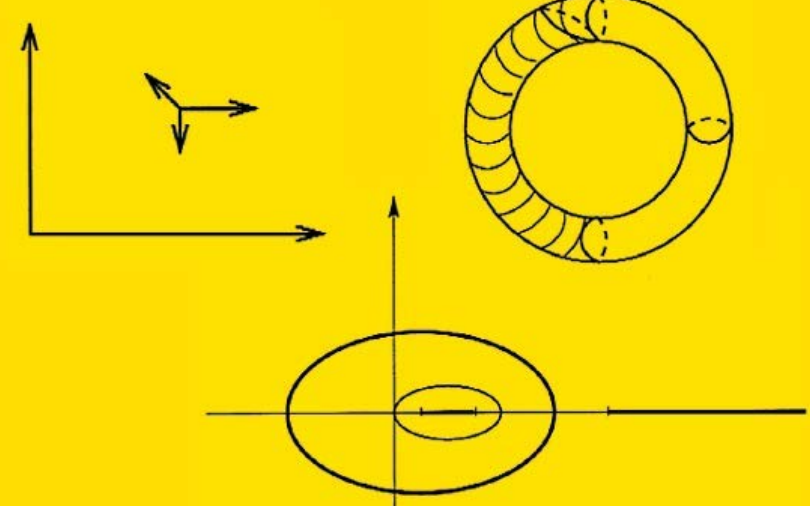
**Applications of Mathematics**  
Stochastic Modelling and Applied Probability

40

Guy Fayolle  
Roudolf Iasnogorodski  
Vadim Malyshev

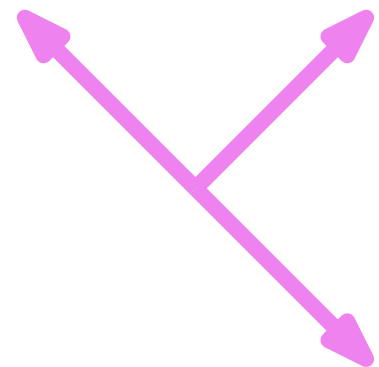
Random Walks  
in the Quarter-Plane

Algebraic Methods,  
Boundary Value Problems  
and Applications



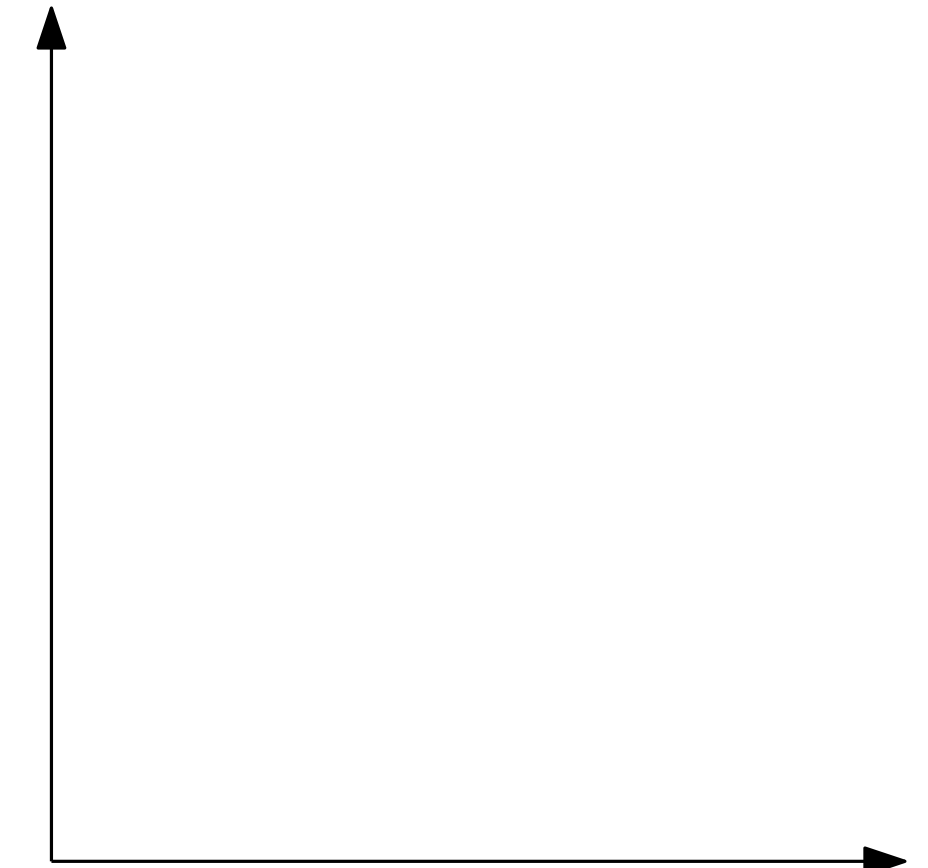
Springer

# Modèle et chemins contraints

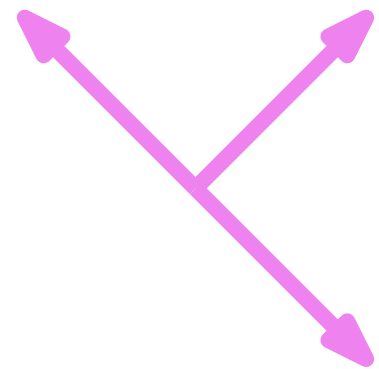


$$\mathcal{S} = \{(1, 1), (1, -1), (-1, 1)\} \subset \mathbb{Z} \times \mathbb{Z}$$

( $\mathcal{S}$  est un modèle)

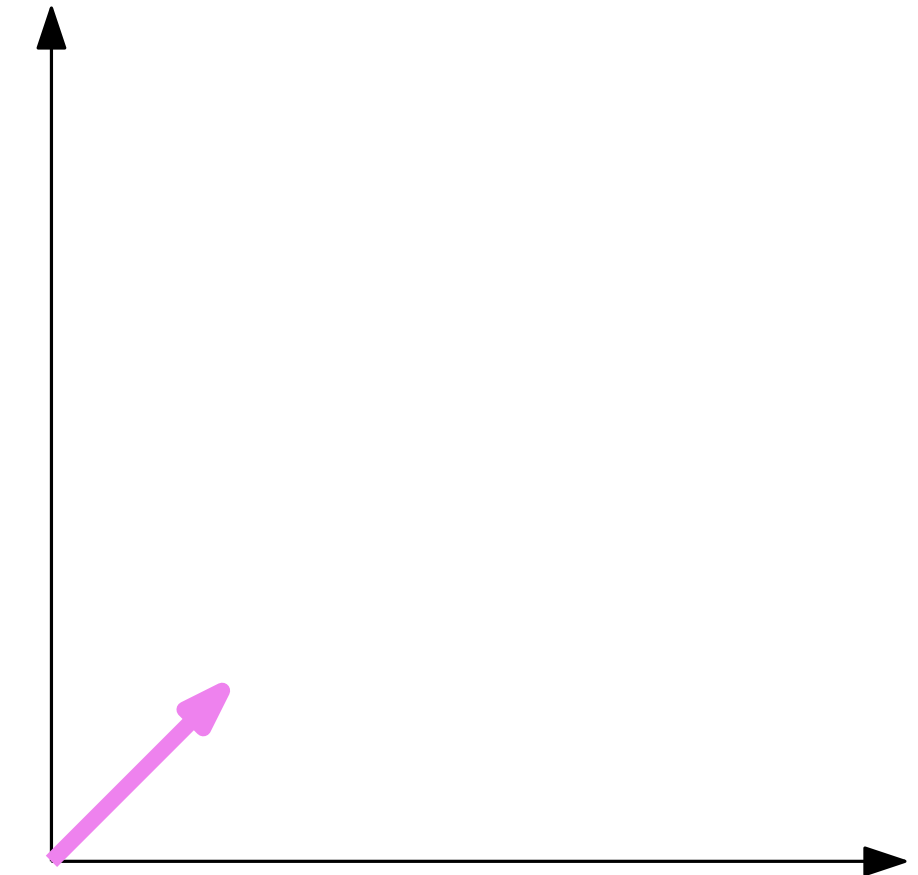


# Modèle et chemins contraints

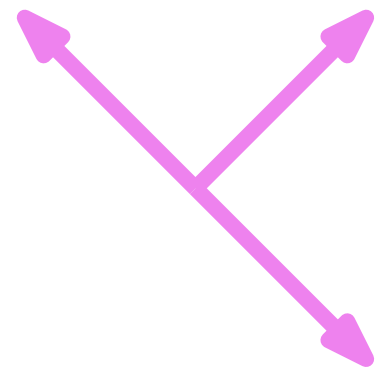


$$\mathcal{S} = \{(1, 1), (1, -1), (-1, 1)\} \subset \mathbb{Z} \times \mathbb{Z}$$

( $\mathcal{S}$  est un modèle)

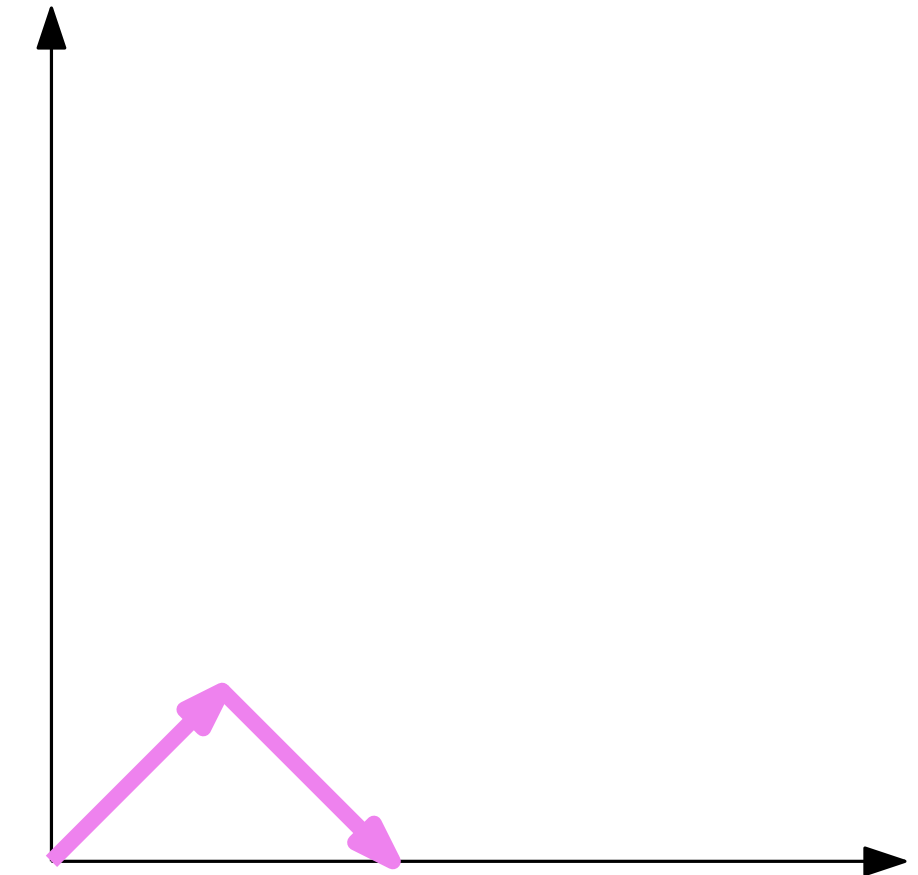


# Modèle et chemins contraints

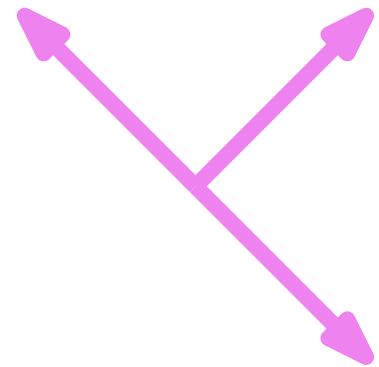


$$\mathcal{S} = \{(1, 1), (1, -1), (-1, 1)\} \subset \mathbb{Z} \times \mathbb{Z}$$

( $\mathcal{S}$  est un modèle)

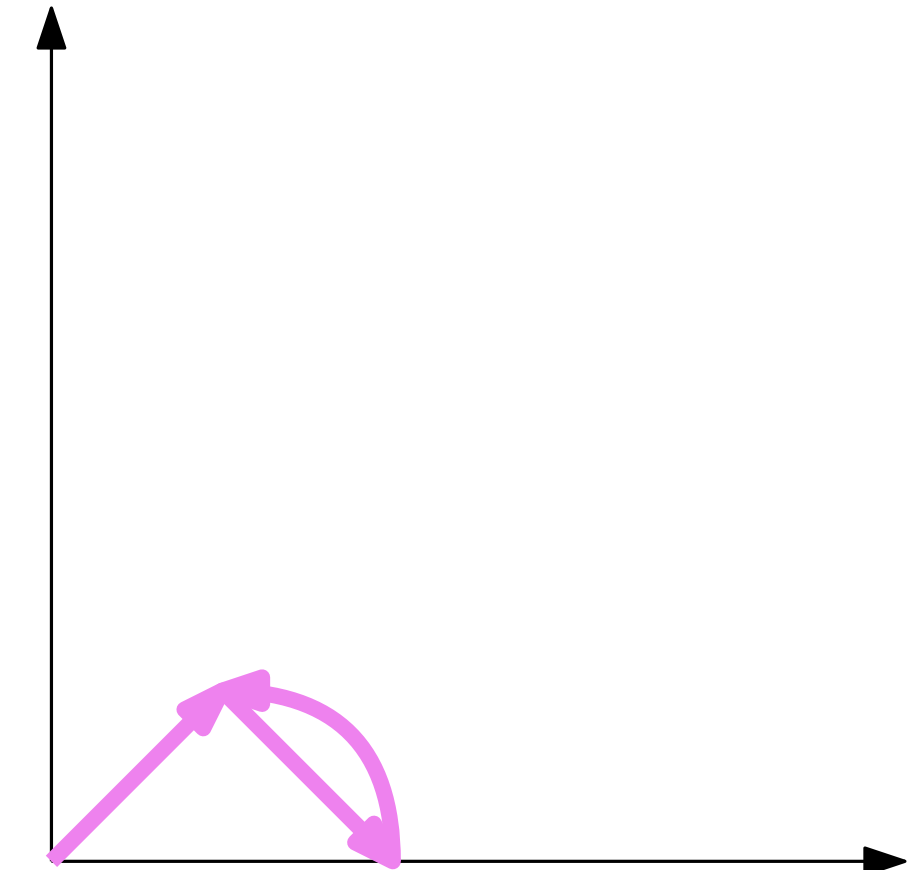


# Modèle et chemins contraints

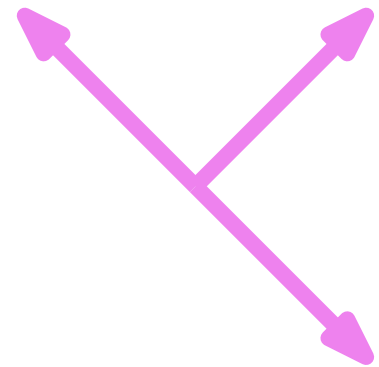


$$\mathcal{S} = \{(1, 1), (1, -1), (-1, 1)\} \subset \mathbb{Z} \times \mathbb{Z}$$

( $\mathcal{S}$  est un modèle)

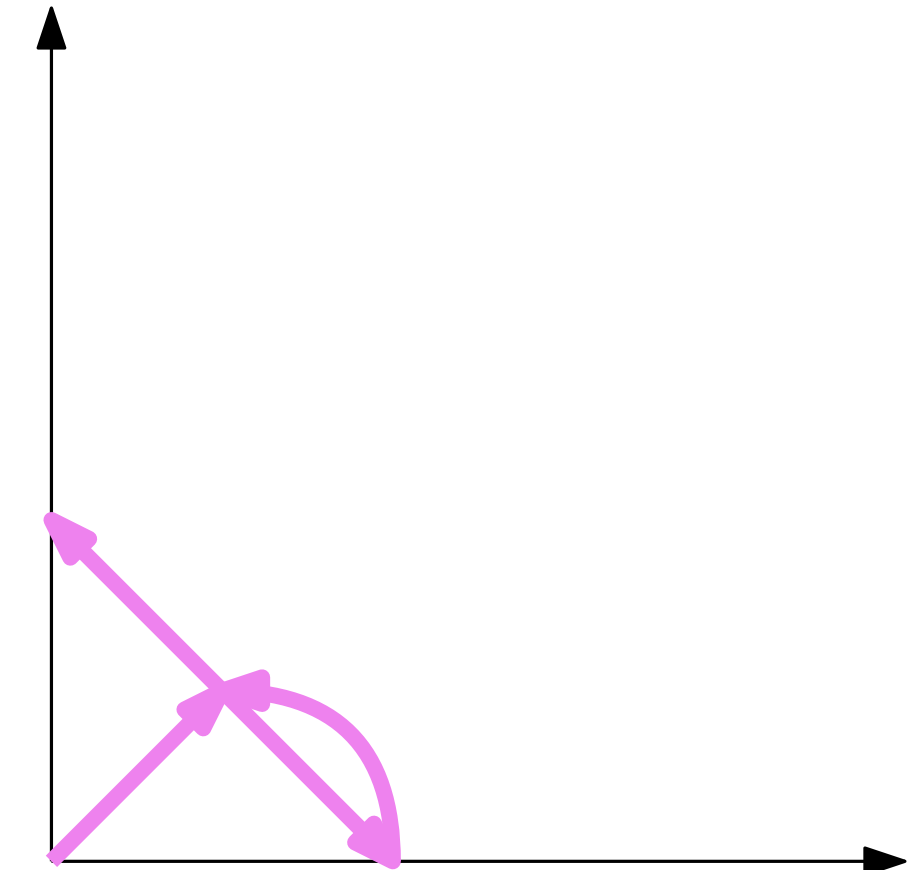


# Modèle et chemins contraints

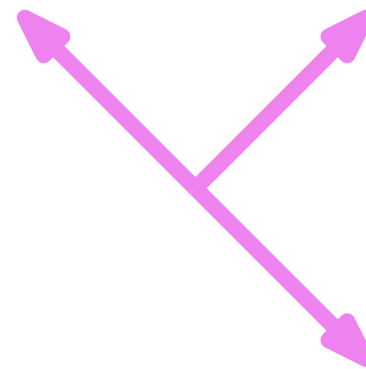


$$\mathcal{S} = \{(1, 1), (1, -1), (-1, 1)\} \subset \mathbb{Z} \times \mathbb{Z}$$

( $\mathcal{S}$  est un modèle)

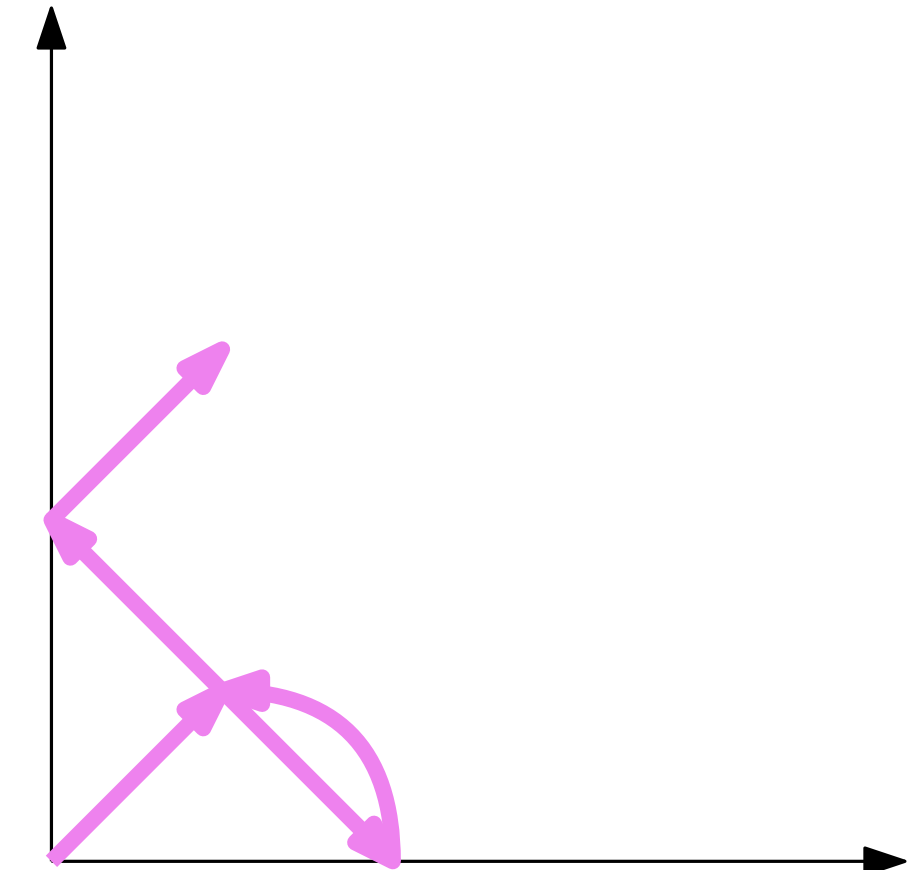


# Modèle et chemins contraints

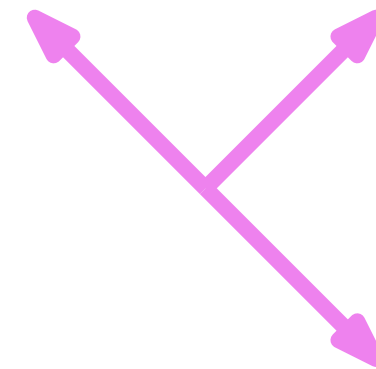


$$\mathcal{S} = \{(1, 1), (1, -1), (-1, 1)\} \subset \mathbb{Z} \times \mathbb{Z}$$

( $\mathcal{S}$  est un modèle)

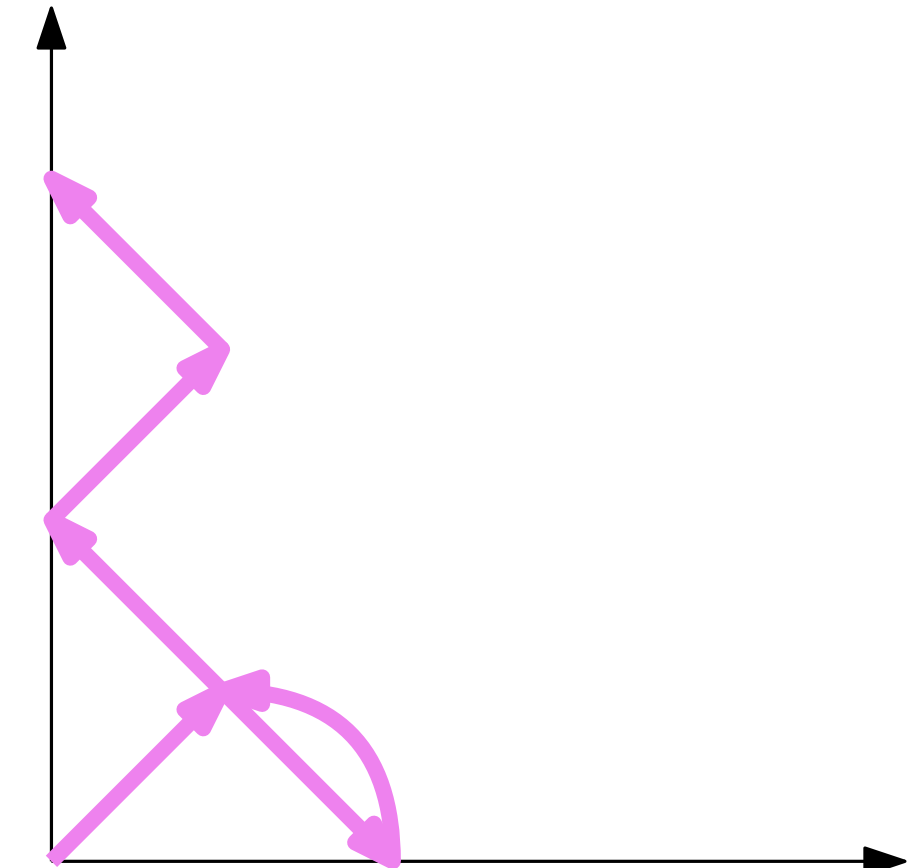


# Modèle et chemins contraints

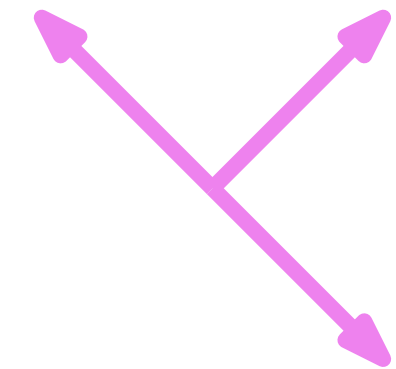


$$\mathcal{S} = \{(1, 1), (1, -1), (-1, 1)\} \subset \mathbb{Z} \times \mathbb{Z}$$

( $\mathcal{S}$  est un modèle)

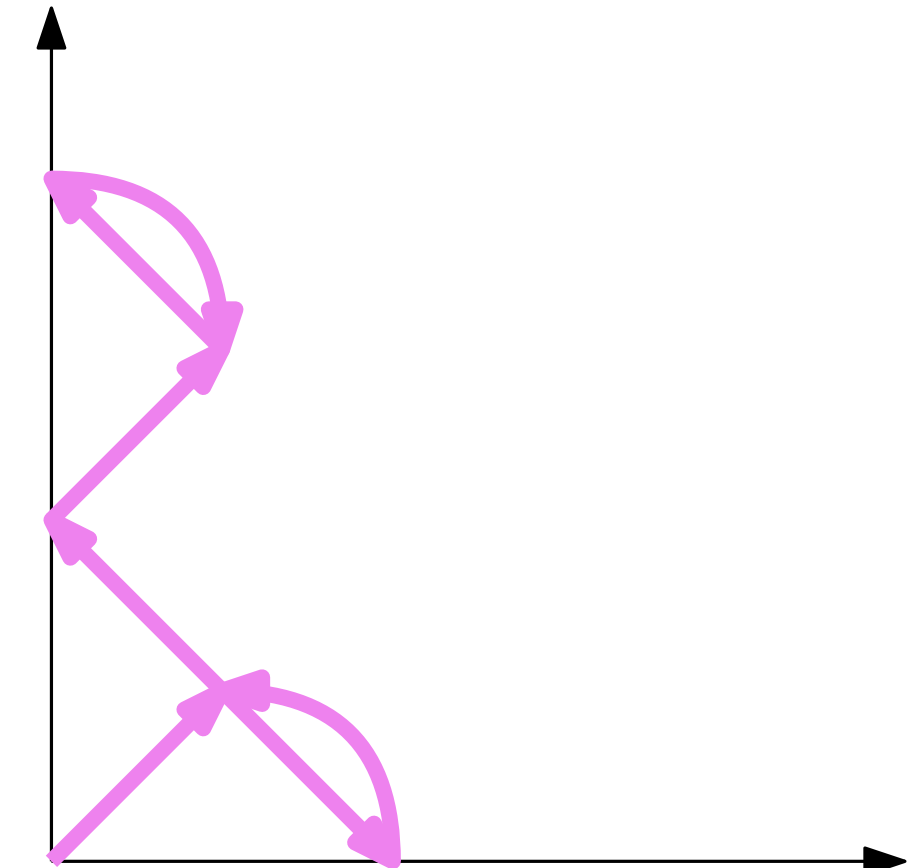


# Modèle et chemins contraints

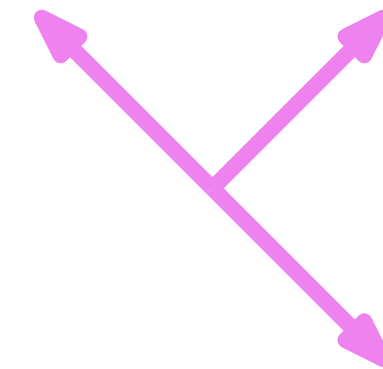


$$\mathcal{S} = \{(1, 1), (1, -1), (-1, 1)\} \subset \mathbb{Z} \times \mathbb{Z}$$

( $\mathcal{S}$  est un modèle)

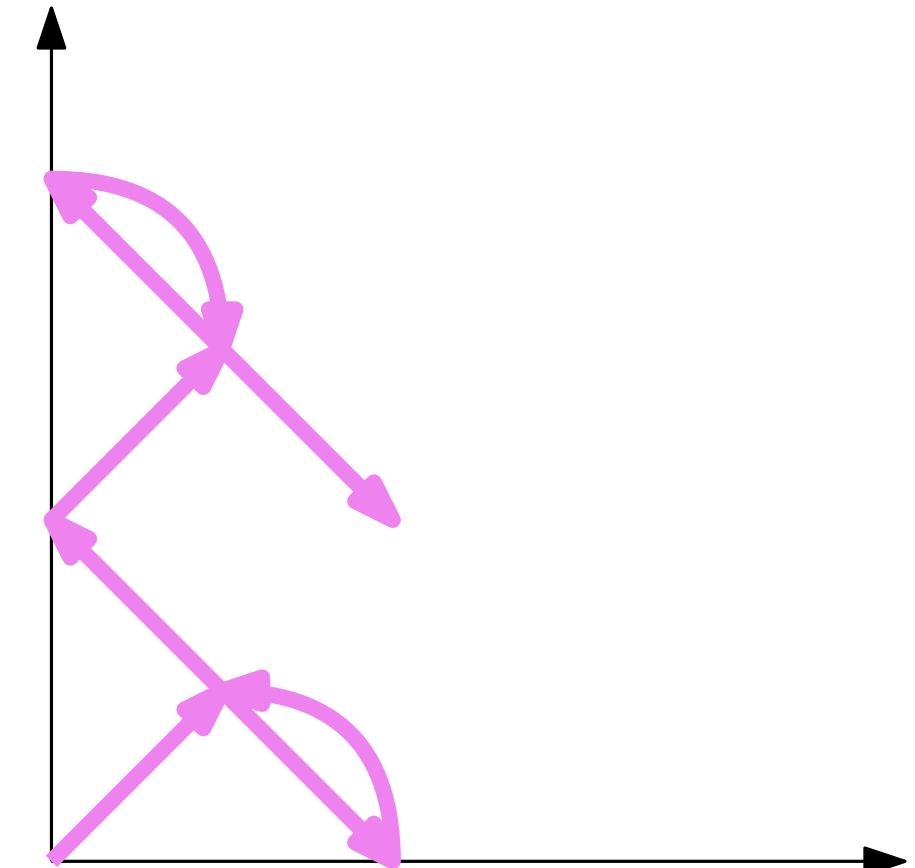


# Modèle et chemins contraints

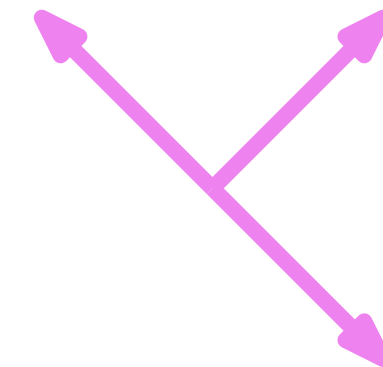


$$\mathcal{S} = \{(1, 1), (1, -1), (-1, 1)\} \subset \mathbb{Z} \times \mathbb{Z}$$

( $\mathcal{S}$  est un modèle)

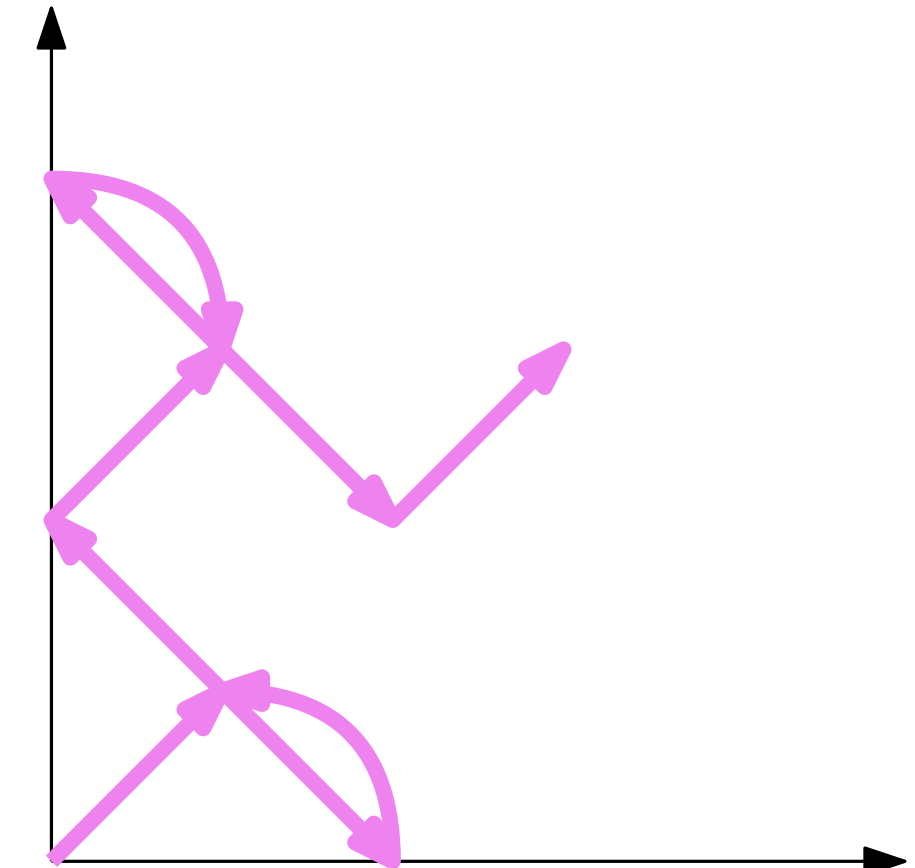


# Modèle et chemins contraints

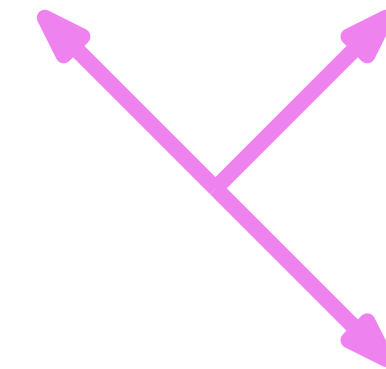


$$\mathcal{S} = \{(1, 1), (1, -1), (-1, 1)\} \subset \mathbb{Z} \times \mathbb{Z}$$

( $\mathcal{S}$  est un modèle)

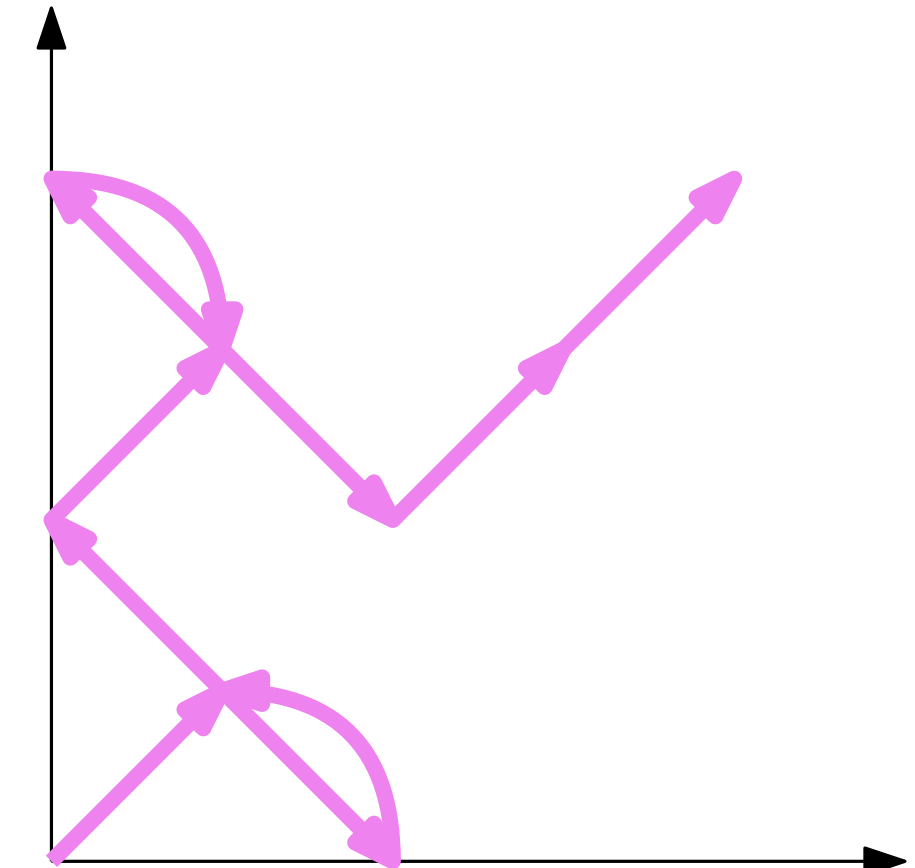


# Modèle et chemins contraints

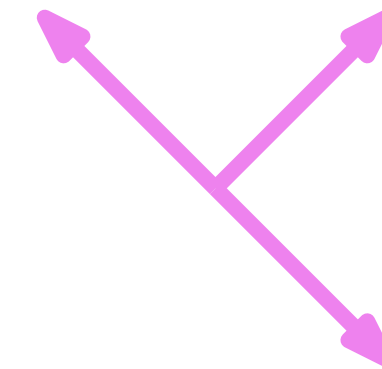


$$\mathcal{S} = \{(1, 1), (1, -1), (-1, 1)\} \subset \mathbb{Z} \times \mathbb{Z}$$

( $\mathcal{S}$  est un modèle)

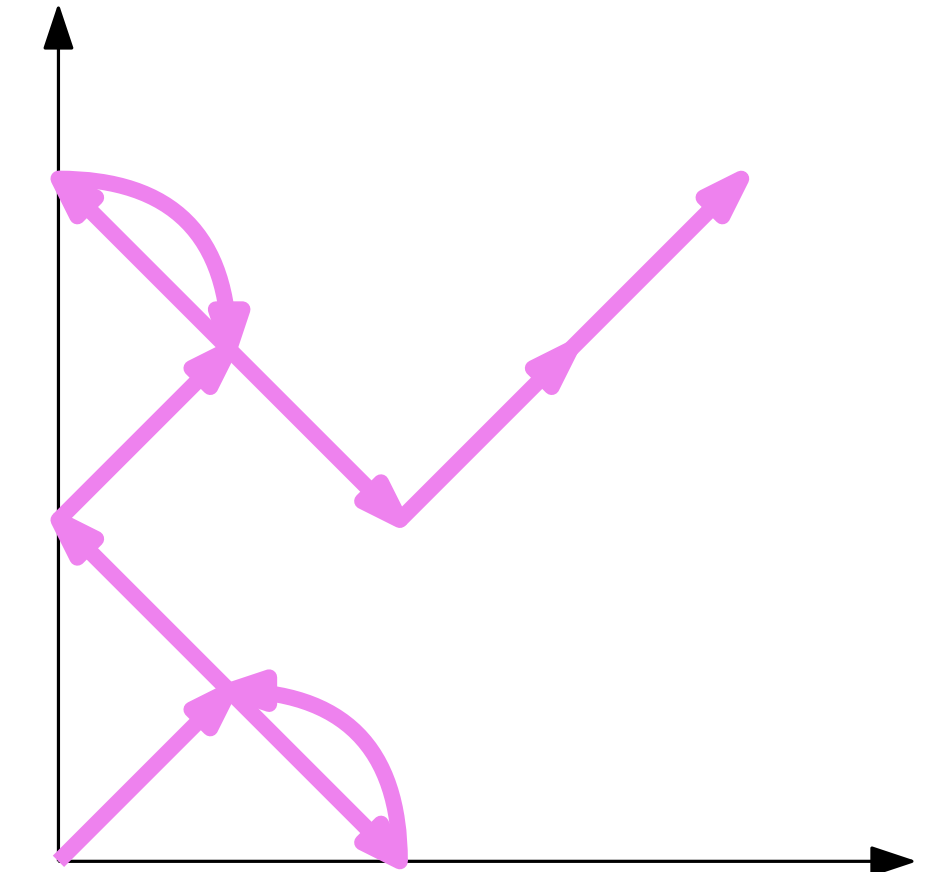


# Modèle et chemins contraints



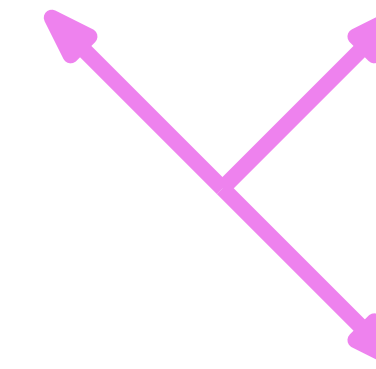
$$\mathcal{S} = \{(1, 1), (1, -1), (-1, 1)\} \subset \mathbb{Z} \times \mathbb{Z}$$

( $\mathcal{S}$  est un modèle)



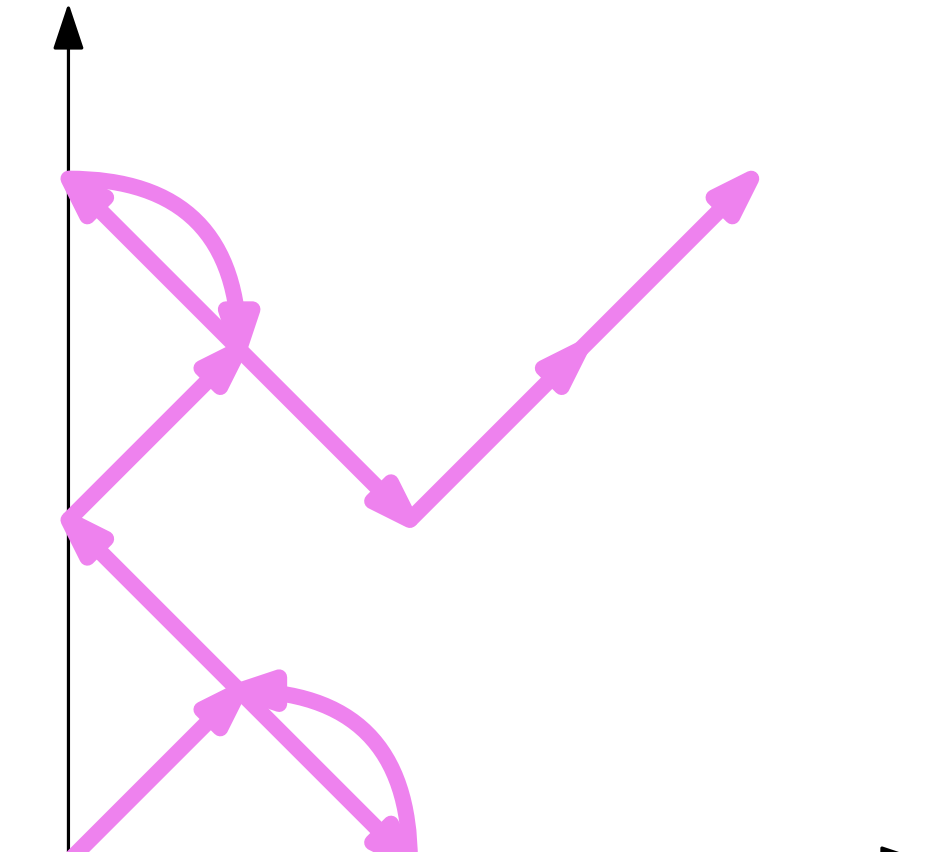
10 pas

## Modèle et chemins contraints



$$\mathcal{S} = \{(1, 1), (1, -1), (-1, 1)\} \subset \mathbb{Z} \times \mathbb{Z}$$

( $\mathcal{S}$  est un modèle)



10 pas

Étant donné un modèle  $\mathcal{S}$ , dénombrer les chemins dans le quadrant de longueur  $n$ .

## Sages conseils

Maybe more than a "trick," but if you want to investigate a sequence  $a_0, a_1, \dots$ , then look at a generating function such as  $\sum a_n x^n$  or  $\sum a_n \frac{x^n}{n!}$ . If you are interested in a function

$f : \text{Par} \rightarrow R$ , where  $R$  is a commutative ring and  $\text{Par}$  is the set of all partitions  $\lambda$  of all integers  $n \geq 0$ , then look at a generating function  $\sum_{\lambda} f(\lambda) N_{\lambda} b_{\lambda}$ , where  $\{b_{\lambda}\}$  is one of the standard bases for symmetric functions and  $N_{\lambda}$  is a normalizing factor (analogous to  $1/n!$ ). For instance, if  $f^{\lambda}$  is the number of standard Young tableaux of shape  $\lambda$ , then  $\sum_{\lambda} f^{\lambda} s_{\lambda} = 1/(1 - s_1)$ , where  $s_{\lambda}$  is a Schur function. If  $f(\lambda)$  is the number of square roots of a permutation  $\lambda \in S_n$  of cycle type  $\lambda$ , then

$$\sum_{\lambda} f(\lambda) z_{\lambda}^{-1} p_{\lambda} = \sum_{\lambda} s_{\lambda} = \frac{1}{\prod_i (1 - x_i) \cdot \prod_{i < j} (1 - x_i x_j)},$$

where  $p_{\lambda}$  is a power sum symmetric function and  $z_{\lambda}^{-1}$  is a standard normalizing factor.

[Share](#) [Cite](#) [Improve this answer](#) [Follow](#)

answered Jun 17, 2020 at 20:48

Community wiki

Richard Stanley

## Sages conseils

Maybe more than a "trick," but if you want to investigate a sequence  $a_0, a_1, \dots$ , then look at a generating function such as  $\sum a_n x^n$  or  $\sum a_n \frac{x^n}{n!}$ .

$f : \text{Par} \rightarrow R$ , where  $R$  is a commutative ring and  $\text{Par}$  is the set of all partitions  $\lambda$  of all integers  $n \geq 0$ , then look at a generating function  $\sum_{\lambda} f(\lambda) N_{\lambda} b_{\lambda}$ , where  $\{b_{\lambda}\}$  is one of the standard

Maybe more than a "trick", but if you want to investigate a sequence  $a_0, a_1, \dots$ , then look at a generating function such as  $\sum a_n x^n$  or  $\sum a_n \frac{x^n}{n!}$ .

Richard Stanley

$$\frac{1}{z_{\lambda}} = \prod_{i=1}^r (1 - x_i)^{\lambda_i} \cdot \prod_{i < j} (1 - x_i x_j)$$

where  $p_{\lambda}$  is a power sum symmetric function and  $z_{\lambda}^{-1}$  is a standard normalizing factor.

[Share](#) [Cite](#) [Improve this answer](#) [Follow](#)

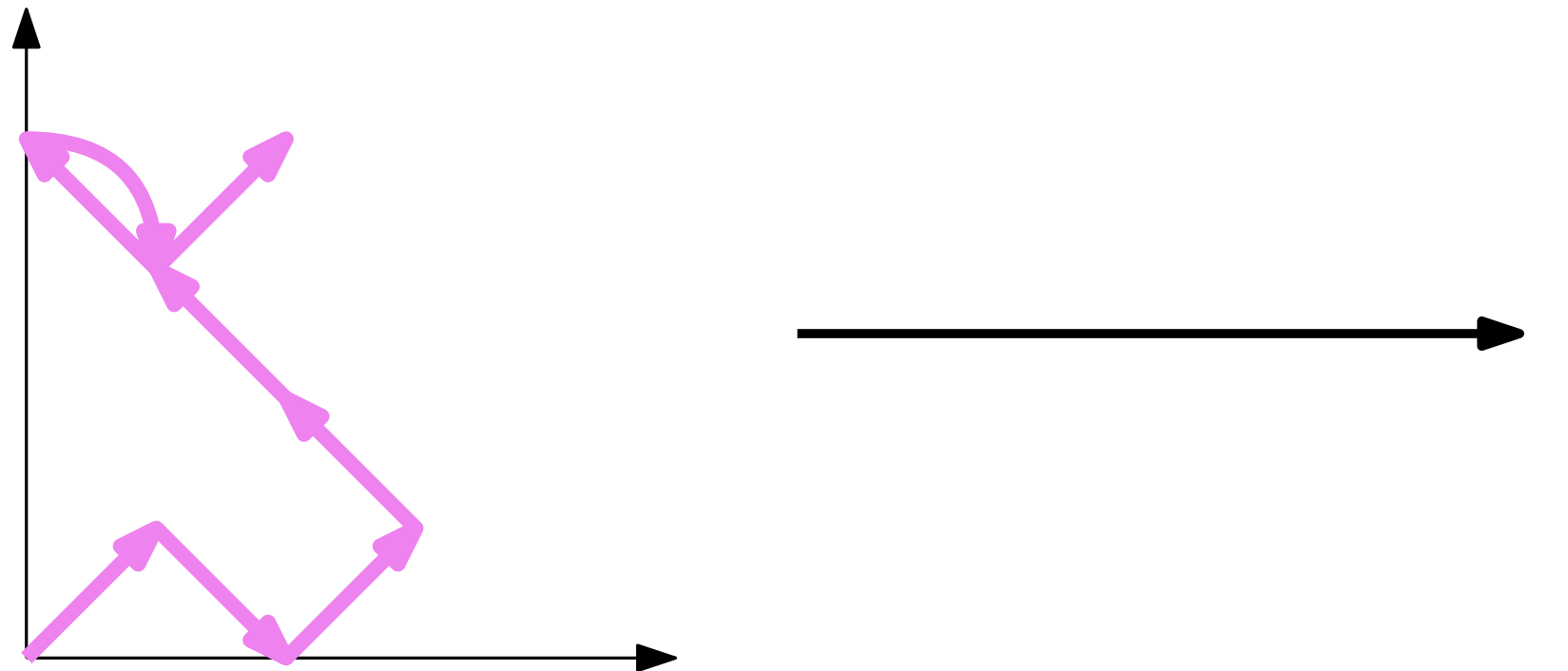
answered Jun 17, 2020 at 20:48

Community wiki

Richard Stanley

# Série génératrice

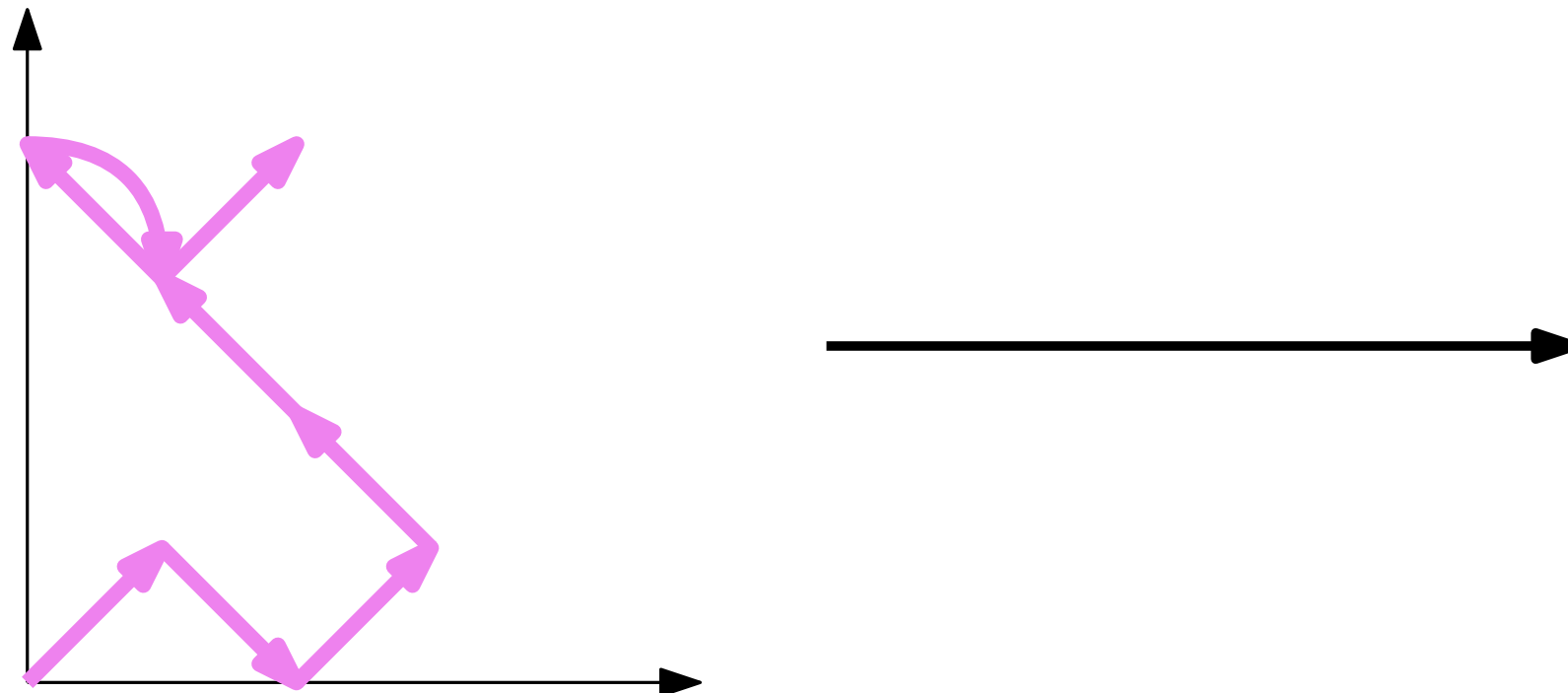
modèle  $\mathcal{S} \subset \mathbb{Z}^2$  fixé



$$x^2y^4t^8$$

# Série génératrice

modèle  $\mathcal{S} \subset \mathbb{Z}^2$  fixé



$$x^2y^4t^8$$

$$Q(x, y) := \sum_{\text{marche}} x^i y^j t^n \in \mathbb{Q}[x, y][[t]]$$

# Équation fonctionnelle

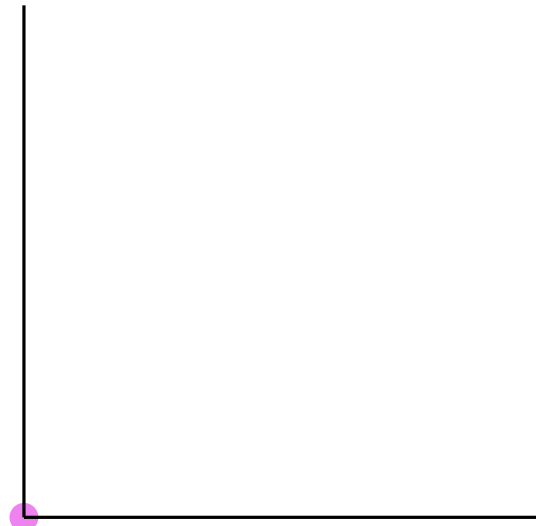
**Exemple** Modèle  $\mathcal{S} = \{(1, 1), (1, -1), (-1, 1)\}$

$$\begin{aligned} Q(x, y) &= x^0 y^0 + txy \cdot Q(x, y) \\ &\quad + tx/y \cdot (Q(x, y) - ([y^0]Q(x, y))) \\ &\quad + ty/x \cdot (Q(x, y) - ([x^0]Q(x, y))) \end{aligned}$$

# Équation fonctionnelle

**Exemple** Modèle  $\mathcal{S} = \{(1, 1), (1, -1), (-1, 1)\}$

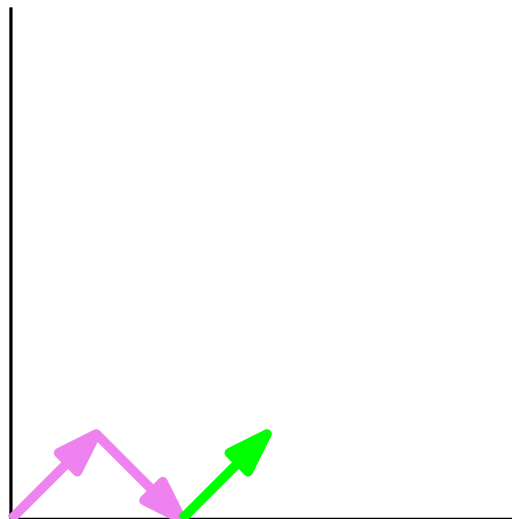
$$\begin{aligned} Q(x, y) &= x^0 y^0 + txy \cdot Q(x, y) \\ &\quad + tx/y \cdot (Q(x, y) - ([y^0]Q(x, y))) \\ &\quad + ty/x \cdot (Q(x, y) - ([x^0]Q(x, y))) \end{aligned}$$



# Équation fonctionnelle

**Exemple** Modèle  $\mathcal{S} = \{(1, 1), (1, -1), (-1, 1)\}$

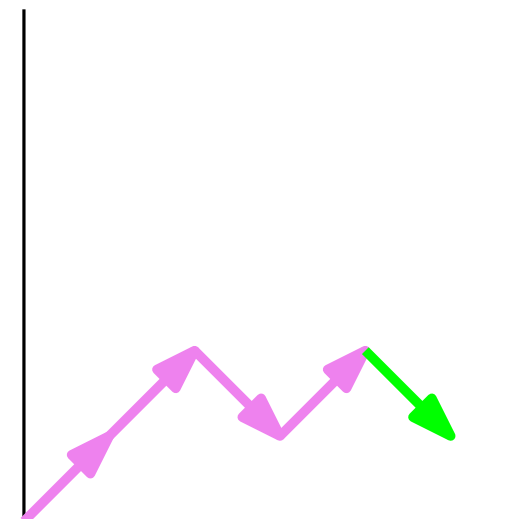
$$\begin{aligned} Q(x, y) &= x^0 y^0 + txy \cdot Q(x, y) \\ &\quad + tx/y \cdot (Q(x, y) - ([y^0]Q(x, y))) \\ &\quad + ty/x \cdot (Q(x, y) - ([x^0]Q(x, y))) \end{aligned}$$



# Équation fonctionnelle

**Exemple** Modèle  $\mathcal{S} = \{(1, 1), (1, -1), (-1, 1)\}$

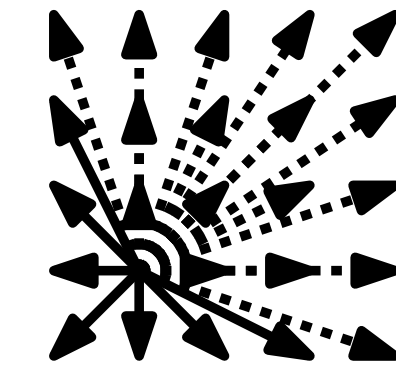
$$\begin{aligned} Q(x, y) &= x^0 y^0 + txy \cdot Q(x, y) \\ &+ tx/y \cdot (Q(x, y) - ([y^0]Q(x, y))) \\ &+ ty/x \cdot (Q(x, y) - ([x^0]Q(x, y))) \end{aligned}$$



# Équation aux variables catalytiques

**Cas particulier** : petits pas arrière

$$\mathcal{S} \subset$$



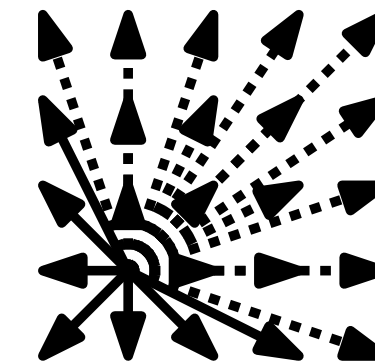
$$S(x, y) = \sum_{(i,j) \in \mathcal{S}} x^i y^j \text{ et } K(x, y) = 1 - tS(x, y)$$

$$xyK(x, y)Q(x, y) = xy + ta(x)Q(x, 0) + tb(y)Q(0, y) + tcQ(0, 0)$$

# Équation aux variables catalytiques

**Cas particulier :** petits pas arrière

$$\mathcal{S} \subset$$



$$S(x, y) = \sum_{(i,j) \in \mathcal{S}} x^i y^j \text{ et } K(x, y) = 1 - tS(x, y)$$

$$xyK(x, y)Q(x, y) = xy + ta(x)Q(x, 0) + tb(y)Q(0, y) + tcQ(0, 0)$$

## **Classification structurelle**

$Q(x, y)$  la série des chemins est-elle :

# Classification structurelle

$Q(x, y)$  la série des chemins est-elle :

Rationnelle ?

$$Q(x, y) = P_1(x, y, t)/P_2(x, y, t)$$

$$\text{ex: } Q(x, y) = 1/(1 - t(x + y + xy))$$



# Classification structurelle

$Q(x, y)$  la série des chemins est-elle :

Rationnelle ?

$$Q(x, y) = P_1(x, y, t)/P_2(x, y, t)$$

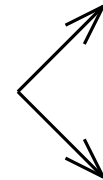
$$\text{ex: } Q(x, y) = 1/(1 - t(x + y + xy))$$



Algébrique ?

$$P(x, y, t, Q(x, y)) = 0$$

$$\text{ex: } Q(x, y) = 1/(1 - txy \frac{1 - \sqrt{1 - 4t^2x^2}}{2t^2x^2})$$



# Classification structurelle

$Q(x, y)$  la série des chemins est-elle :

Rationnelle ?

$$Q(x, y) = P_1(x, y, t)/P_2(x, y, t)$$

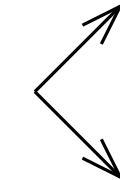
$$\text{ex: } Q(x, y) = 1/(1 - t(x + y + xy))$$



Algébrique ?

$$P(x, y, t, Q(x, y)) = 0$$

$$\text{ex: } Q(x, y) = 1/(1 - txy \frac{1 - \sqrt{1 - 4t^2x^2}}{2t^2x^2})$$



D-finie ?

$$P_z(x, y, t, \partial_z)(Q(x, y)) = 0 \quad \forall z \in \{x, y, t\}$$

# Classification structurelle

$Q(x, y)$  la série des chemins est-elle :

Rationnelle ?

$$Q(x, y) = P_1(x, y, t)/P_2(x, y, t)$$

$$\text{ex: } Q(x, y) = 1/(1 - t(x + y + xy))$$



Algébrique ?

$$P(x, y, t, Q(x, y)) = 0$$

$$\text{ex: } Q(x, y) = 1/(1 - txy \frac{1 - \sqrt{1 - 4t^2x^2}}{2t^2x^2})$$



D-finie ?

$$P_z(x, y, t, \partial_z)(Q(x, y)) = 0 \quad \forall z \in \{x, y, t\}$$

D-algébrique ?

$$P_z(x, y, t, Q(x, y), \partial_z Q(x, y), \dots) = 0 \quad \forall z \in \{x, y, t\}$$

# Classification structurelle

$Q(x, y)$  la série des chemins est-elle :

Rationnelle ?

$$Q(x, y) = P_1(x, y, t)/P_2(x, y, t)$$

∩

$$\text{ex: } Q(x, y) = 1/(1 - t(x + y + xy))$$

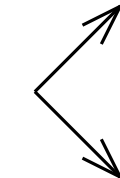


Algébrique ?

$$P(x, y, t, Q(x, y)) = 0$$

∩

$$\text{ex: } Q(x, y) = 1/(1 - txy \frac{1 - \sqrt{1 - 4t^2x^2}}{2t^2x^2})$$



D-finie ?

$$P_z(x, y, t, \partial_z)(Q(x, y)) = 0 \quad \forall z \in \{x, y, t\}$$

∩

D-algébrique ?

$$P_z(x, y, t, Q(x, y), \partial_z Q(x, y), \dots) = 0 \quad \forall z \in \{x, y, t\}$$

# Classification structurelle

$Q(x, y)$  la série des chemins est-elle :

Rationnelle ?

$$Q(x, y) = P_1(x, y, t)/P_2(x, y, t)$$

∩

ex:  $Q(x, y) = 1/(1 - t(x + y + xy))$

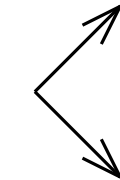


Algébrique ?

$$P(x, y, t, Q(x, y)) = 0$$

∩

ex:  $Q(x, y) = 1/(1 - txy \frac{1-\sqrt{1-4t^2x^2}}{2t^2x^2})$



D-finie ?

$$P_z(x, y, t, \partial_z)(Q(x, y)) = 0 \quad \forall z \in \{x, y, t\}$$

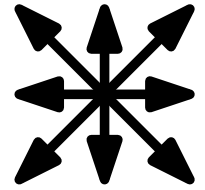
∩

D-algébrique ?

$$P_z(x, y, t, Q(x, y), \partial_z Q(x, y), \dots) = 0 \quad \forall z \in \{x, y, t\}$$

Hypertranscendante ?

# Chemins à petits pas, 2008–2018

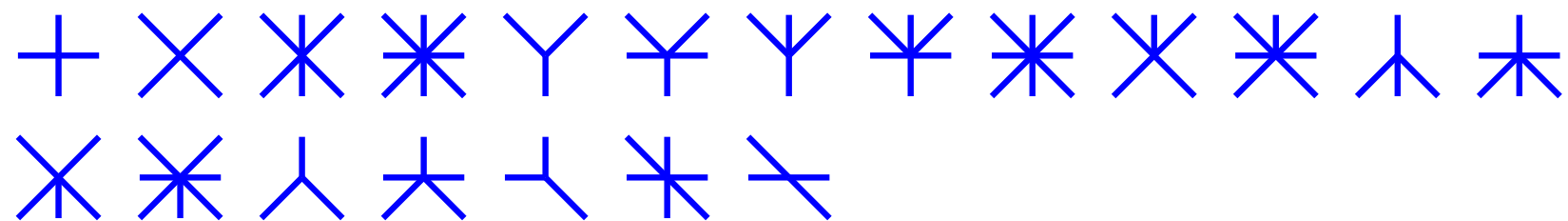


$$xyK(x, y)Q(x, y) = xy + a(x)Q(x, 0) + b(y)Q(0, y) + ctQ(0, 0)$$

Algébriques



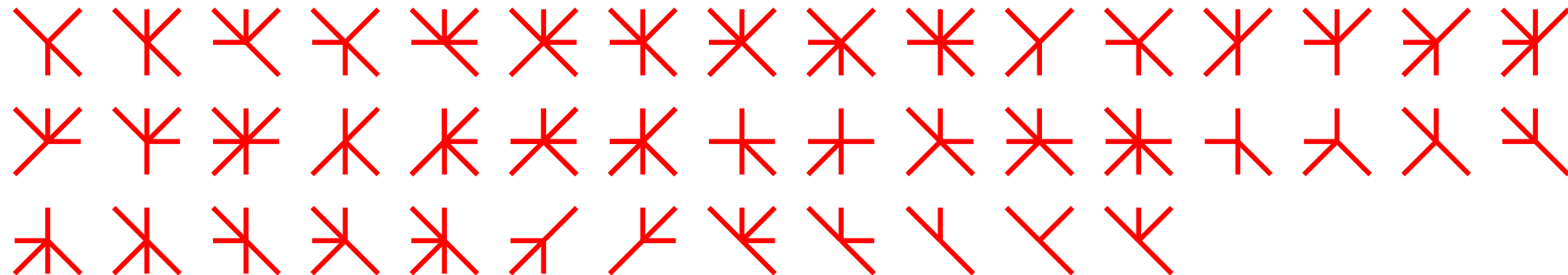
Différentiellement  
finis



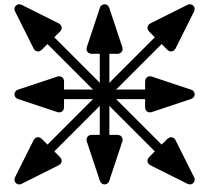
Différentiellement  
algébriques



Hypertranscendant



# Chemins à petits pas, 2008–2018



$$xyK(x,y)Q(x,y) = xy + a(x)Q(x,0) + b(y)Q(0,y) + ctQ(0,0)$$

Algébriques

Différentiellement  
finis

Différentiellement  
algébriques

Hypertranscendant

Bousquet-Mélou

Bostan

Fayolle

Dreyfus

Melczer

Kauers

Kurkova

Hardouin

Roques

Salvy

Mishna

Zeilberger

Rechnitzer

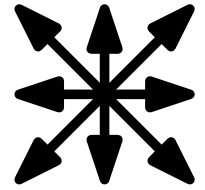
Wachtel

Raschel

Singer

Denisov

# Chemins à petits pas, 2008–2018



$$xyK(x, y)Q(x, y) = xy + a(x)Q(x, 0) + b(y)Q(0, y) + ctQ(0, 0)$$

Algébriques

Différentiellement  
finis

Différentiellement  
algébriques

Hypertranscendant:

Calcul formel

Analyse

Galois aux différences

Bousquet-Mélou

Bostan

Melczer

Mishna

Salvy

Kauers

Rechnitzer

Zeilberger

Kurkova

Fayolle

Hardouin

Raschel

Wachtel

Denisov

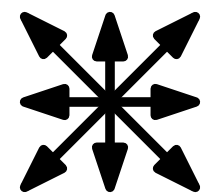
Singer

Dreyfus

Roques

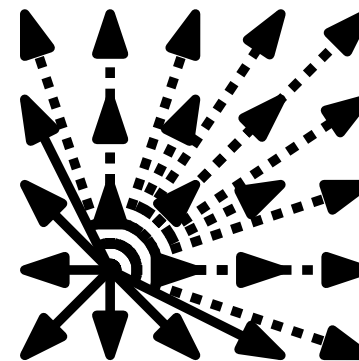
Combinatoire énumérative

# Plan



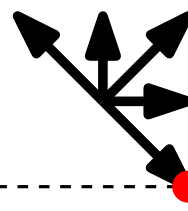
Petits pas

1.

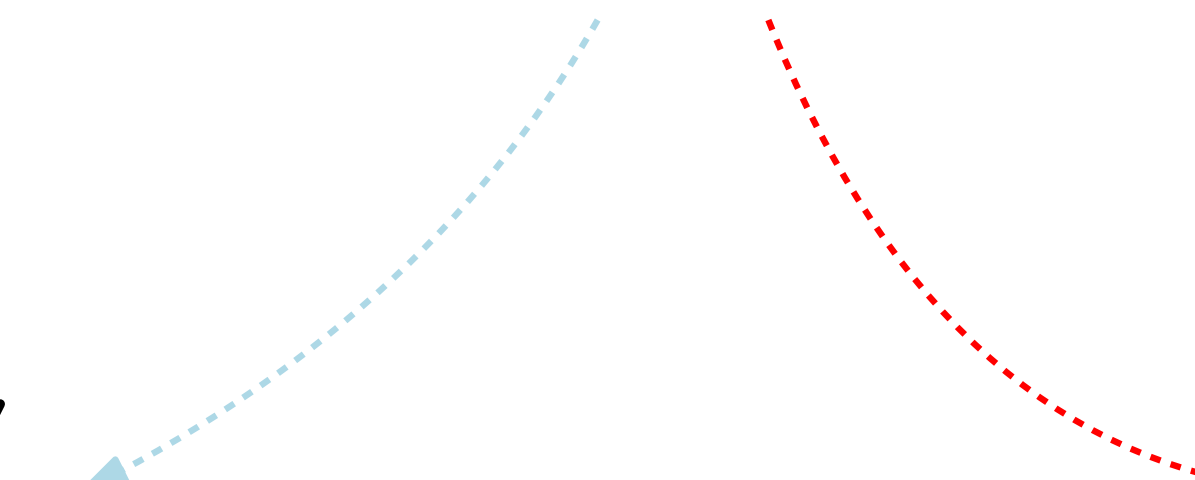


Grands pas

2.



Genre 0 avec interactions

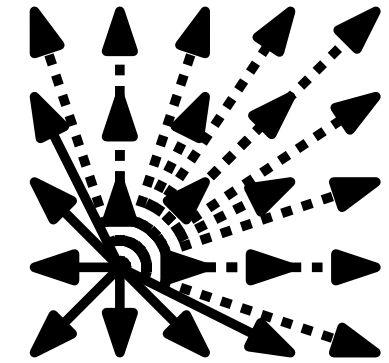


## 1. Chemins à grands pas



# Équation fonctionnelle

$\mathcal{S} \subset$

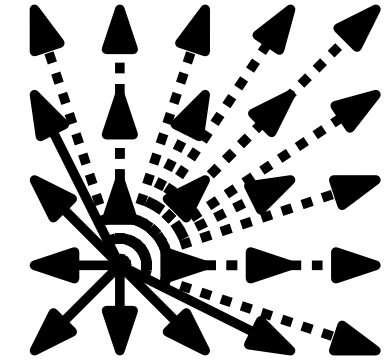


**Cas particulier** : petits pas arrière partant du point  $(i_0, j_0)$

$$xyK(x, y)Q(x, y) = x^{i_0+1}y^{j_0+1} + a(x)Q(x, 0) + b(y)Q(0, y) + ctQ(0, 0)$$

# Équation fonctionnelle

$\mathcal{S} \subset$



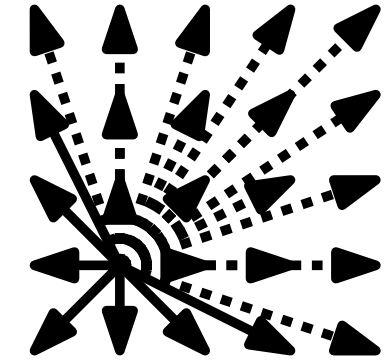
**Cas particulier** : petits pas arrière partant du point  $(i_0, j_0)$

$$xyK(x, y)Q(x, y) = x^{i_0+1}y^{j_0+1} + a(x)Q(x, 0) + b(y)Q(0, y) + ctQ(0, 0)$$

$$xyK(x, y)Q(x, y) = x^{i_0+1}y^{j_0+1} + A(x) + B(y)$$

# Équation fonctionnelle

$\mathcal{S} \subset$



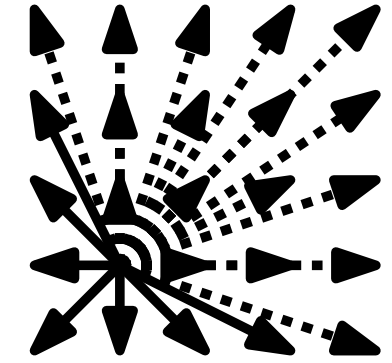
**Cas particulier** : petits pas arrière partant du point  $(i_0, j_0)$

$$xyK(x, y)Q(x, y) = x^{i_0+1}y^{j_0+1} + a(x)Q(x, 0) + b(y)Q(0, y) + ctQ(0, 0)$$

$$xyK(x, y)Q(x, y) = \textcircled{x^{i_0+1}y^{j_0+1}} + A(x) + B(y)$$

# Équation fonctionnelle

$\mathcal{S} \subset$



**Cas particulier** : petits pas arrière partant du point  $(i_0, j_0)$

$$xyK(x, y)Q(x, y) = x^{i_0+1}y^{j_0+1} + a(x)Q(x, 0) + b(y)Q(0, y) + ctQ(0, 0)$$

$$xyK(x, y)Q(x, y) = \textcircled{x^{i_0+1}y^{j_0+1}} + A(x) + B(y)$$

⇒ Stratégie d'algébricité de **Bernardi, Bousquet-Mélou, Raschel 21**

# Équations d'une variable catalytique

**Théorème [Popescu 86; Bousquet-Mélou, Jehanne 05]** Une équation de la forme

$$F(x, t) = B(x) + tP(x, t, F(x, t), [x^0]F(x, t), [x^1]F(x, t), \dots, [x^{r-1}]F(x, t))$$

(avec  $B$  et  $P$  des polynômes à coefficients dans  $\mathbb{C}$ )

admet une unique solution  $F(x, t) \in \mathbb{C}(x)[[t]]$ .

De plus,  $F(x, t)$  est algébrique sur  $\mathbb{C}(x, t)$ .

# Équations d'une variable catalytique

**Théorème [Popescu 86; Bousquet-Mélou, Jehanne 05]** Une équation de la forme

$$F(x, t) = B(x) + tP(x, t, F(x, t), [x^0]F(x, t), [x^1]F(x, t), \dots, [x^{r-1}]F(x, t))$$

(avec  $B$  et  $P$  des polynômes à coefficients dans  $\mathbb{C}$ )

admet une unique solution  $F(x, t) \in \mathbb{C}(x)[[t]]$ .

De plus,  $F(x, t)$  est algébrique sur  $\mathbb{C}(x, t)$ .

**Exemple :** Une série  $F(x, t)$  de chemins dans un demi plan vérifie une équation de la forme

$$F(x, t) = 1 + \sum_i ta_i(x)[x^i]F(x, t) + tP(x)F(x, t)$$

$\Rightarrow F(x, t)$  est algébrique

# **Invariants de Tutte : du local au global**

## Invariants de Tutte : du local au global

Soit  $K(x, y) = 1 - tS(x, y)$  où  $S(x, y)$  vérifie  $[x^{-1}]S(x, y) < 0$  et  $[y^{-1}]S(x, y) < 0$ .

## Invariants de Tutte : du local au global

Soit  $K(x, y) = 1 - tS(x, y)$  où  $S(x, y)$  vérifie  $[x^{-1}]S(x, y) < 0$  et  $[y^{-1}]S(x, y) < 0$ .

**Définition [BM23]** Soit  $A = \mathbb{C}[[x, y, t]][1/x, 1/y, 1/t]$ , et  $H_1(x, y), H_2(x, y) \in A$ . Si

$$H_1 - H_2 = K(x, y)U(x, y) \text{ avec } U(x, y) \in A$$

on écrit  $H_1 \equiv H_2$ . La relation  $\equiv$  est compatible avec  $+$ ,  $\times$ .

## Invariants de Tutte : du local au global

Soit  $K(x, y) = 1 - tS(x, y)$  où  $S(x, y)$  vérifie  $[x^{-1}]S(x, y) < 0$  et  $[y^{-1}]S(x, y) < 0$ .

**Définition [BM23]** Soit  $A = \mathbb{C}[[x, y, t]][1/x, 1/y, 1/t]$ , et  $H_1(x, y), H_2(x, y) \in A$ . Si

$$H_1 - H_2 = K(x, y)U(x, y) \text{ avec } U(x, y) \in A$$

on écrit  $H_1 \equiv H_2$ . La relation  $\equiv$  est compatible avec  $+$ ,  $\times$ .

Soient  $I(x) \in A$  et  $J(y) \in A$  tels que  $I(x) \equiv J(y)$ , on dit que

$(I(x), J(y))$  est une **paire d'invariants**.

## Invariants de Tutte : du local au global

Soit  $K(x, y) = 1 - tS(x, y)$  où  $S(x, y)$  vérifie  $[x^{-1}]S(x, y) < 0$  et  $[y^{-1}]S(x, y) < 0$ .

**Définition [BM23]** Soit  $A = \mathbb{C}[[x, y, t]][1/x, 1/y, 1/t]$ , et  $H_1(x, y), H_2(x, y) \in A$ . Si

$$H_1 - H_2 = K(x, y)U(x, y) \text{ avec } U(x, y) \in A$$

on écrit  $H_1 \equiv H_2$ . La relation  $\equiv$  est compatible avec  $+$ ,  $\times$ .

Soient  $I(x) \in A$  et  $J(y) \in A$  tels que  $I(x) \equiv J(y)$ , on dit que

$(I(x), J(y))$  est une **paire d'invariants**.

**Lemme des invariants [BM23; B. 26+]** Si  $(I(x), J(y))$  est une paire d'invariants avec

$$I(x) = O(x)$$

$$J(y) = O(y)$$

alors  $I(x) = J(y) = 0$ .

# **Relations entre invariants**

## Relations entre invariants

$$(I_1(x), J_1(y)) = (1/x^{v_1} + \dots + O(x), 1/y^{v'_1} + \dots + O(y)) \text{ Inconnus}$$

$$(I_2(x), J_2(y)) = (1/x^{v_2} + \dots + O(x), 1/y^{v'_2} + \dots + O(y)) \in \mathbb{C}(x, t) \times \mathbb{C}(y, t)$$

## Relations entre invariants

$$(I_1(x), J_1(y)) = (1/x^{v_1} + \dots + O(x), 1/y^{v'_1} + \dots + O(y)) \text{ Inconnus}$$

$$(I_2(x), J_2(y)) = (1/x^{v_2} + \dots + O(x), 1/y^{v'_2} + \dots + O(y)) \in \mathbb{C}(x, t) \times \mathbb{C}(y, t)$$

**Théorème [B. 26+]** Il existe un polynôme  $P \in \mathbb{C}[[t]][X, Y]$  non nul tel que

$$I_3(x) := P(I_1(x), I_2(x)) = O(x) \quad \text{et} \quad J_3(y) := P(J_1(y), J_2(y)) = O(y)$$

## Relations entre invariants

$$(I_1(x), J_1(y)) = (1/x^{v_1} + \dots + O(x), 1/y^{v'_1} + \dots + O(y)) \text{ Inconnus}$$

$$(I_2(x), J_2(y)) = (1/x^{v_2} + \dots + O(x), 1/y^{v'_2} + \dots + O(y)) \in \mathbb{C}(x, t) \times \mathbb{C}(y, t)$$

**Théorème [B. 26+]** Il existe un polynôme  $P \in \mathbb{C}[[t]][X, Y]$  non nul tel que

$$I_3(x) := P(I_1(x), I_2(x)) = O(x) \quad \text{et} \quad J_3(y) := P(J_1(y), J_2(y)) = O(y)$$

⇒ Par le lemme des invariants, on a

$$P(I_1(x), I_2(x)) = 0 \quad \text{et} \quad P(J_1(y), J_2(y)) = 0$$

## Relations entre invariants

$$(I_1(x), J_1(y)) = (1/x^{v_1} + \dots + O(x), 1/y^{v'_1} + \dots + O(y)) \text{ Inconnus}$$

$$(I_2(x), J_2(y)) = (1/x^{v_2} + \dots + O(x), 1/y^{v'_2} + \dots + O(y)) \in \mathbb{C}(x, t) \times \mathbb{C}(y, t)$$

**Théorème [B. 26+]** Il existe un polynôme  $P \in \mathbb{C}[[t]][X, Y]$  non nul tel que

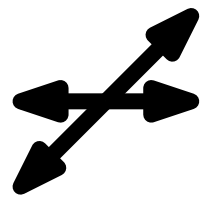
$$I_3(x) := P(I_1(x), I_2(x)) = O(x) \quad \text{et} \quad J_3(y) := P(J_1(y), J_2(y)) = O(y)$$

⇒ Par le lemme des invariants, on a

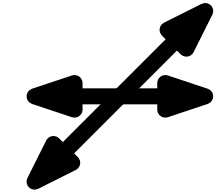
$$P(I_1(x), I_2(x)) = 0 \quad \text{et} \quad P(J_1(y), J_2(y)) = 0$$

⇒ Équations d'une variable catalytique sur  $I_1(x)$  et  $J_1(y)$

**Exemple : modèle de Gessel [BeBMRa 21]**

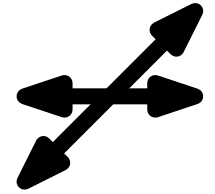


## Exemple : modèle de Gessel [BeBMRa 21]



$$xyK(x, y)Q(x, y) = xy - t(y + 1)Q(0, y) - tQ(x, 0) + tQ(0, 0)$$

## Exemple : modèle de Gessel [BeBMRa 21]

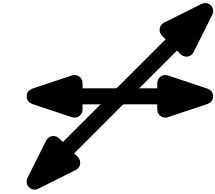


$$xyK(x,y)Q(x,y) = xy - t(y+1)Q(0,y) - tQ(x,0) + tQ(0,0)$$

**Découplage** :  $xy = -\frac{1}{x} + \frac{y}{t(y+1)} - \frac{K(x,y)}{ty(y+1)}$

$$(I_1(x), J_1(y)) := \left( \frac{1}{x} + tQ(x,0) - tQ(0,0), \frac{y}{t(y+1)} - t(y+1)Q(0,y) \right)$$

## Exemple : modèle de Gessel [BeBMRa 21]



$$xyK(x,y)Q(x,y) = xy - t(y+1)Q(0,y) - tQ(x,0) + tQ(0,0)$$

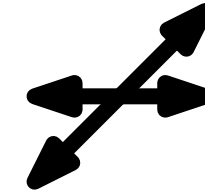
**Découplage :**  $xy = -\frac{1}{x} + \frac{y}{t(y+1)} - \frac{K(x,y)}{ty(y+1)}$

$$(I_1(x), J_1(y)) := \left(\frac{1}{x} + tQ(x,0) - tQ(0,0), \frac{y}{t(y+1)} - t(y+1)Q(0,y)\right)$$

### Invariants rationnels

$$(I_2(x), J_2(y)) := \left(-\frac{1}{x^2} + \frac{1}{tx} + 2 + \frac{x}{t} - x^2, \frac{(1+y)^2}{y} + \frac{y}{t^2(1+y)^2}\right)$$

## Exemple : modèle de Gessel [BeBMRa 21]



$$xyK(x,y)Q(x,y) = xy - t(y+1)Q(0,y) - tQ(x,0) + tQ(0,0)$$

**Découplage** :  $xy = -\frac{1}{x} + \frac{y}{t(y+1)} - \frac{K(x,y)}{ty(y+1)}$

$$(I_1(x), J_1(y)) := \left(\frac{1}{x} + tQ(x,0) - tQ(0,0), \frac{y}{t(y+1)} - t(y+1)Q(0,y)\right)$$

### Invariants rationnels

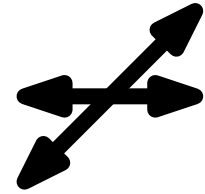
$$(I_2(x), J_2(y)) := \left(-\frac{1}{x^2} + \frac{1}{tx} + 2 + \frac{x}{t} - x^2, \frac{(1+y)^2}{y} + \frac{y}{t^2(1+y)^2}\right)$$

En éliminant les pôles entre  $(I_1(x), J_1(y))$  et  $(I_2(x), J_2(y))$ , puis en appliquant le lemme des invariants, on trouve  $P_x$  et  $P_y$  à coefficients rationnels tels que

$$P_x(Q(x,0), x, t, [x^0]Q(x,0), [x^1]Q(x,0)) = 0$$

$$P_y(Q(0,y), y, t, [y^0]Q(0,y), [y^1]Q(0,y)) = 0$$

## Exemple : modèle de Gessel [BeBMRa 21]



$$xyK(x,y)Q(x,y) = xy - t(y+1)Q(0,y) - tQ(x,0) + tQ(0,0)$$

**Découplage** :  $xy = -\frac{1}{x} + \frac{y}{t(y+1)} - \frac{K(x,y)}{ty(y+1)}$

$$(I_1(x), J_1(y)) := \left(\frac{1}{x} + tQ(x,0) - tQ(0,0), \frac{y}{t(y+1)} - t(y+1)Q(0,y)\right)$$

### Invariants rationnels

$$(I_2(x), J_2(y)) := \left(-\frac{1}{x^2} + \frac{1}{tx} + 2 + \frac{x}{t} - x^2, \frac{(1+y)^2}{y} + \frac{y}{t^2(1+y)^2}\right)$$

En éliminant les pôles entre  $(I_1(x), J_1(y))$  et  $(I_2(x), J_2(y))$ , puis en appliquant le lemme des invariants, on trouve  $P_x$  et  $P_y$  à coefficients rationnels tels que

$$P_x(Q(x,0), x, t, [x^0]Q(x,0), [x^1]Q(x,0)) = 0$$

$$P_y(Q(0,y), y, t, [y^0]Q(0,y), [y^1]Q(0,y)) = 0$$

Équations bien fondées + BMJ  $\Rightarrow Q(x,0)$  et  $Q(0,y)$  sont algébriques  $\Rightarrow$  Q(x,y) est algébrique

## **Groupe des petits pas [Bousquet-Mélou, Mishna 06]**

$$\mathcal{G} := \langle \Psi, \Phi \rangle$$

avec  $\Psi$  et  $\Phi$  involutions vérifiant

- $\Psi(u, v) = (u, v')$  et  $\Phi(u, v) = (u', v)$
- $S(\Psi(u, v)) = S(\Phi(u, v)) = S(u, v)$

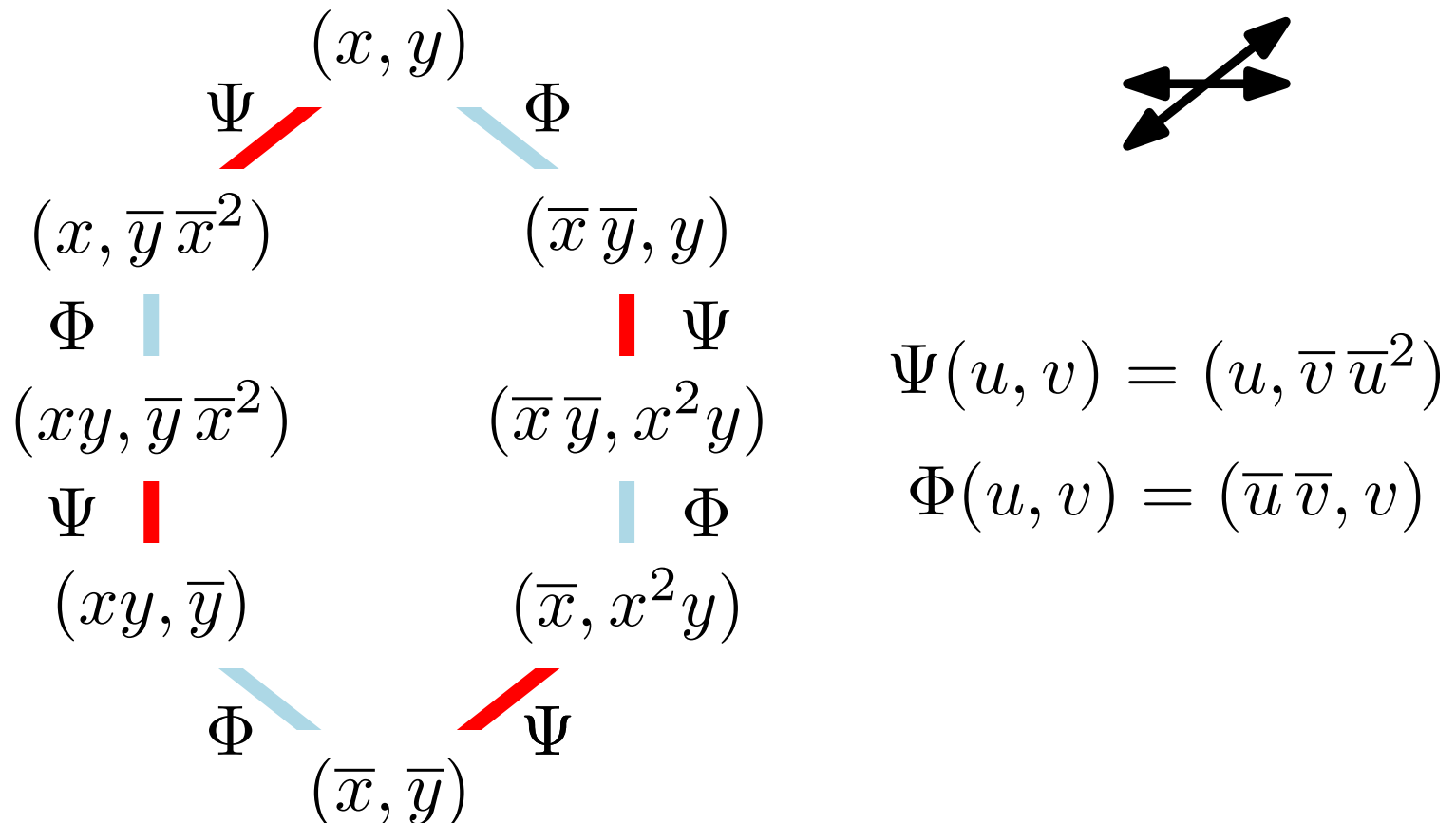
# Groupe des petits pas [Bousquet-Mélou, Mishna 06]

$$\mathcal{G} := \langle \Psi, \Phi \rangle$$

avec  $\Psi$  et  $\Phi$  involutions vérifiant

- $\Psi(u, v) = (u, v')$  et  $\Phi(u, v) = (u', v)$
- $S(\Psi(u, v)) = S(\Phi(u, v)) = S(u, v)$

## Exemple



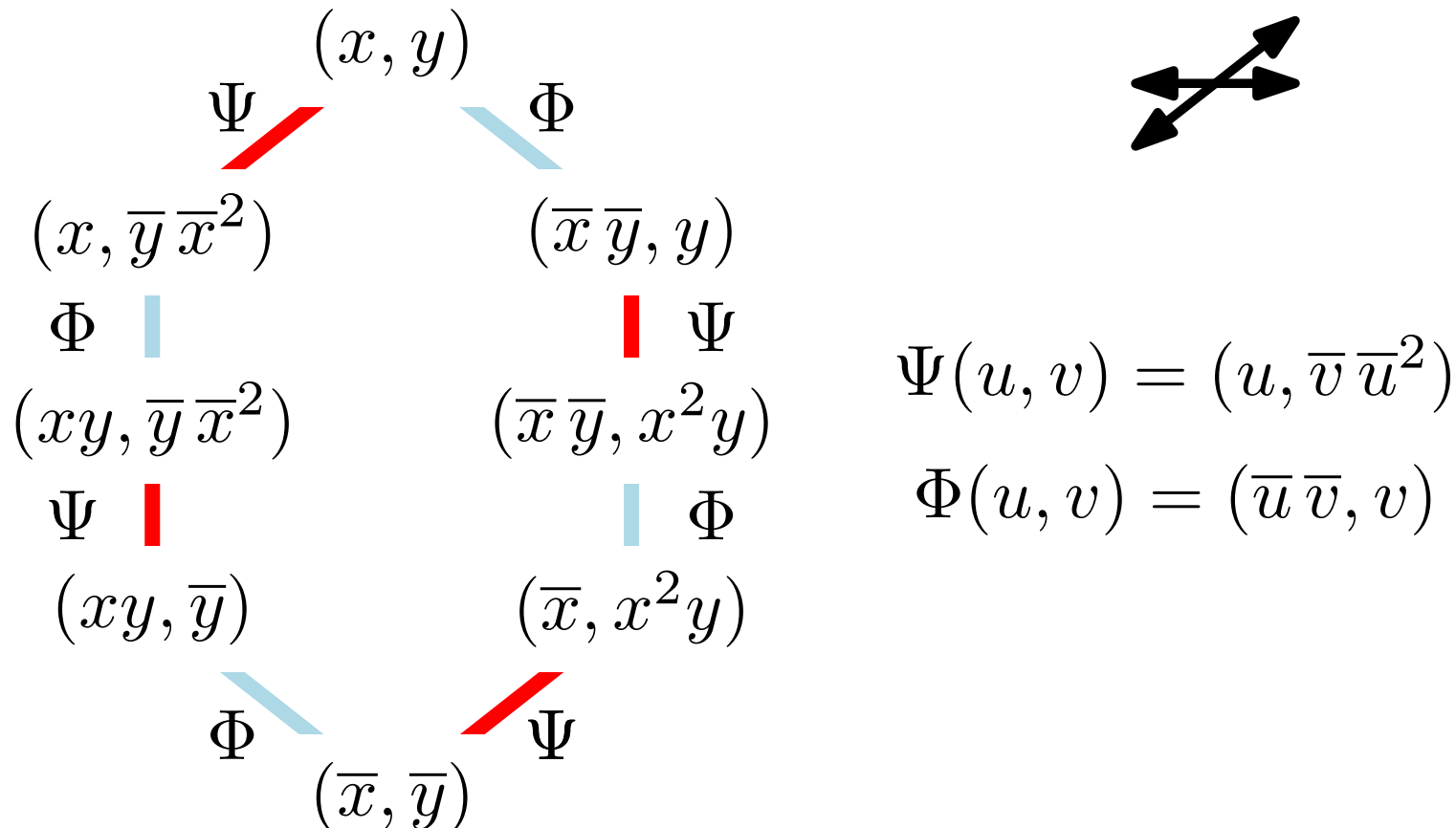
# Groupe des petits pas [Bousquet-Mélou, Mishna 06]

$$\mathcal{G} := \langle \Psi, \Phi \rangle$$

avec  $\Psi$  et  $\Phi$  involutions vérifiant

- $\Psi(u, v) = (u, v')$  et  $\Phi(u, v) = (u', v)$
- $S(\Psi(u, v)) = S(\Phi(u, v)) = S(u, v)$

## Exemple



## Découplage

Soit  $H(x, y) \in \mathbb{C}(x, y, t)$  une fraction,  
 $H(x, y)$  découple si et seulement si  
 $H(x, y) - H(\bar{x}\bar{y}, y) + H(\bar{x}\bar{y}, x^2 y) \cdots \equiv 0$

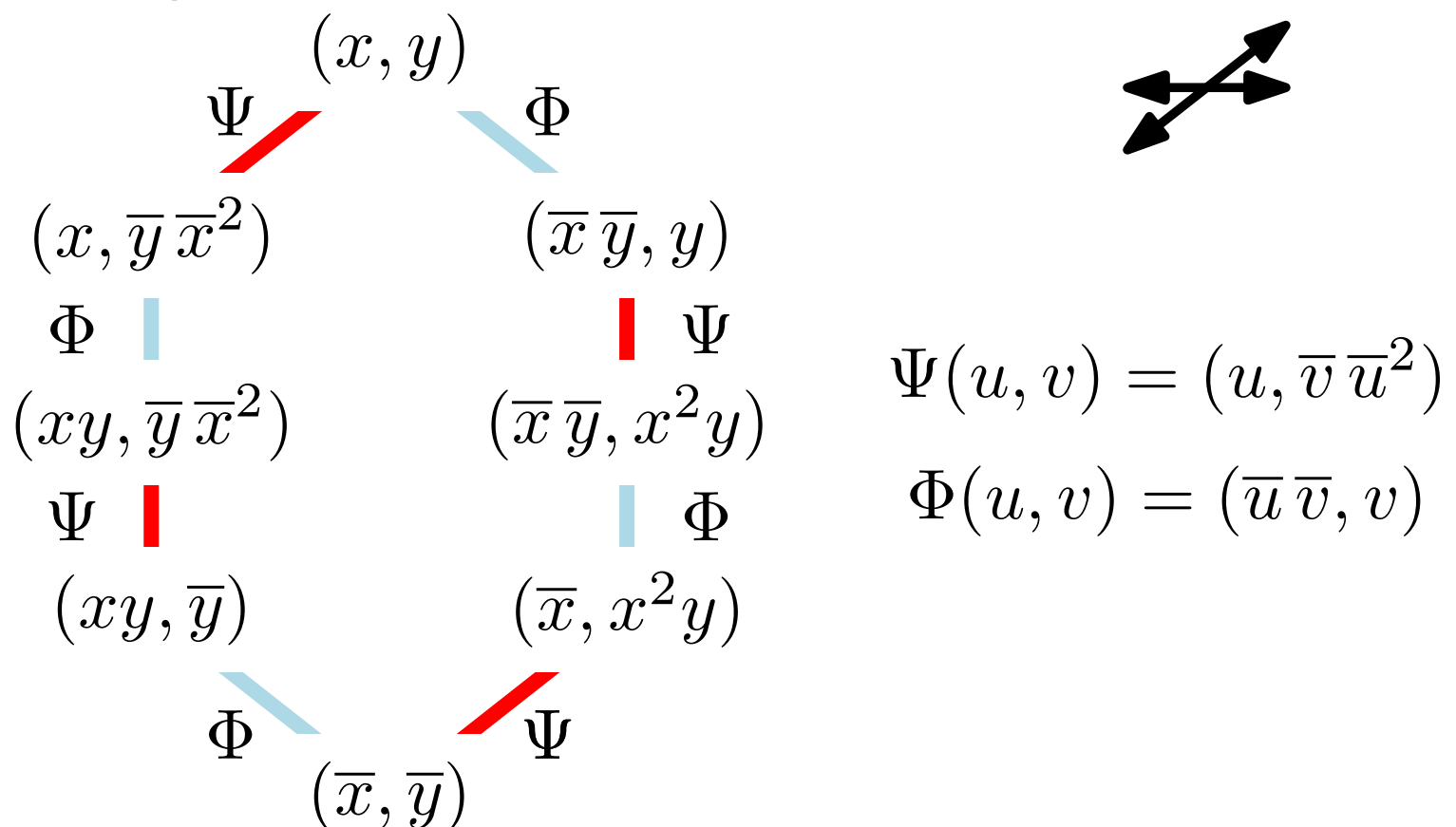
# Groupe des petits pas [Bousquet-Mélou, Mishna 06]

$$\mathcal{G} := \langle \Psi, \Phi \rangle$$

avec  $\Psi$  et  $\Phi$  involutions vérifiant

- $\Psi(u, v) = (u, v')$  et  $\Phi(u, v) = (u', v)$
- $S(\Psi(u, v)) = S(\Phi(u, v)) = S(u, v)$

## Exemple



$$\Psi(u, v) = (u, \bar{v} \bar{u}^2)$$

$$\Phi(u, v) = (\bar{u} \bar{v}, v)$$

## Découplage

Soit  $H(x, y) \in \mathbb{C}(x, y, t)$  une fraction,  $H(x, y)$  découple si et seulement si  $H(x, y) - H(\bar{x}\bar{y}, y) + H(\bar{x}\bar{y}, x^2 y) \cdots \equiv 0$

## Invariants rationnels

Soit  $R(x, y) := x^2 + \bar{x}\bar{y}^2 + \bar{x}^2 + x^2 y^2$

alors  $R(x, y) \equiv I_1(x)$  et  $R(x, y) \equiv J_2(y)$

paire d'invariants non-constants

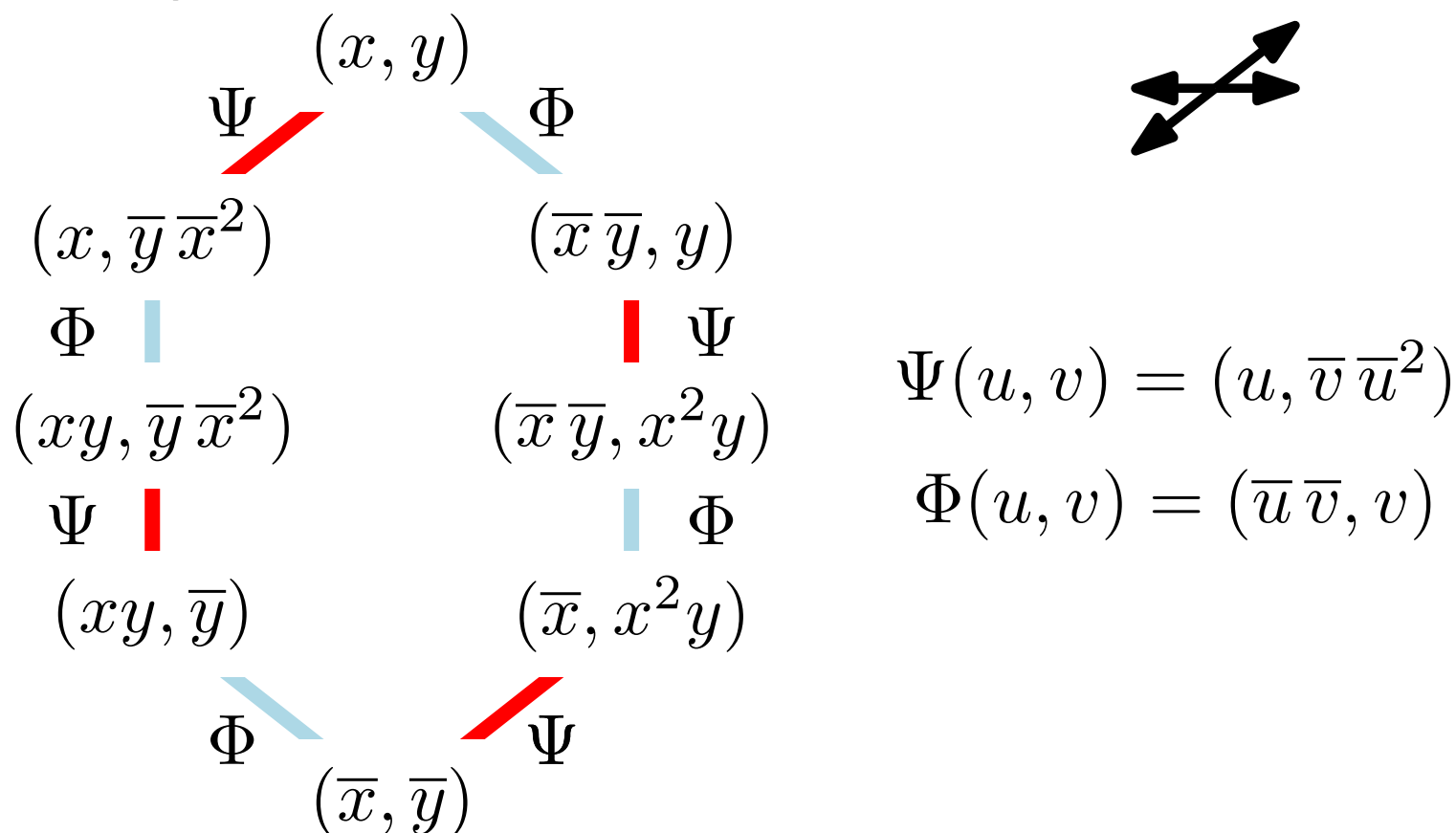
# Groupe des petits pas [Bousquet-Mélou, Mishna 06]

$$\mathcal{G} := \langle \Psi, \Phi \rangle$$

avec  $\Psi$  et  $\Phi$  involutions vérifiant

- $\Psi(u, v) = (u, v')$  et  $\Phi(u, v) = (u', v)$
- $S(\Psi(u, v)) = S(\Phi(u, v)) = S(u, v)$

## Exemple



$$\Psi(u, v) = (u, \bar{v} \bar{u}^2)$$

$$\Phi(u, v) = (\bar{u} \bar{v}, v)$$

## Découplage

Soit  $H(x, y) \in \mathbb{C}(x, y, t)$  une fraction,  $H(x, y)$  découple si et seulement si  $H(x, y) - H(\bar{x}\bar{y}, y) + H(\bar{x}\bar{y}, x^2 y) \cdots \equiv 0$

## Invariants rationnels

Soit  $R(x, y) := x^2 + \bar{x}\bar{y}^2 + \bar{x}^2 + x^2 y^2$

alors  $R(x, y) \equiv I_1(x)$  et  $R(x, y) \equiv J_2(y)$   
paire d'invariants non-constants

Preuves reposant sur ce groupe de transformations rationnelles, n'existant a priori que pour les petits pas.

# **Orbite des grands pas [Bostan, Bousquet-Mélou, Melczer 18]**

# Orbite des grands pas [Bostan, Bousquet-Mélou, Melczer 18]

$$\mathcal{G} := \langle \Psi, \Phi \rangle$$

avec  $\Psi$  et  $\Phi$  involutions vérifiant

- $\Psi(u, v) = (u, v')$  et  $\Phi(u, v) = (u', v)$
- $S(\Psi(u, v)) = S(\Phi(u, v)) = S(u, v)$

# Orbite des grands pas [Bostan, Bousquet-Mélou, Melczer 18]

$$\mathcal{G} := \langle \Psi, \Phi \rangle$$

avec  $\Psi$  et  $\Phi$  involutions vérifiant

- $\Psi(u, v) = (u, v')$  et  $\Phi(u, v) = (u', v)$
- $S(\Psi(u, v)) = S(\Phi(u, v)) = S(u, v)$

**Définition 1**  $(u, v) \sim (u', v')$

ssi

$$(u', v') = \Psi(u, v) \text{ ou } (u', v') = \Phi(u, v)$$

# Orbite des grands pas [Bostan, Bousquet-Mélou, Melczer 18]

$$\mathcal{G} := \langle \Psi, \Phi \rangle$$

avec  $\Psi$  et  $\Phi$  involutions vérifiant

- $\Psi(u, v) = (u, v')$  et  $\Phi(u, v) = (u', v)$
- $S(\Psi(u, v)) = S(\Phi(u, v)) = S(u, v)$

**Définition 1**  $(u, v) \sim (u', v')$

ssi

$$(u', v') = \Psi(u, v) \text{ ou } (u', v') = \Phi(u, v)$$

**Définition 2**  $(u, v) \sim (u', v')$

ssi

$$S(u, v) = S(u', v') \text{ et } u = u' \text{ ou } v = v'$$

# Orbite des grands pas [Bostan, Bousquet-Mélou, Melczer 18]

$$\mathcal{G} := \langle \Psi, \Phi \rangle$$

avec  $\Psi$  et  $\Phi$  involutions vérifiant

- $\Psi(u, v) = (u, v')$  et  $\Phi(u, v) = (u', v)$
- $S(\Psi(u, v)) = S(\Phi(u, v)) = S(u, v)$

**Définition 1**  $(u, v) \sim (u', v')$

ssi

$$(u', v') = \Psi(u, v) \text{ ou } (u', v') = \Phi(u, v)$$

**Définition 2**  $(u, v) \sim (u', v')$

ssi

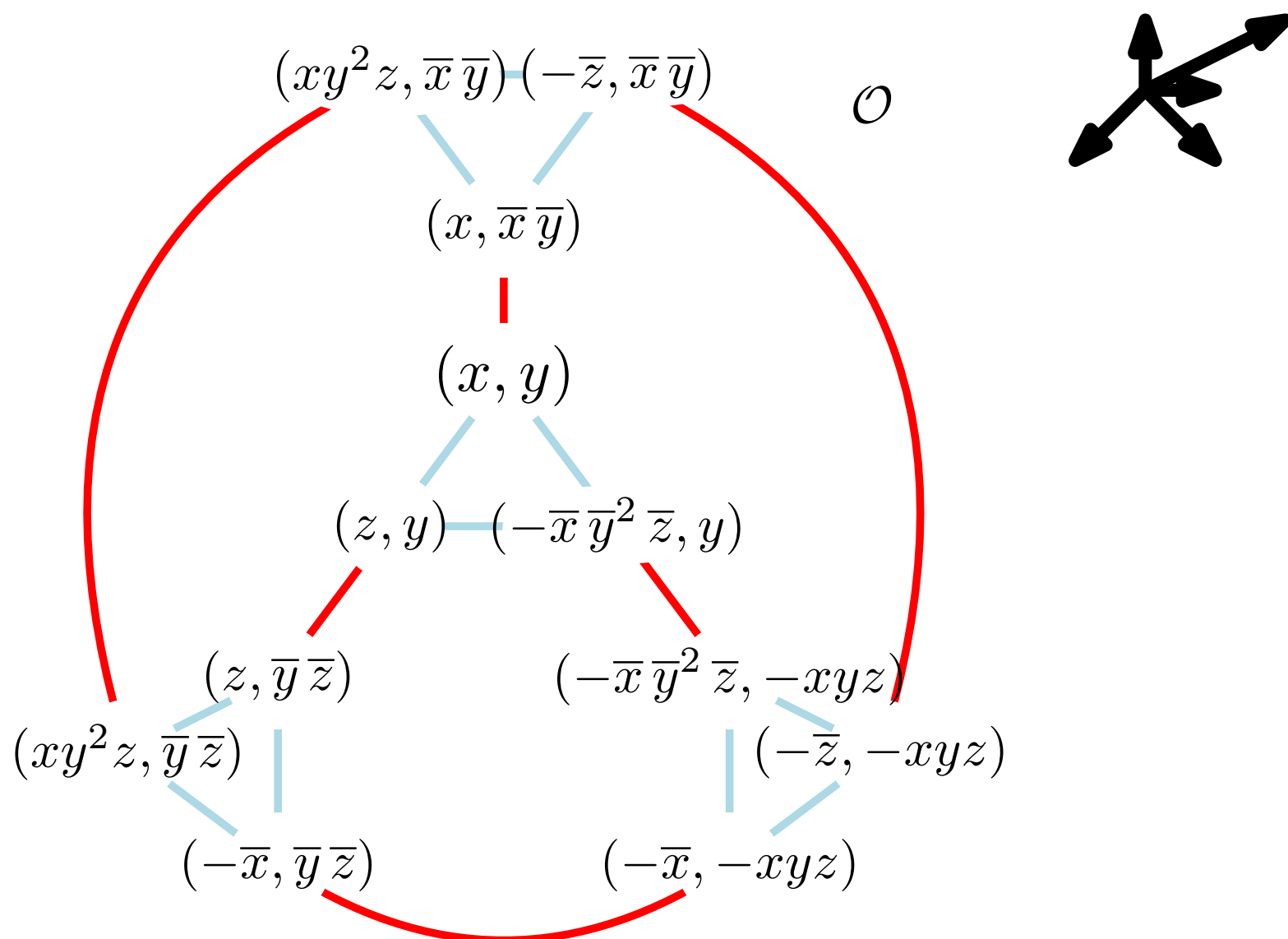
$$S(u, v) = S(u', v') \text{ et } u = u' \text{ ou } v = v'$$

- Requiert un groupe
- $\mathcal{O} = \text{Orbite de } (x, y) \text{ par } \mathcal{G}$

- Ne requiert pas de groupe
- $\mathcal{O} = \text{Classe de } (x, y) \text{ sous } \sim$

# Orbite des grands pas [Bostan, Bousquet-Mélou, Melczer 18]

Exemple :



**Définition 2**  $(u, v) \sim (u', v')$

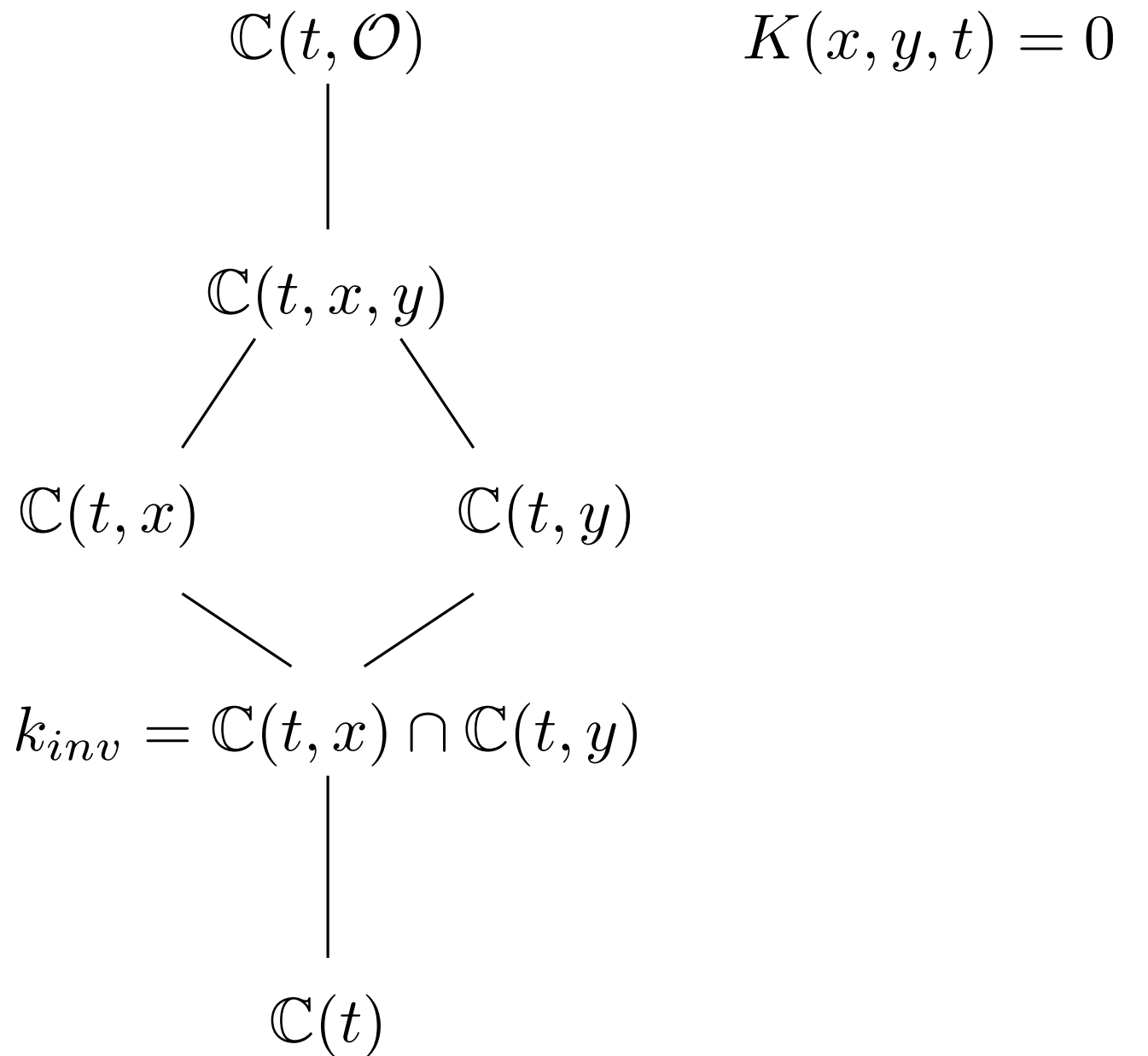
ssi

$$S(u, v) = S(u', v') \text{ et } u = u' \text{ ou } v = v'$$

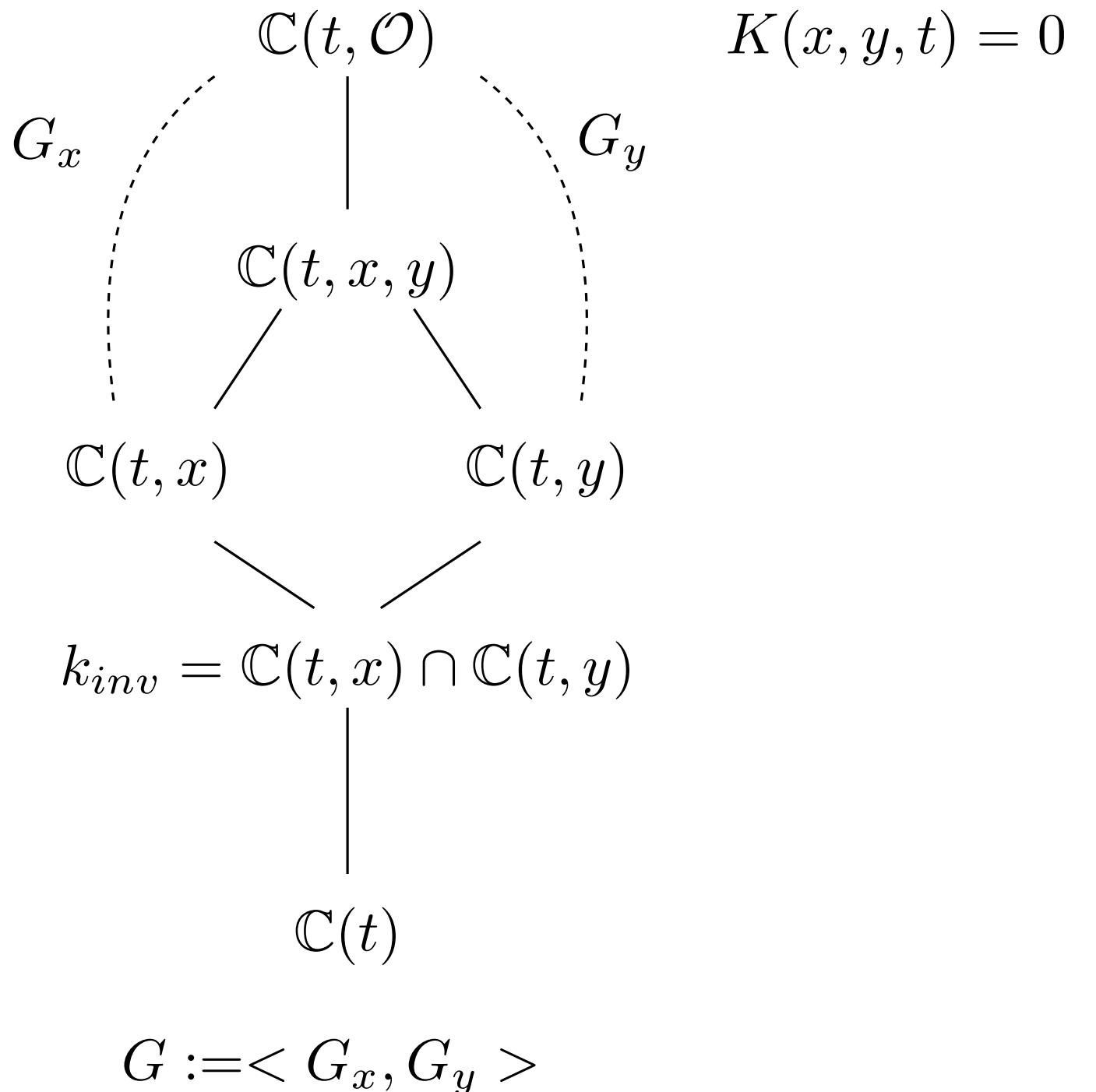
- Ne requiert pas de groupe
- $\mathcal{O} = \text{Classe de } (x, y) \text{ sous } \sim$

# **Structure galoisienne de l'orbite [B., Hardouin 24]**

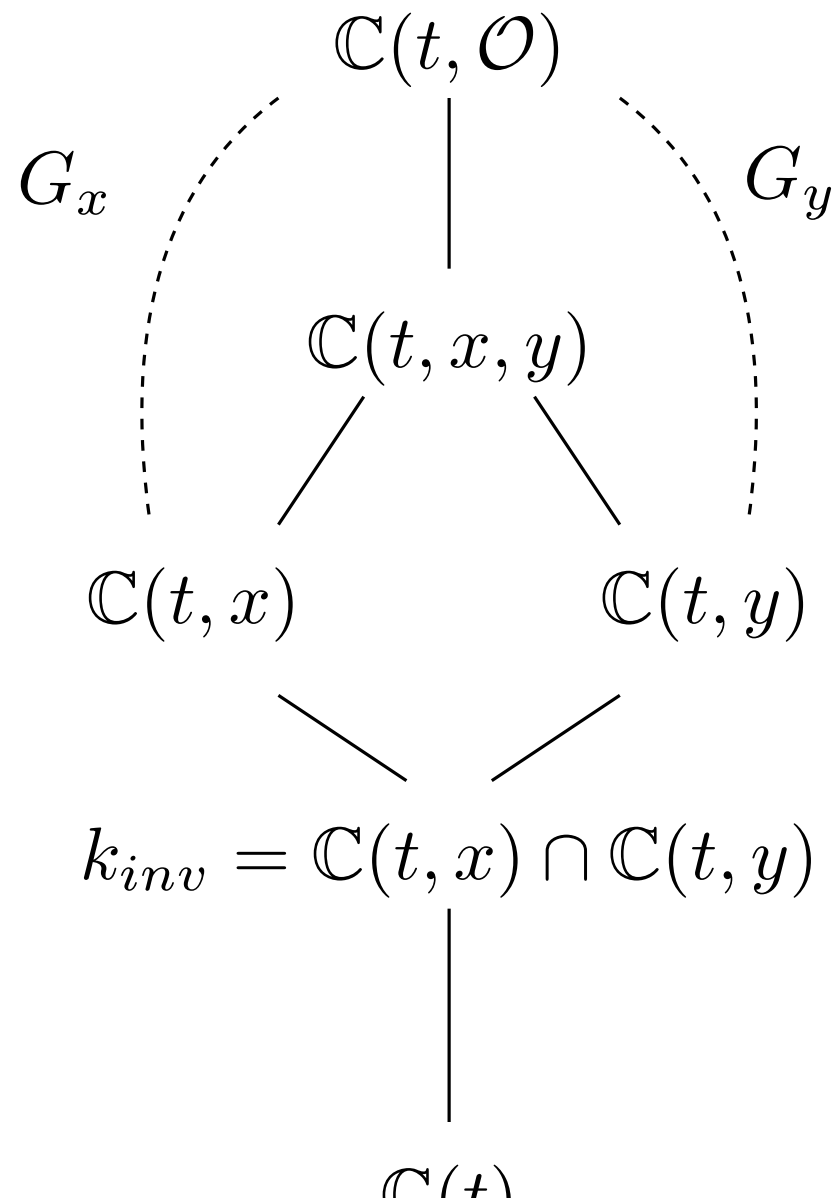
# Structure galoisienne de l'orbite [B., Hardouin 24]



# Structure galoisienne de l'orbite [B., Hardouin 24]



# Structure galoisienne de l'orbite [B., Hardouin 24]



$$K(x, y, t) = 0$$

**Théorème [B., Hardouin 24]** Le groupe  $G$  agit sur  $\mathcal{O}$  par automorphismes de graphes

$$\sigma \cdot (u, v) = (\sigma u, \sigma v)$$

Cette action est fidèle, transitive et finiment engendrée.

$$G := \langle G_x, G_y \rangle$$

# **Invariants rationnels**

## Invariants rationnels

**Théorème [Fried 78; B., Hardouin 24]** On a équivalence entre

- Orbite finie
- Groupe fini
- Existence d'invariants rationnels non constants

# Invariants rationnels

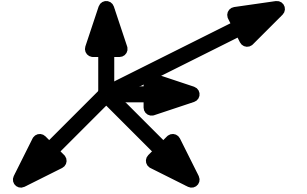
**Théorème [Fried 78; B., Hardouin 24]** On a équivalence entre

- Orbite finie
- Groupe fini
- Existence d'invariants rationnels non constants

**Théorème [B., Hardouin 24]**

- Le corps des invariants  $k_{inv}$  vaut  $\mathbb{C}(t, f(x))$  pour un certain invariant  $f(x)$ .
- Soit  $\mu_x(X) = \prod_{u:(u,v) \in \mathcal{O}} (X - u)$  le polynôme annulateur des coordonnées gauches.  
Alors tout coefficient non constant de  $\mu_x(X)$  engendre  $k_{inv}$ .

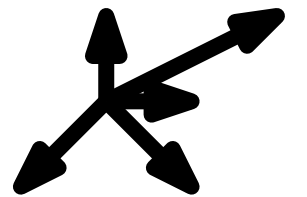
# Invariants rationnels : Exemple



$$K(x, y, t) = 0$$

$$\begin{aligned}\mu_x(Z) = & Z^6 - \frac{(x^3 + x^6 + x^4 - x^2 - 1) t^2 + x^2 (x^2 - 1) t - x^3}{t^2 x (x^2 + 1)^2} Z^5 + \frac{t + 1}{t} Z^4 \\ & - 2 \frac{x^6 t^2 + \left(-\frac{t^2}{2} + \frac{1}{2}\right) x^5 + t (t + 1) x^4 + (-t^2 - t) x^2 - \frac{(t^2 - 1)x}{2} - t^2}{t^2 x (x^2 + 1)^2} Z^3 - \frac{t + 1}{t} Z^2 \\ & - \frac{\left((x^3 + x^6 + x^4 - x^2 - 1) t^2 + x^2 (x^2 - 1) t - x^3\right)}{t^2 x (x^2 + 1)^2} Z - 1\end{aligned}$$

# Invariants rationnels : Exemple

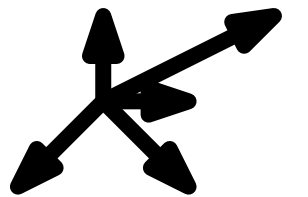


$$K(x, y, t) = 0$$

$$\begin{aligned} \mu_x(Z) &= Z^6 - \frac{(x^3 + x^6 + x^4 - x^2 - 1) t^2 + x^2 (x^2 - 1) t - x^3}{t^2 x (x^2 + 1)^2} Z^5 + \frac{t + 1}{t} Z^4 \\ &\quad - 2 \frac{x^6 t^2 + \left(-\frac{t^2}{2} + \frac{1}{2}\right) x^5 + t (t + 1) x^4 + (-t^2 - t) x^2 - \frac{(t^2 - 1)x}{2} - t^2}{t^2 x (x^2 + 1)^2} Z^3 - \frac{t + 1}{t} Z^2 \\ &\quad - \frac{\left((x^3 + x^6 + x^4 - x^2 - 1) t^2 + x^2 (x^2 - 1) t - x^3\right)}{t^2 x (x^2 + 1)^2} Z - 1 \end{aligned}$$

$$\begin{aligned} &= Z^6 - \frac{t y^4 - t y - y^3 - t}{t y^2} Z^5 + \frac{t + 1}{t} Z^4 - 2 \frac{\left(y^4 - \frac{1}{2} y^2 - y - 1\right) t^2 - t y^3 + \frac{y^2}{2}}{t^2 y^2} Z^3 \\ &\quad - \frac{(t + 1)}{t} Z^2 + \frac{(-t y^4 + t y + y^3 + t)}{t y^2} Z - 1. \end{aligned}$$

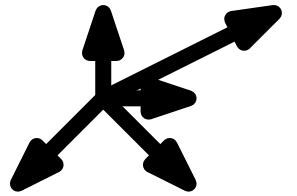
# Invariants rationnels : Exemple



$$K(x, y, t) = 0$$

$$\begin{aligned}
 \mu_x(Z) &= Z^6 - \frac{(x^3 + x^6 + x^4 - x^2 - 1) t^2 + x^2 (x^2 - 1) t - x^3}{t^2 x (x^2 + 1)^2} Z^5 + \frac{t + 1}{t} Z^4 \\
 &\quad - 2 \frac{x^6 t^2 + \left(-\frac{t^2}{2} + \frac{1}{2}\right) x^5 + t (t + 1) x^4 + (-t^2 - t) x^2 - \frac{(t^2 - 1)x}{2} - t^2}{t^2 x (x^2 + 1)^2} Z^3 - \frac{t + 1}{t} Z^2 \\
 &\quad - \frac{\left((x^3 + x^6 + x^4 - x^2 - 1) t^2 + x^2 (x^2 - 1) t - x^3\right)}{t^2 x (x^2 + 1)^2} Z - 1 \\
 \\ 
 &= Z^6 - \frac{t y^4 - t y - y^3 - t}{t y^2} Z^5 + \frac{t + 1}{t} Z^4 - 2 \frac{\left(y^4 - \frac{1}{2} y^2 - y - 1\right) t^2 - t y^3 + \frac{y^2}{2}}{t^2 y^2} Z^3 \\
 &\quad - \frac{(t + 1)}{t} Z^2 + \frac{(-t y^4 + t y + y^3 + t)}{t y^2} Z - 1.
 \end{aligned}$$

# Invariants rationnels : Exemple



$$K(x, y, t) = 0$$

$$\begin{aligned} \mu_x(Z) &= Z^6 - \frac{(x^3 + x^6 + x^4 - x^2 - 1) t^2 + x^2 (x^2 - 1) t - x^3}{t^2 x (x^2 + 1)^2} Z^5 + \frac{t + 1}{t} Z^4 \\ &\quad - 2 \frac{x^6 t^2 + \left(-\frac{t^2}{2} + \frac{1}{2}\right) x^5 + t (t + 1) x^4 + (-t^2 - t) x^2 - \frac{(t^2 - 1)x}{2} - t^2}{t^2 x (x^2 + 1)^2} Z^3 - \frac{t + 1}{t} Z^2 \\ &\quad - \frac{\left((x^3 + x^6 + x^4 - x^2 - 1) t^2 + x^2 (x^2 - 1) t - x^3\right)}{t^2 x (x^2 + 1)^2} Z - 1 \end{aligned}$$

$$\begin{aligned} &= Z^6 - \frac{t y^4 - t y - y^3 - t}{t y^2} Z^5 + \frac{t + 1}{t} Z^4 - 2 \frac{\left(y^4 - \frac{1}{2} y^2 - y - 1\right) t^2 - t y^3 + \frac{y^2}{2}}{t^2 y^2} Z^3 \\ &\quad - \frac{(t + 1)}{t} Z^2 + \frac{(-t y^4 + t y + y^3 + t)}{t y^2} Z - 1. \end{aligned}$$

# Découplage : Évaluation des 0-chaînes

# Découplage : Évaluation des 0-chaînes

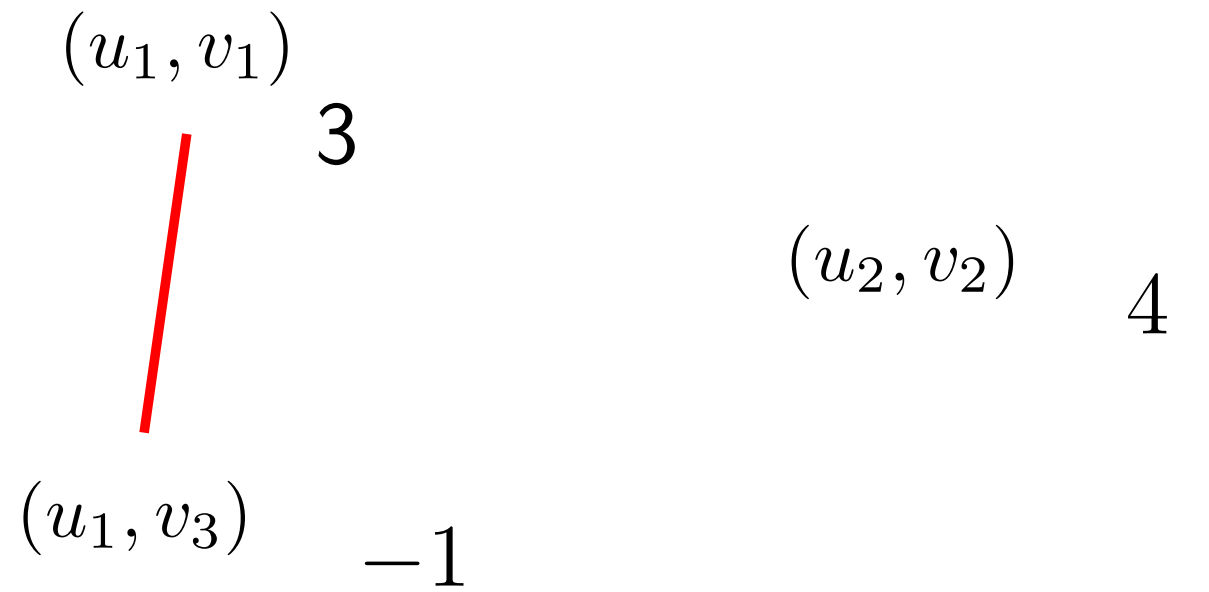
$(u_1, v_1)$



$(u_2, v_2)$

$(u_1, v_3)$

# Découplage : Évaluation des 0-chaînes



# Découplage : Évaluation des 0-chaînes

$$\begin{array}{ccc} (u_1, v_1) & & \\ \text{---} | & 3 & \\ & (u_2, v_2) & 4 \\ (u_1, v_3) & -1 & \end{array} \longrightarrow c = 3 \cdot (u_1, v_1) + 4 \cdot (u_2, v_2) - (u_1, v_3)$$

## Découplage : Évaluation des 0-chaînes

$$\begin{array}{ccc} (u_1, v_1) & & \\ \text{---} | & 3 & \\ & (u_2, v_2) & \\ & \text{---} | & 4 \\ (u_1, v_3) & -1 & \end{array} \longrightarrow c = 3 \cdot (u_1, v_1) + 4 \cdot (u_2, v_2) - (u_1, v_3)$$

Pour  $H(x, y)$  une fraction, on définit  $H_c \in \mathbb{C}(t, \mathcal{O})$  par linéarité

$$H_c(x, y) = 3 \cdot H(u_1, v_1) + 4 \cdot H(u_2, v_2) - H(u_1, v_3)$$

# Caractérisation du découplage

## Théorème [B., Hardouin 24]

On peut écrire  $(x, y) = \gamma_x + \gamma_y + \alpha$ , de sorte que pour  $H(x, y) \in \mathbb{C}(t, x, y)$

# Caractérisation du découplage

## Théorème [B., Hardouin 24]

On peut écrire  $(x, y) = \gamma_x + \gamma_y + \alpha$ , de sorte que pour  $H(x, y) \in \mathbb{C}(t, x, y)$

- $H$  découple ssi  $H_\alpha \equiv 0$ .

# Caractérisation du découplage

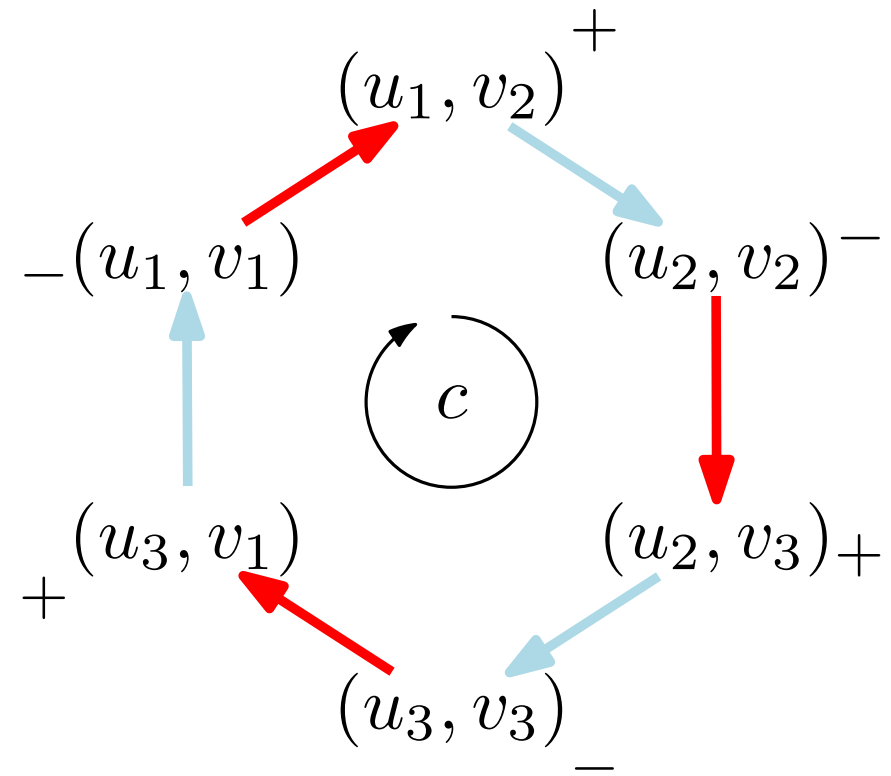
## Théorème [B., Hardouin 24]

On peut écrire  $(x, y) = \gamma_x + \gamma_y + \alpha$ , de sorte que pour  $H(x, y) \in \mathbb{C}(t, x, y)$

- $H$  découple ssi  $H_\alpha \equiv 0$ .
- Si  $H$  découple, alors  $H(x, y) \equiv H_{\gamma_x} + H_{\gamma_y}$ .

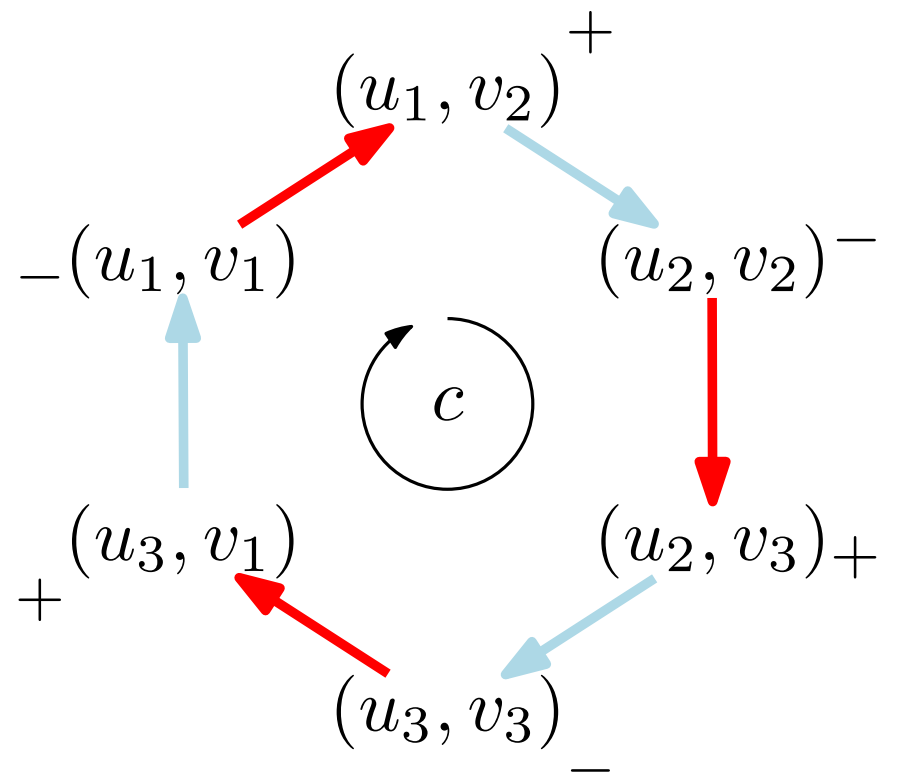
avec  $H_{\gamma_x} = F(x) \in \mathbb{C}(x, t)$  et  $H_{\gamma_y} = G(y) \in \mathbb{C}(y, t)$

## Construction de $\alpha$ : cycles bicolores



$$c = (u_1, v_2) - (u_1, v_1) + (u_2, v_3) - (u_2, v_2) + (u_3, v_1) - (u_3, v_2)$$

## Construction de $\alpha$ : cycles bicolores



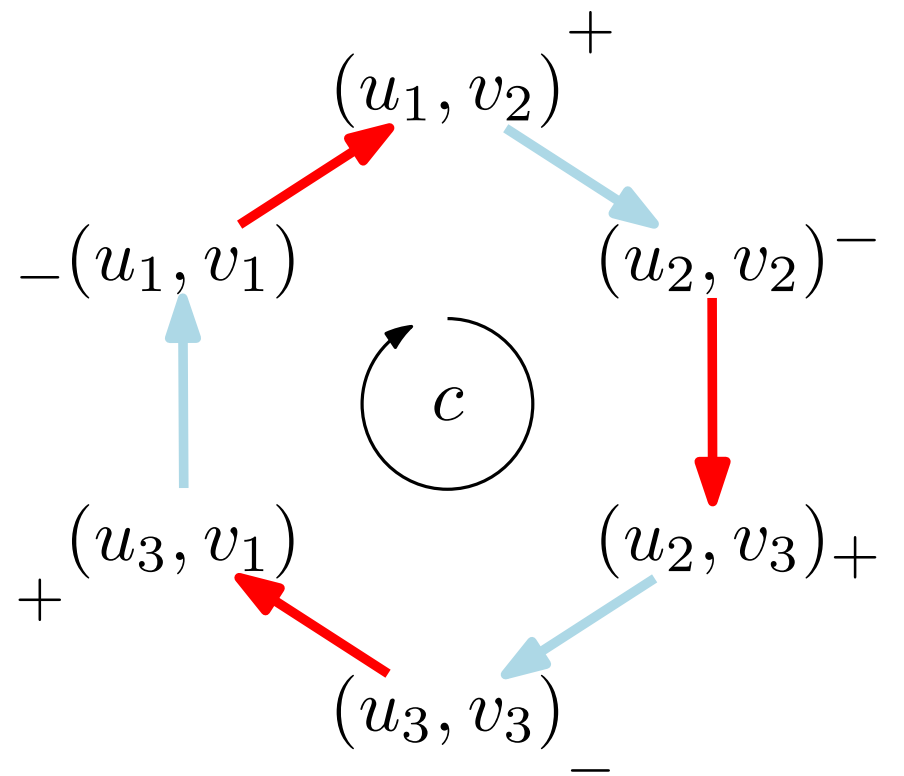
$$c = (u_1, v_2) - (u_1, v_1) + (u_2, v_3) - (u_2, v_2) + (u_3, v_1) - (u_3, v_2)$$

Supposons que  $H(x, y) \equiv F(x) + G(y)$

$$F(x)_c = (F(u_1) - F(u_1)) + (F(u_2) - F(u_2)) + (F(u_3) - F(u_3)) = 0$$

$$G(y)_c = (G(v_2) - G(v_2)) + (G(v_3) - G(v_3)) + (G(v_1) - G(v_1)) = 0$$

## Construction de $\alpha$ : cycles bicolores



$$c = (u_1, v_2) - (u_1, v_1) + (u_2, v_3) - (u_2, v_2) + (u_3, v_1) - (u_3, v_2)$$

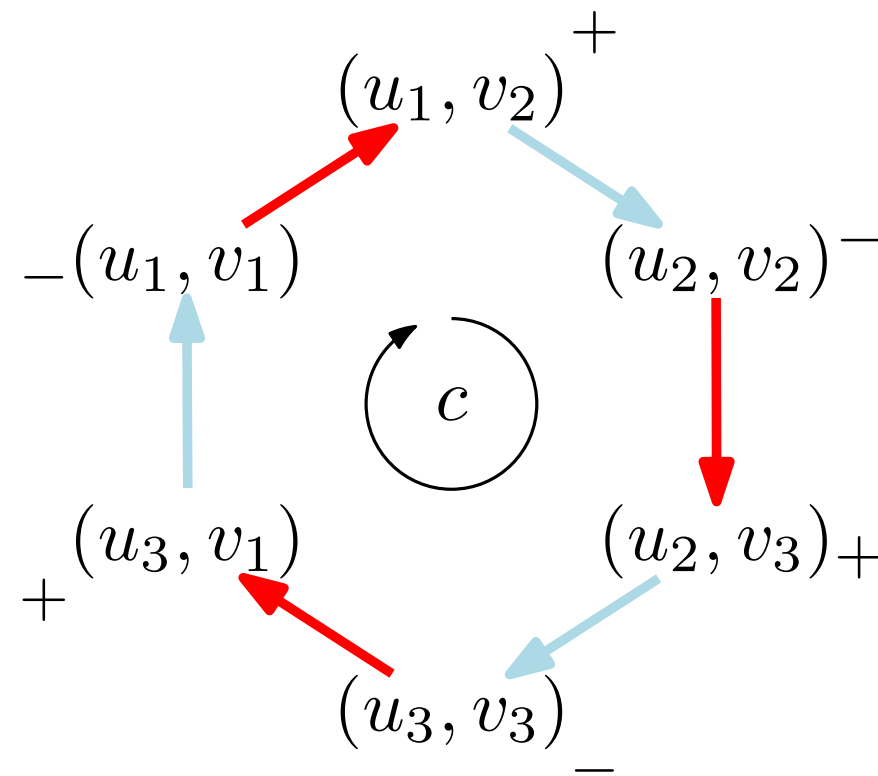
Supposons que  $H(x, y) \equiv F(x) + G(y)$

$$F(x)_c = (F(u_1) - F(u_1)) + (F(u_2) - F(u_2)) + (F(u_3) - F(u_3)) = 0$$

$$G(y)_c = (G(v_2) - G(v_2)) + (G(v_3) - G(v_3)) + (G(v_1) - G(v_1)) = 0$$

$\Rightarrow$  si  $H(x, y)$  découple, alors  $H_c \equiv 0$  pour tous tels  $c$ .

## Construction de $\alpha$ : cycles bicolores



$$c = (u_1, v_2) - (u_1, v_1) + (u_2, v_3) - (u_2, v_2) + (u_3, v_1) - (u_3, v_2)$$

Supposons que  $H(x, y) \equiv F(x) + G(y)$

$$F(x)_c = (F(u_1) - F(u_1)) + (F(u_2) - F(u_2)) + (F(u_3) - F(u_3)) = 0$$

$$G(y)_c = (G(v_2) - G(v_2)) + (G(v_3) - G(v_3)) + (G(v_1) - G(v_1)) = 0$$

$\Rightarrow$  si  $H(x, y)$  découple, alors  $H_c \equiv 0$  pour tous tels  $c$ .

$\alpha$  est une combinaison linéaire de tels  $c$

## Construction de $\gamma_x$ et $\gamma_y$ : traces

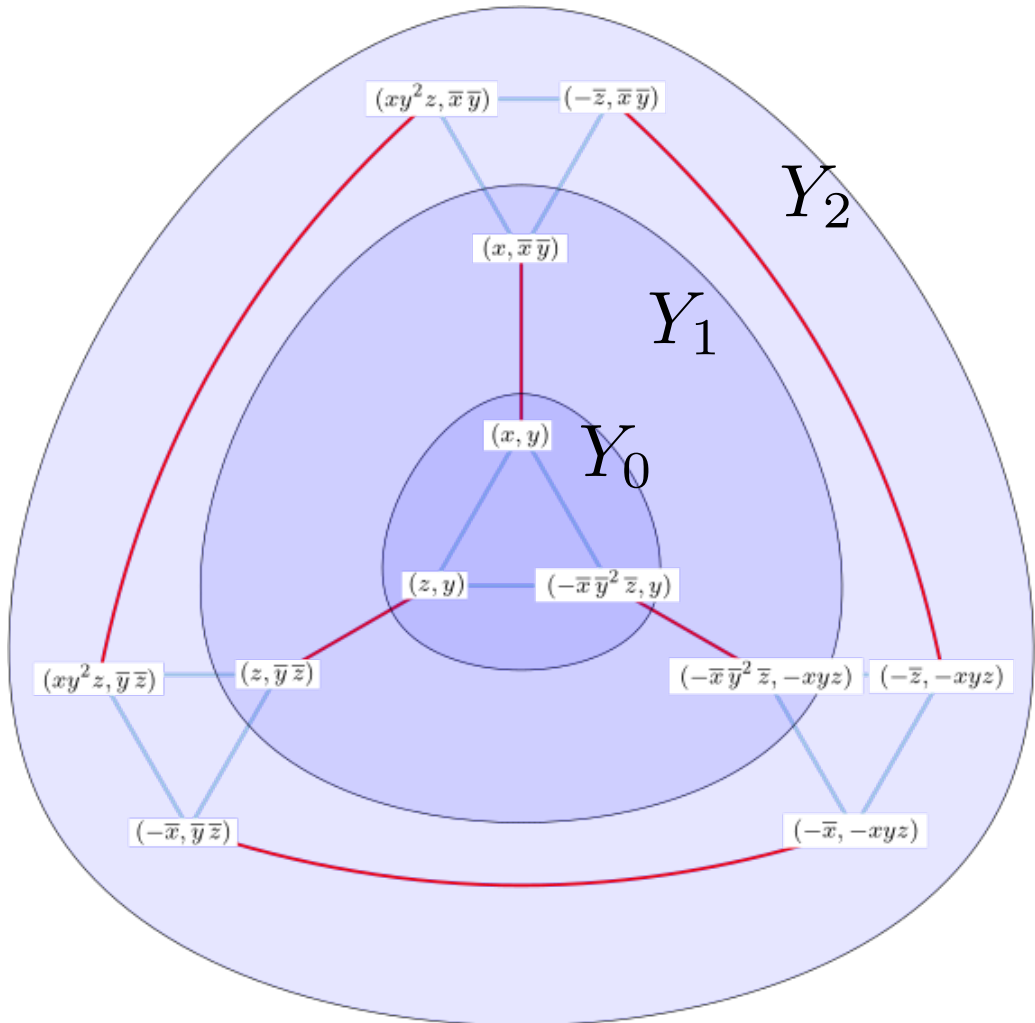
**Proposition** Soient  $\sigma \in G$ ,  $c$  une 0-chaîne et  $H(x, y) \in \mathbb{C}(t, x, y)$ . Alors

$$\sigma \cdot H_c = H_{\sigma \cdot c}$$

# Construction de $\gamma_x$ et $\gamma_y$ : traces

**Proposition** Soient  $\sigma \in G$ ,  $c$  une 0-chaîne et  $H(x, y) \in \mathbb{C}(t, x, y)$ . Alors

$$\sigma \cdot H_c = H_{\sigma \cdot c}$$

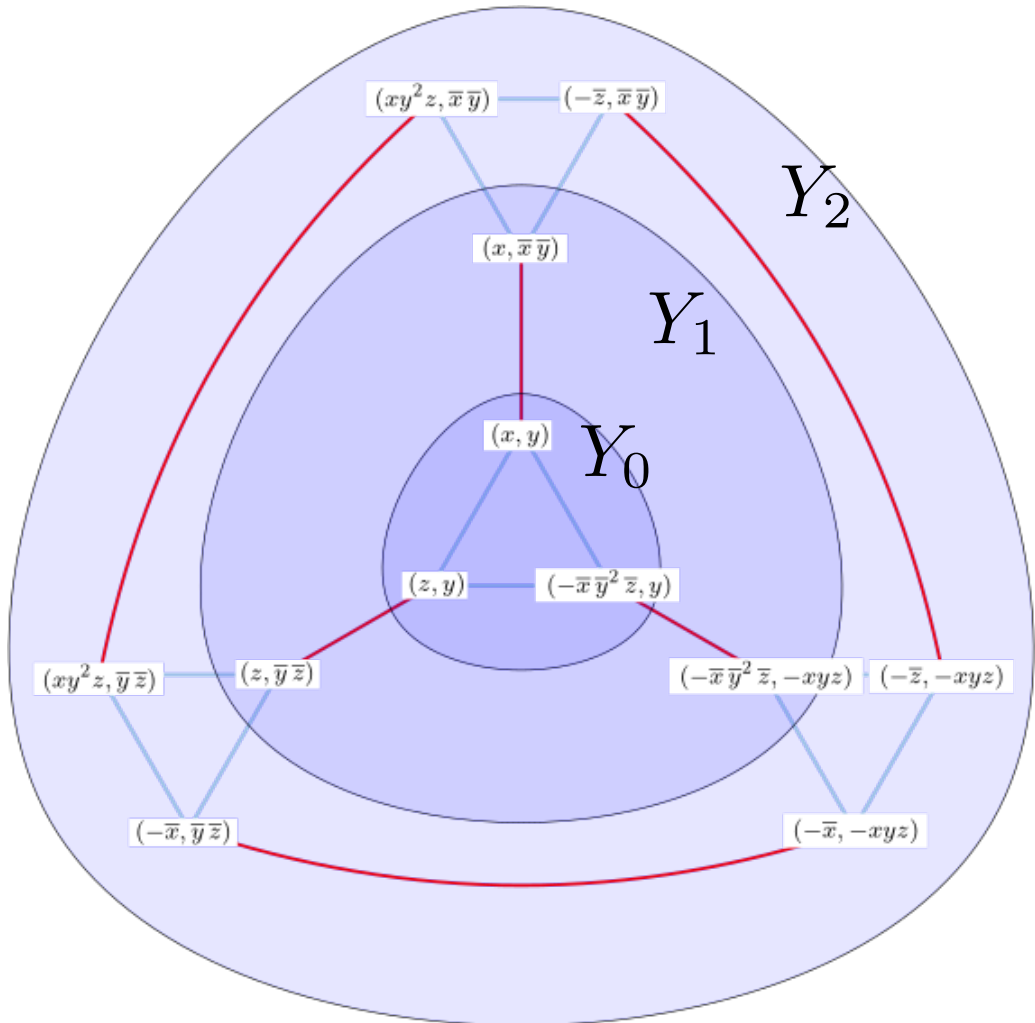


$$Y_0 := \sum_{\sigma \in G_y} \sigma \cdot (x, y) \quad Y_1 := \sum_{\sigma \in G_y} \sigma \cdot (x, y_1) \\ Y_2 = \sum_{\sigma \in G} \sigma \cdot (x_4, y_1)$$

# Construction de $\gamma_x$ et $\gamma_y$ : traces

**Proposition** Soient  $\sigma \in G$ ,  $c$  une 0-chaîne et  $H(x, y) \in \mathbb{C}(t, x, y)$ . Alors

$$\sigma \cdot H_c = H_{\sigma \cdot c}$$



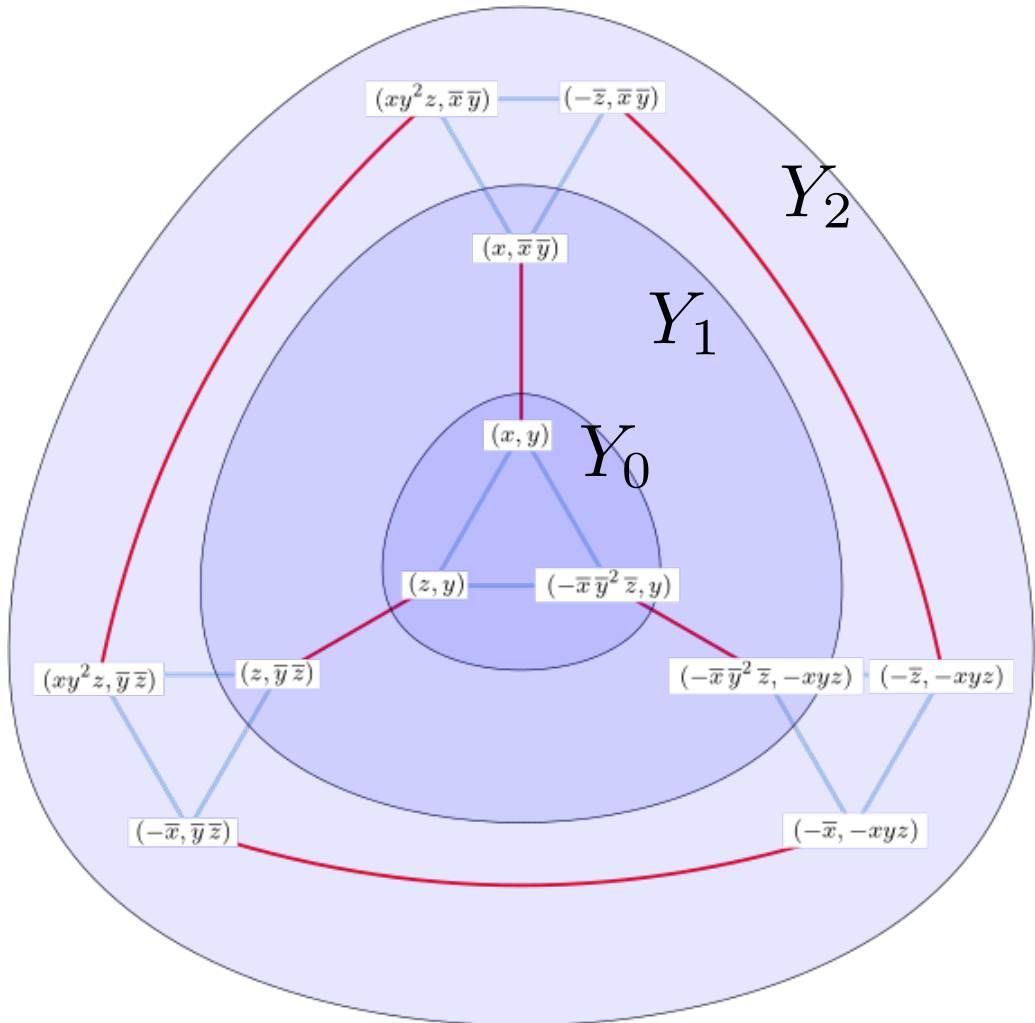
$$Y_0 := \sum_{\sigma \in G_y} \sigma \cdot (x, y) \quad Y_1 := \sum_{\sigma \in G_y} \sigma \cdot (x, y_1) \\ Y_2 = \sum_{\sigma \in G} \sigma \cdot (x_4, y_1)$$

Si  $\sigma \in G_y$ , on a  $\sigma \cdot Y_i = Y_i$

# Construction de $\gamma_x$ et $\gamma_y$ : traces

**Proposition** Soient  $\sigma \in G$ ,  $c$  une 0-chaîne et  $H(x, y) \in \mathbb{C}(t, x, y)$ . Alors

$$\sigma \cdot H_c = H_{\sigma \cdot c}$$



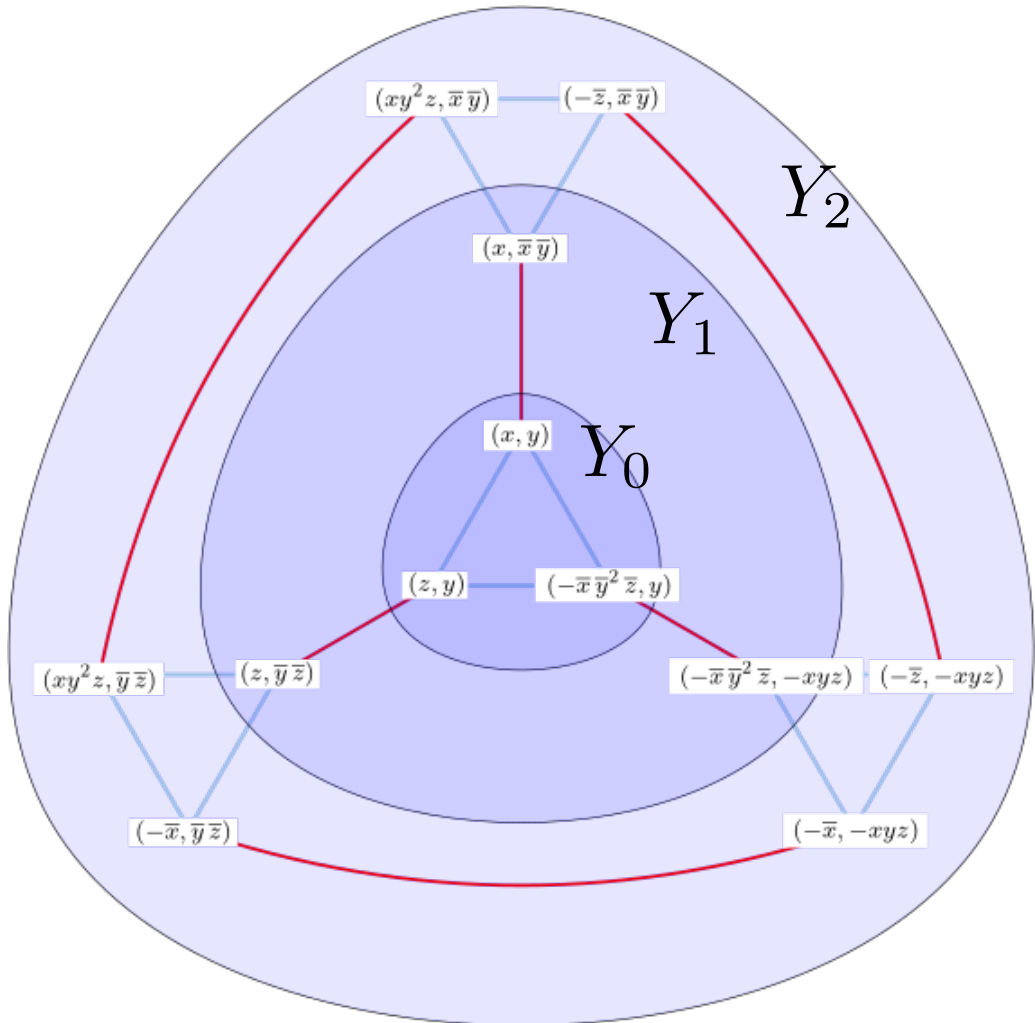
$$Y_0 := \sum_{\sigma \in G_y} \sigma \cdot (x, y) \quad Y_1 := \sum_{\sigma \in G_y} \sigma \cdot (x, y_1) \\ Y_2 = \sum_{\sigma \in G} \sigma \cdot (x_4, y_1)$$

Si  $\sigma \in G_y$ , on a  $\sigma \cdot Y_i = Y_i$   
 $\Rightarrow$  Si  $H(x, y) \in \mathbb{C}(x, y, t)$ , et  $\sigma \in G_y$ , on a  
 $\sigma \cdot H_{Y_i} = H_{\sigma \cdot Y_i} = H_{Y_i} \in \mathbb{C}(t, \mathcal{O})$

# Construction de $\gamma_x$ et $\gamma_y$ : traces

**Proposition** Soient  $\sigma \in G$ ,  $c$  une 0-chaîne et  $H(x, y) \in \mathbb{C}(t, x, y)$ . Alors

$$\sigma \cdot H_c = H_{\sigma \cdot c}$$



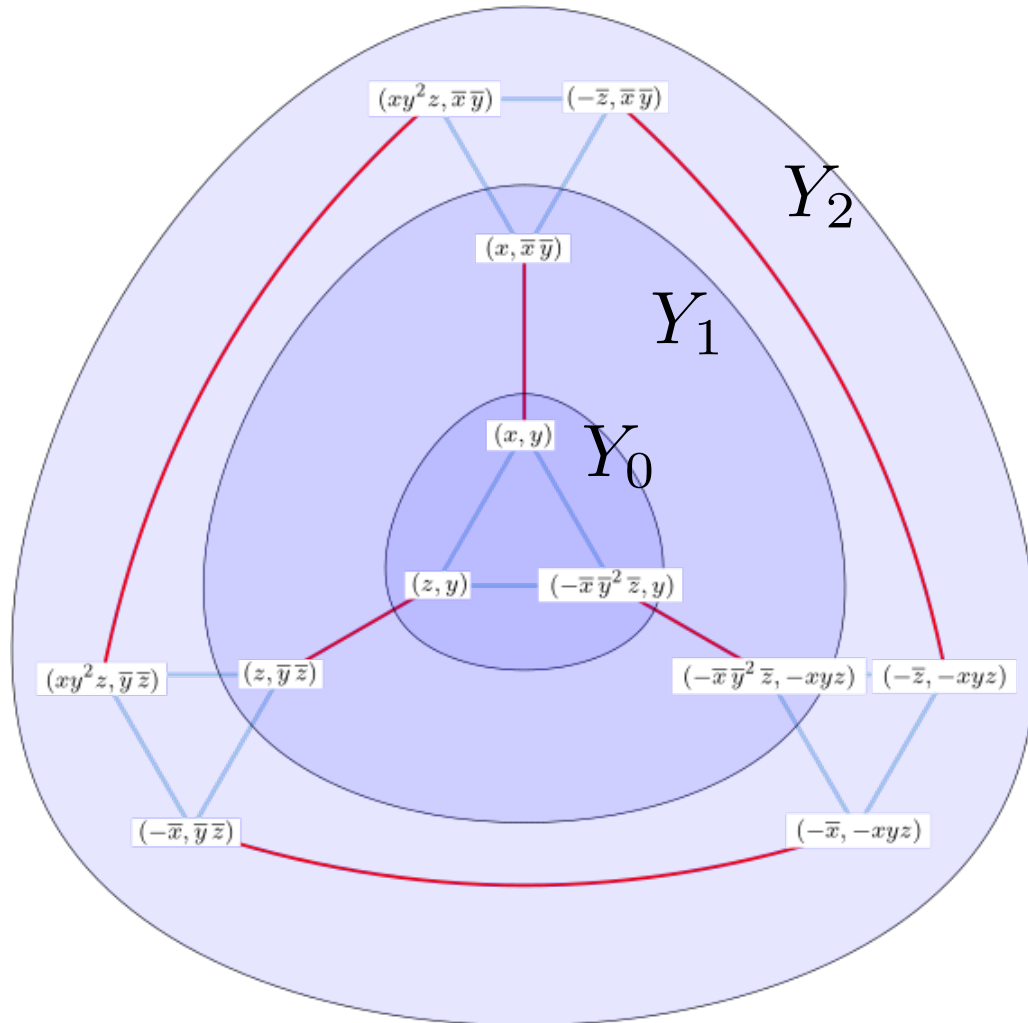
$$Y_0 := \sum_{\sigma \in G_y} \sigma \cdot (x, y) \quad Y_1 := \sum_{\sigma \in G_y} \sigma \cdot (x, y_1) \\ Y_2 = \sum_{\sigma \in G} \sigma \cdot (x_4, y_1)$$

Si  $\sigma \in G_y$ , on a  $\sigma \cdot Y_i = Y_i$   
 $\Rightarrow$  Si  $H(x, y) \in \mathbb{C}(x, y, t)$ , et  $\sigma \in G_y$ , on a  
 $\sigma \cdot H_{Y_i} = H_{\sigma \cdot Y_i} = H_{Y_i} \in \mathbb{C}(t, \mathcal{O})$   
 $\Rightarrow H_{Y_0}, H_{Y_1}, H_{Y_2} \in \mathbb{C}(t, y)$  par Galois

# Construction de $\gamma_x$ et $\gamma_y$ : traces

**Proposition** Soient  $\sigma \in G$ ,  $c$  une 0-chaîne et  $H(x, y) \in \mathbb{C}(t, x, y)$ . Alors

$$\sigma \cdot H_c = H_{\sigma \cdot c}$$

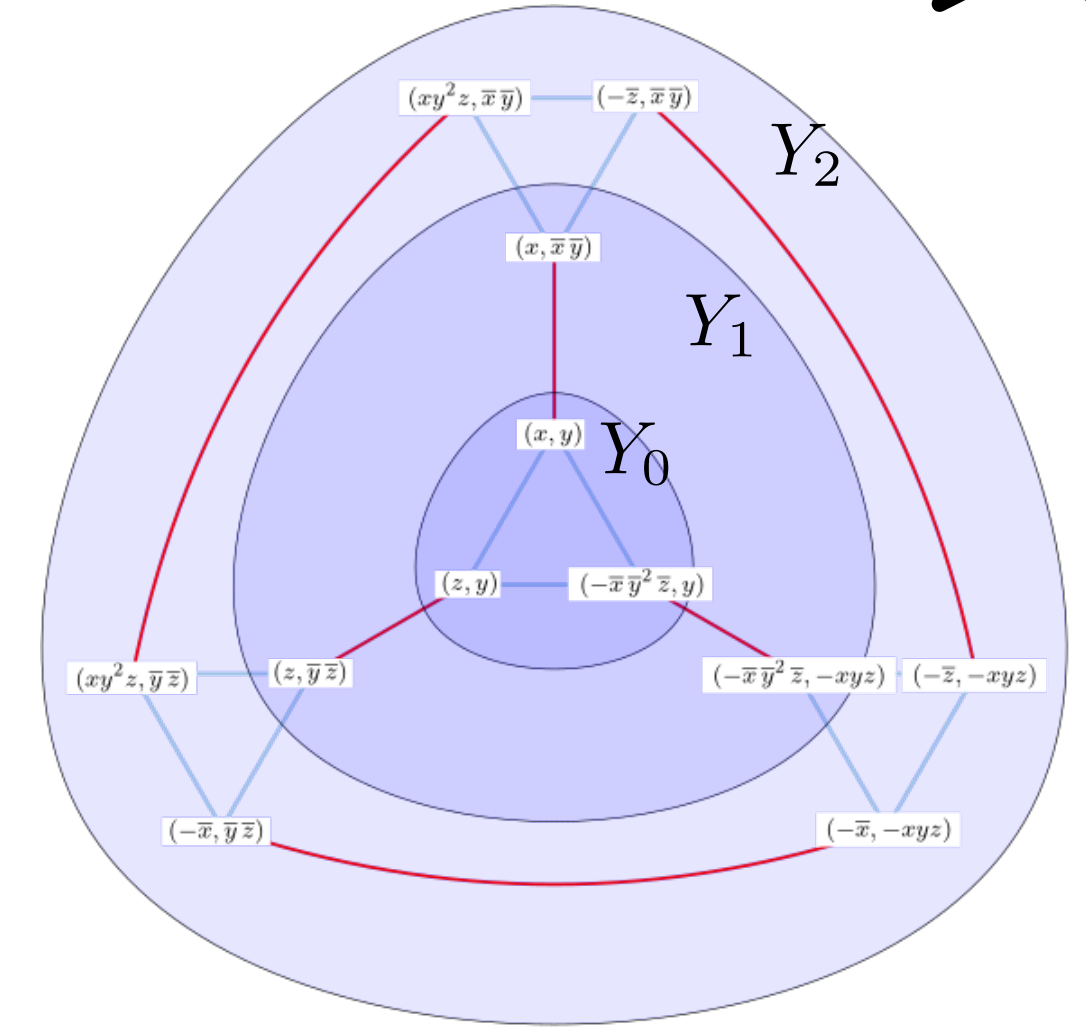
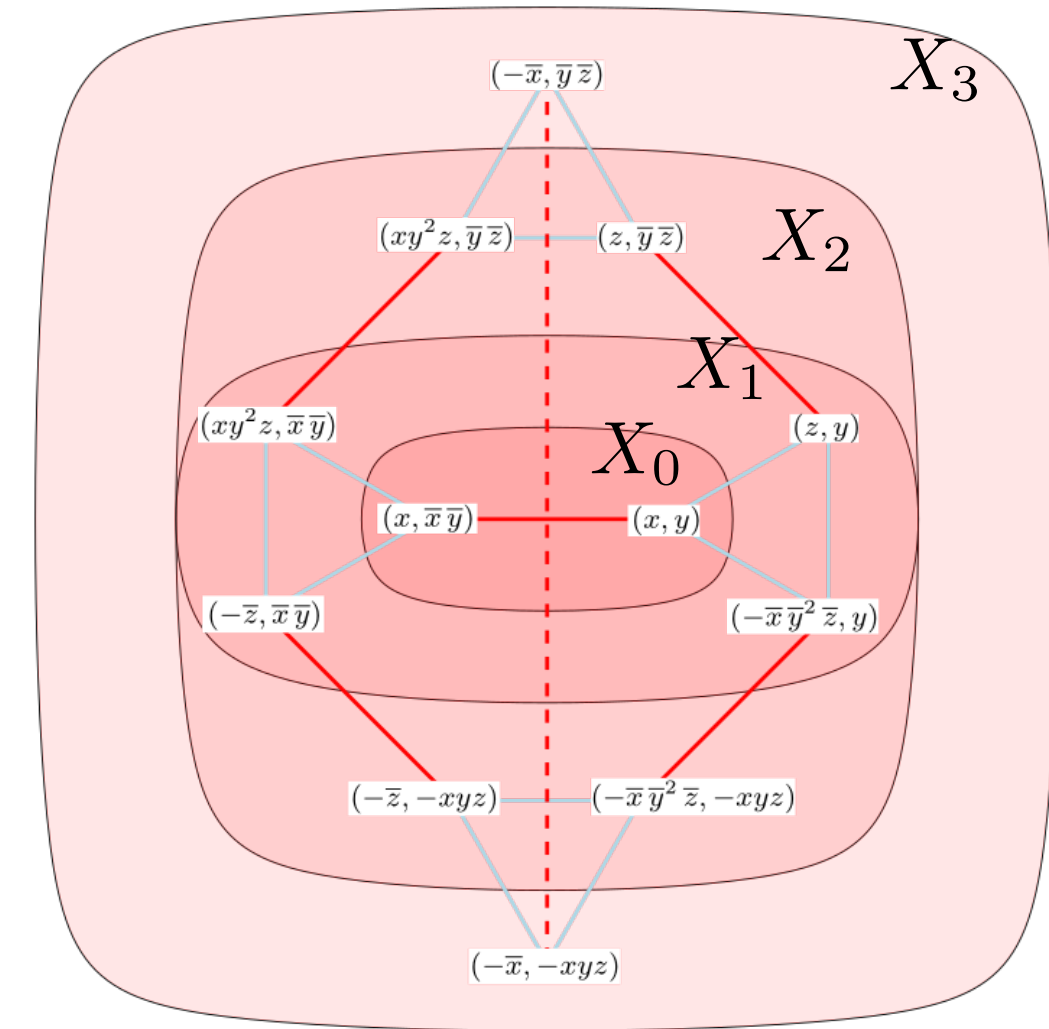
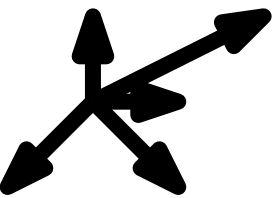


$$Y_0 := \sum_{\sigma \in G_y} \sigma \cdot (x, y) \quad Y_1 := \sum_{\sigma \in G_y} \sigma \cdot (x, y_1) \\ Y_2 = \sum_{\sigma \in G} \sigma \cdot (x_4, y_1)$$

Si  $\sigma \in G_y$ , on a  $\sigma \cdot Y_i = Y_i$   
 $\Rightarrow$  Si  $H(x, y) \in \mathbb{C}(x, y, t)$ , et  $\sigma \in G_y$ , on a  
 $\sigma \cdot H_{Y_i} = H_{\sigma \cdot Y_i} = H_{Y_i} \in \mathbb{C}(t, \mathcal{O})$   
 $\Rightarrow H_{Y_0}, H_{Y_1}, H_{Y_2} \in \mathbb{C}(t, y)$  par Galois

$\gamma_y$  est combinaison linéaire des  $Y_i$

# Exemple



$$(x, y) = \left( \frac{X_0}{2} - \frac{X_1}{8} + \frac{X_2}{8} \right) + \left( \frac{Y_0}{4} - \frac{Y_1}{4} \right) + \alpha$$

$$xy \equiv -\frac{3tx^2 - t - 4x}{4t(x^2 + 1)} + -\frac{y+4}{4y} + 0$$

## Une jolie formule

**Théorème [B., Hardouin 24]** Si l'orbite est *distance-transitive*, alors le découplage de  $(x, y)$  est donné par

$$\gamma_x = \sum_{i \geq 1} \frac{\#\mathcal{X}_i}{\#\mathcal{O}} \sum_{1 \leq 2j+1 \leq i} \left( \frac{X_{2j}}{\#\mathcal{X}_{2j}} - \frac{X_{2j+1}}{\#\mathcal{X}_{2j+1}} \right)$$

$$\gamma_y = \sum_{i \geq 1} \frac{\#\mathcal{Y}_i}{\#\mathcal{O}} \sum_{1 \leq 2j+1 \leq i} \left( \frac{Y_{2j}}{\#\mathcal{Y}_{2j}} - \frac{Y_{2j+1}}{\#\mathcal{Y}_{2j+1}} \right)$$

## Une jolie formule

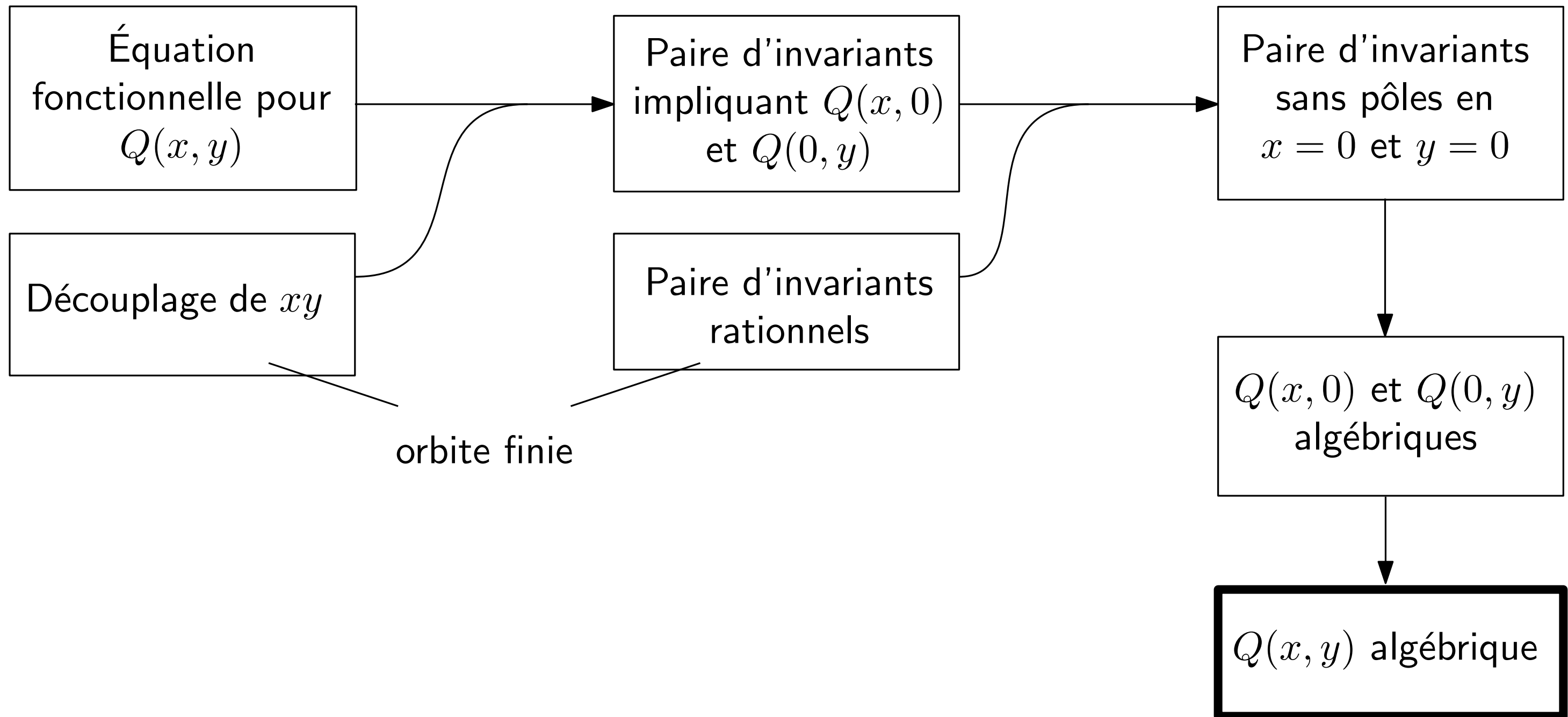
**Théorème [B., Hardouin 24]** Si l'orbite est *distance-transitive*, alors le découplage de  $(x, y)$  est donné par

$$\gamma_x = \sum_{i \geq 1} \frac{\#\mathcal{X}_i}{\#\mathcal{O}} \sum_{1 \leq 2j+1 \leq i} \left( \frac{X_{2j}}{\#\mathcal{X}_{2j}} - \frac{X_{2j+1}}{\#\mathcal{X}_{2j+1}} \right)$$

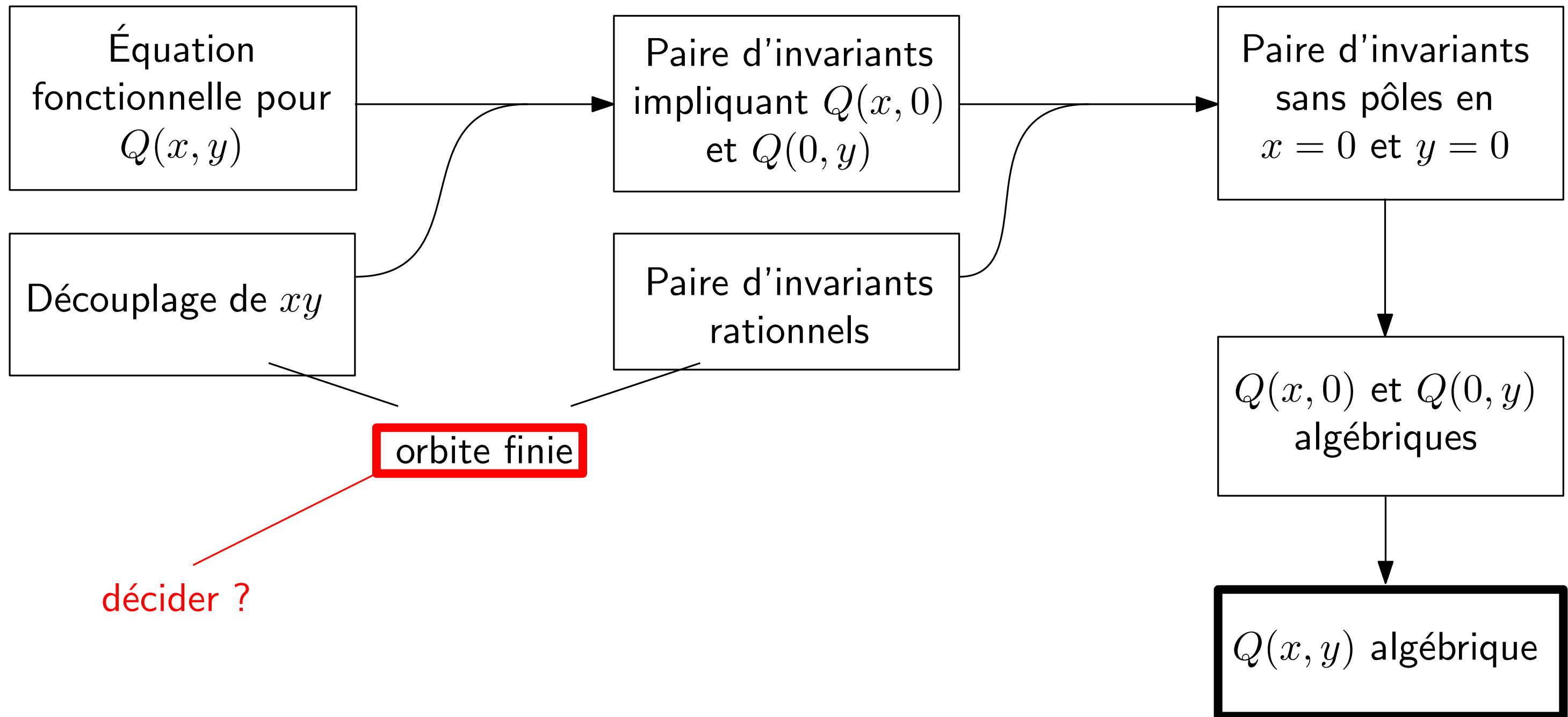
$$\gamma_y = \sum_{i \geq 1} \frac{\#\mathcal{Y}_i}{\#\mathcal{O}} \sum_{1 \leq 2j+1 \leq i} \left( \frac{Y_{2j}}{\#\mathcal{Y}_{2j}} - \frac{Y_{2j+1}}{\#\mathcal{Y}_{2j+1}} \right)$$

⇒ évaluations sous forme de sommes de Newton explicites

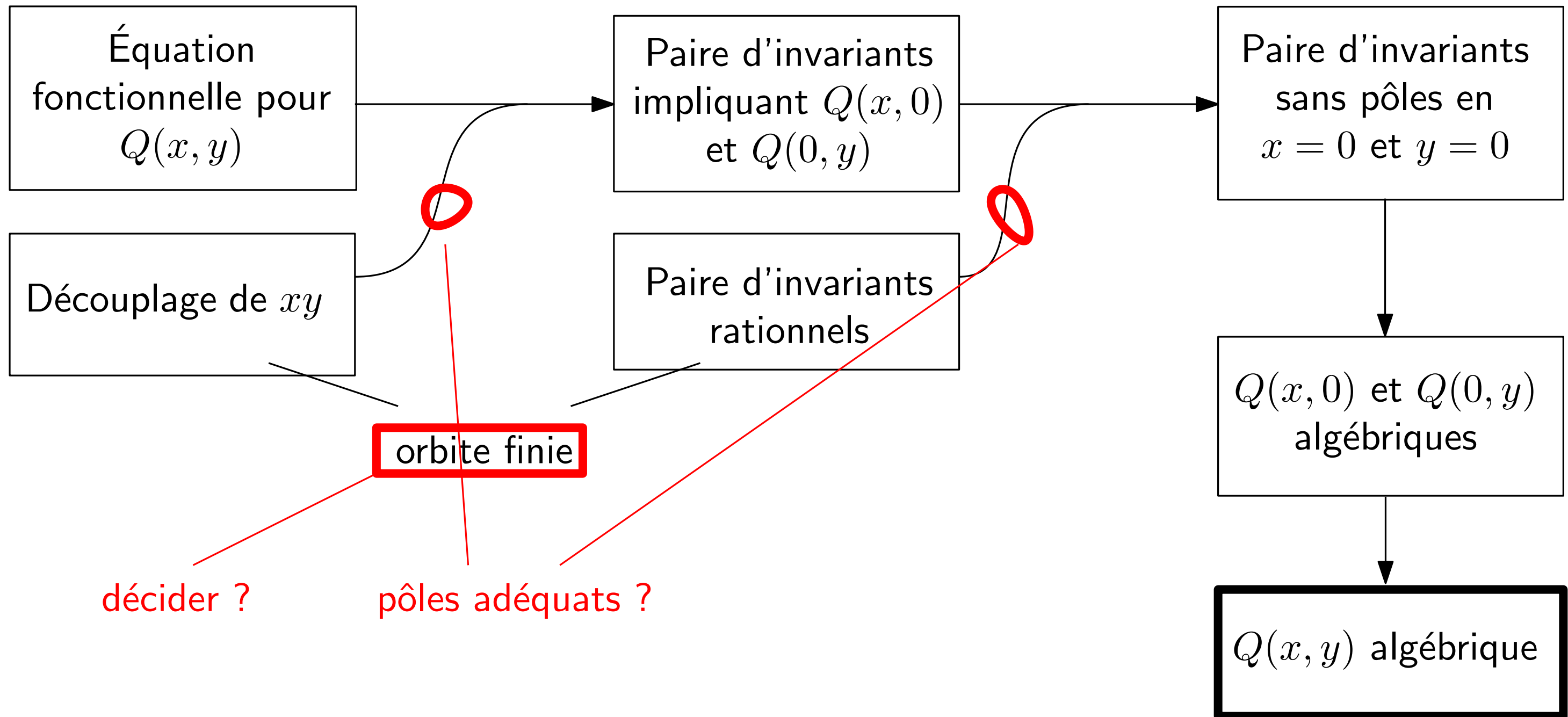
# Retour sur la stratégie d'algébricité



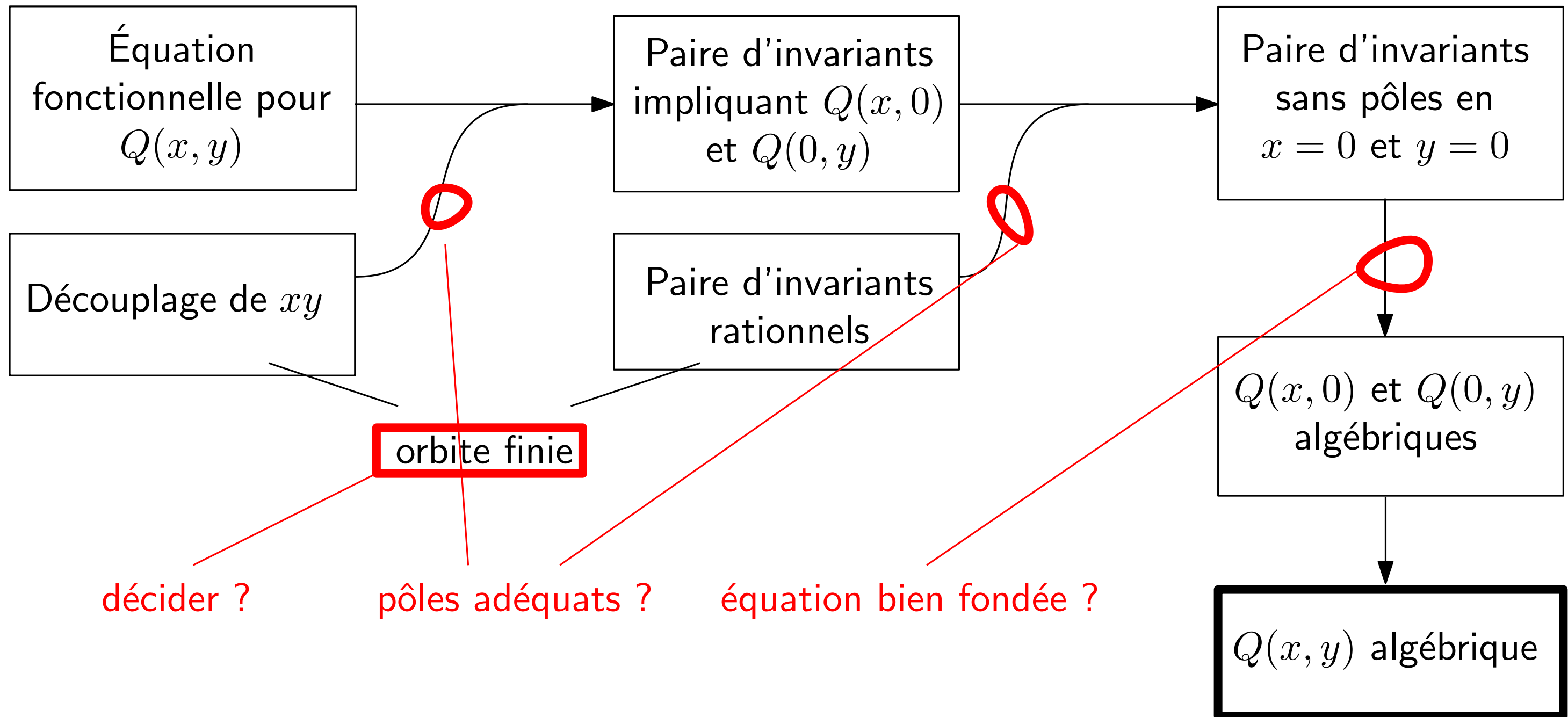
# Retour sur la stratégie d'algébricité



# Retour sur la stratégie d'algébricité



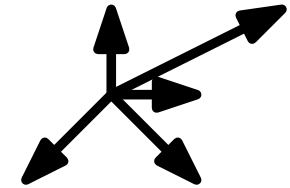
# Retour sur la stratégie d'algébricité



# **Applications**

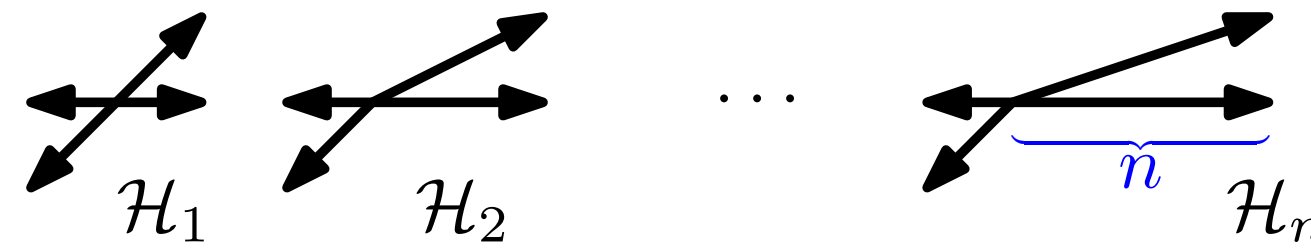
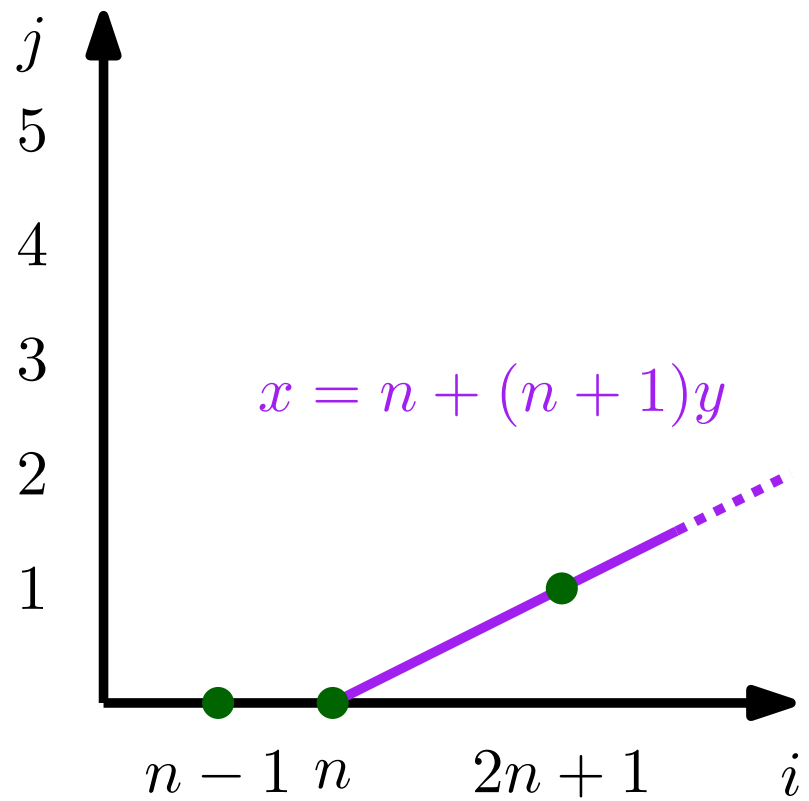
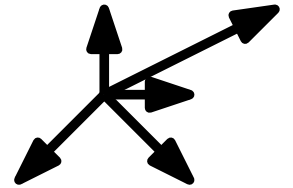
# Applications

- Premières preuves d'algébricité de modèles à grands pas (conj. [Bousquet-Mélou,Bostan,Melczer,18]) + polynôme minimal de la série des excursions



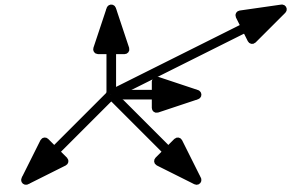
# Applications

- Premières preuves d'algébricité de modèles à grands pas (conj. [Bousquet-Mélou,Bostan,Melczer,18]) + polynôme minimal de la série des excursions
- Conjecture d'algébricité d'une famille infinie de modèles qui étendent le modèle de Gessel

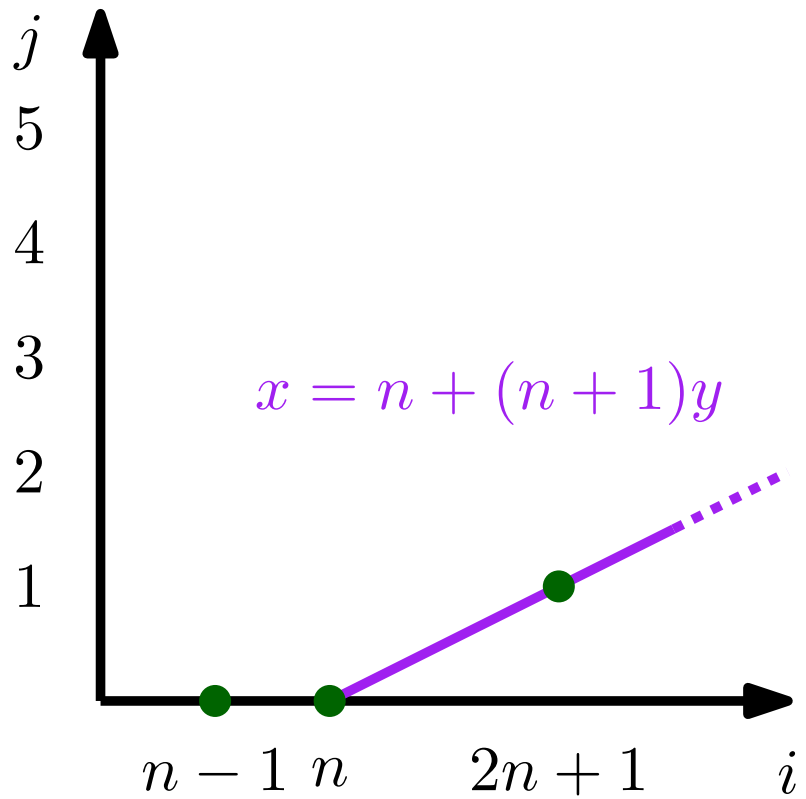


# Applications

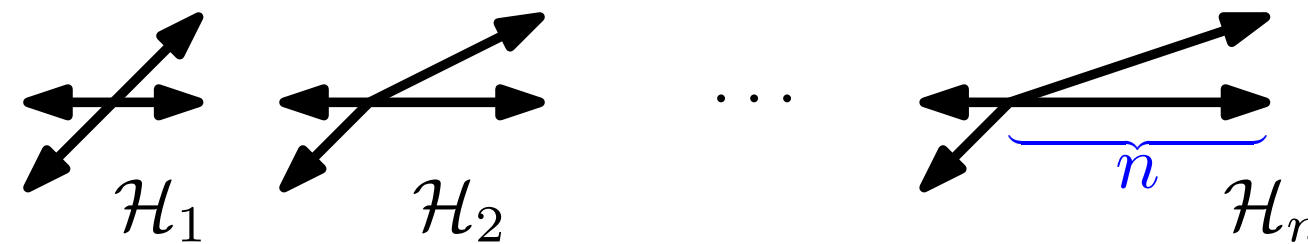
- Premières preuves d'algébricité de modèles à grands pas (conj. [Bousquet-Mélou,Bostan,Melczer,18]) + polynôme minimal de la série des excursions



- Conjecture d'algébricité d'une famille infinie de modèles qui étendent le modèle de Gessel

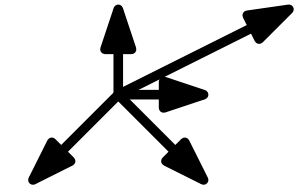


- orbite finie

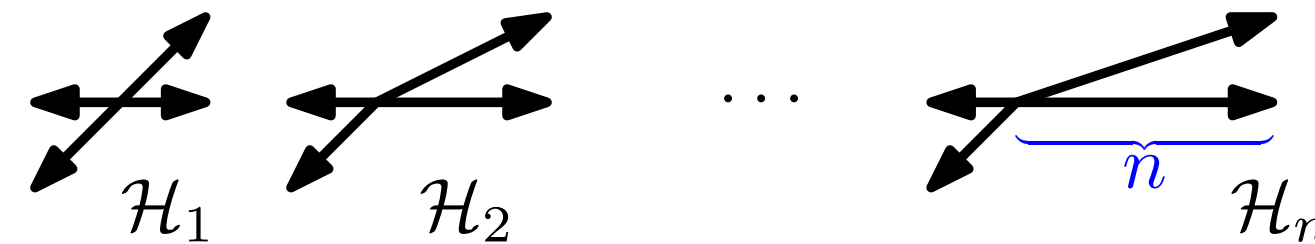
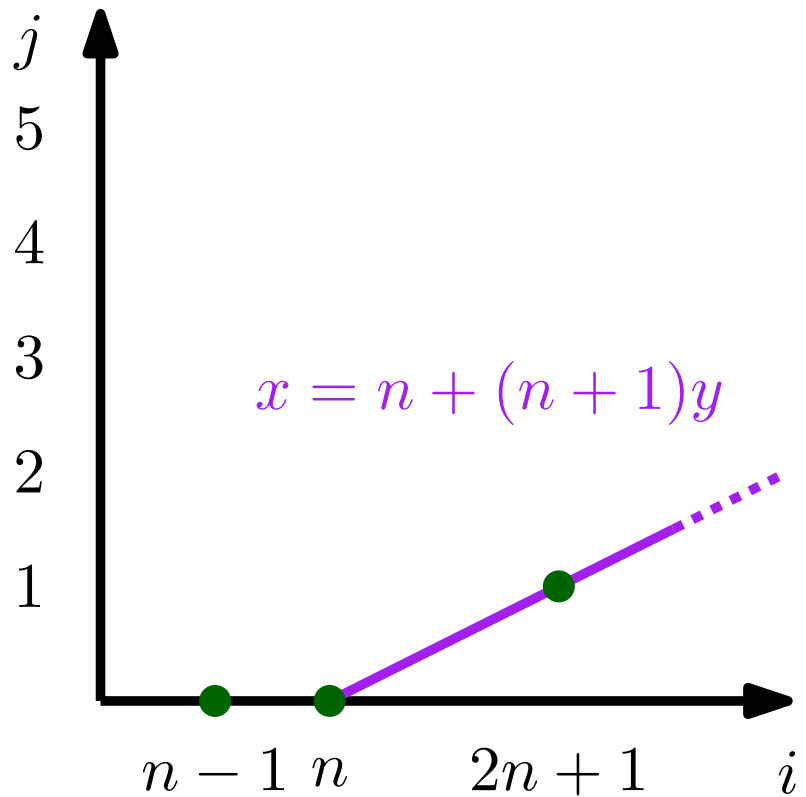


# Applications

- Premières preuves d'algébricité de modèles à grands pas (conj. [Bousquet-Mélou,Bostan,Melczer,18]) + polynôme minimal de la série des excursions



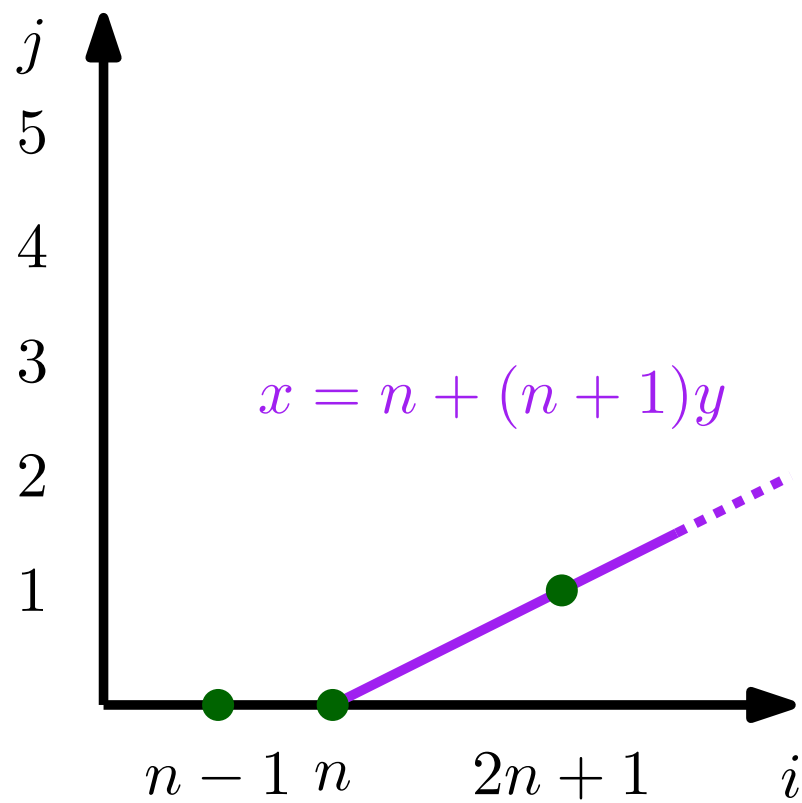
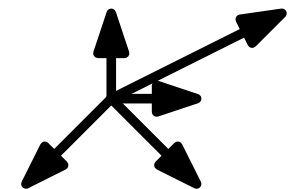
- Conjecture d'algébricité d'une famille infinie de modèles qui étendent le modèle de Gessel



- orbite finie
- invariants rationnels explicites

# Applications

- Premières preuves d'algébricité de modèles à grands pas (conj. [Bousquet-Mélou,Bostan,Melczer,18]) + polynôme minimal de la série des excursions
- Conjecture d'algébricité d'une famille infinie de modèles qui étendent le modèle de Gessel



- orbite finie
- invariants rationnels explicites
- découplage explicite de  $x^{i+1}y^{j+1}$  tous les points de départ  $(i, j)$  conjecturés

# **Projets futurs**

## Projets futurs

- Montrer le critère orbite finie +  $xy$  découple  $\Rightarrow$  algébricité

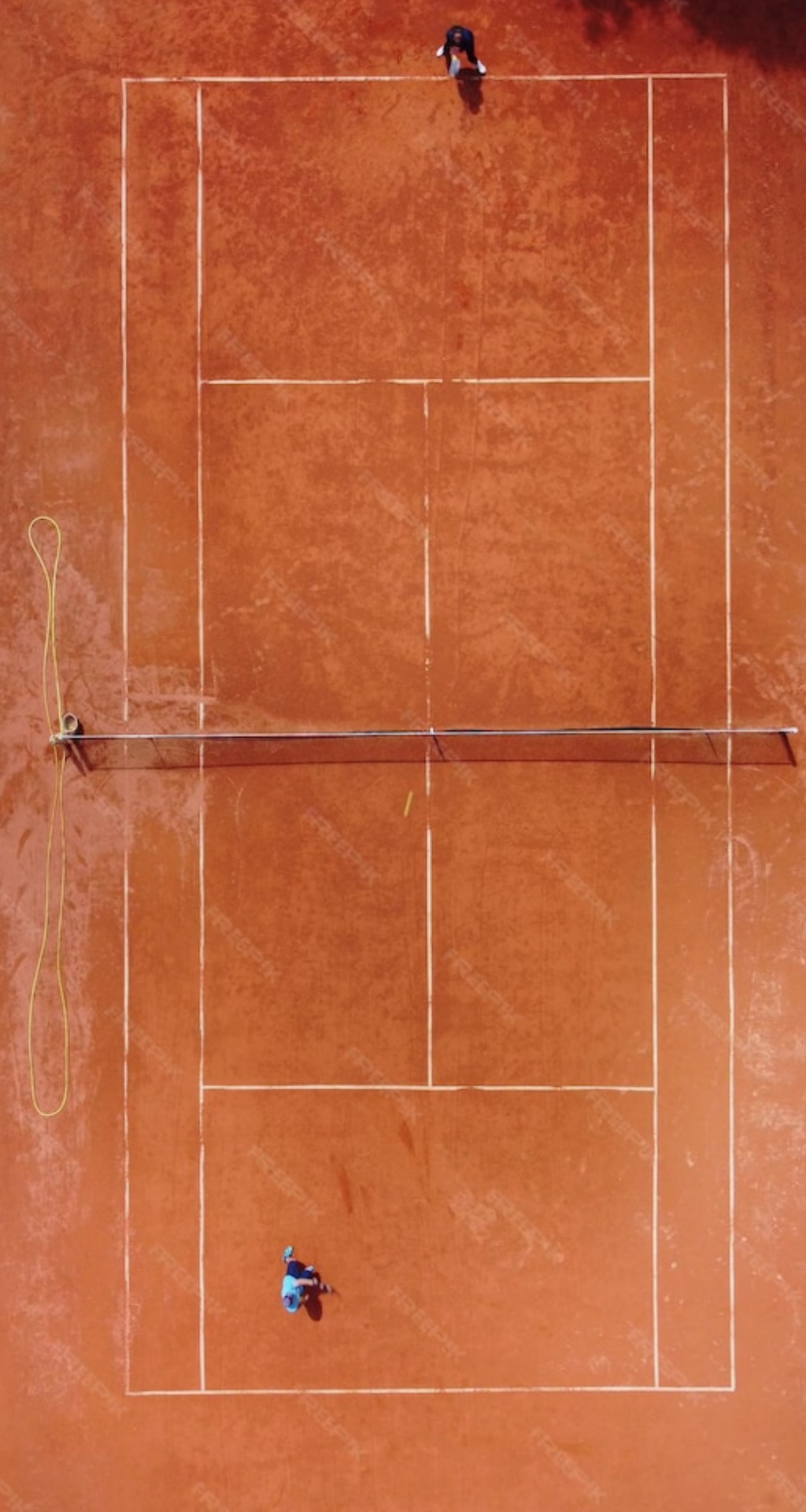
## Projets futurs

- Montrer le critère orbite finie +  $xy$  découple  $\Rightarrow$  algébricité
- Continuer d'exploiter la structure de l'orbite pour d'autres fins

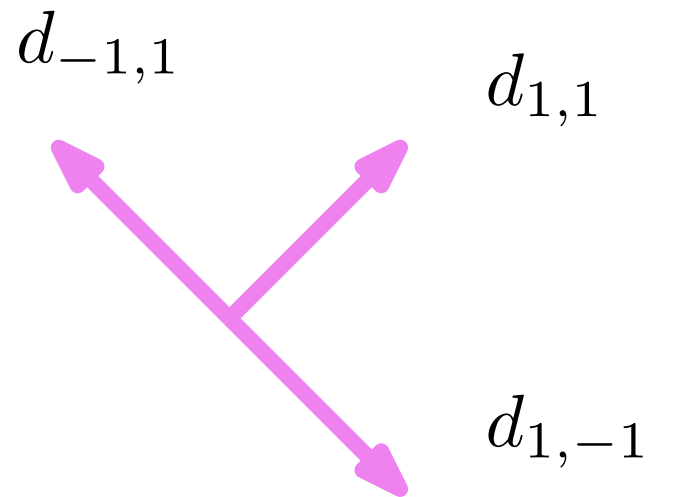
## Projets futurs

- Montrer le critère orbite finie +  $xy$  découple  $\Rightarrow$  algébricité
- Continuer d'exploiter la structure de l'orbite pour d'autres fins
- Découvrir d'autres modèles d'orbite finie + détecter les points de départ algébriques

2. Chemins à petits pas de genre  
zéro à bords interactifs

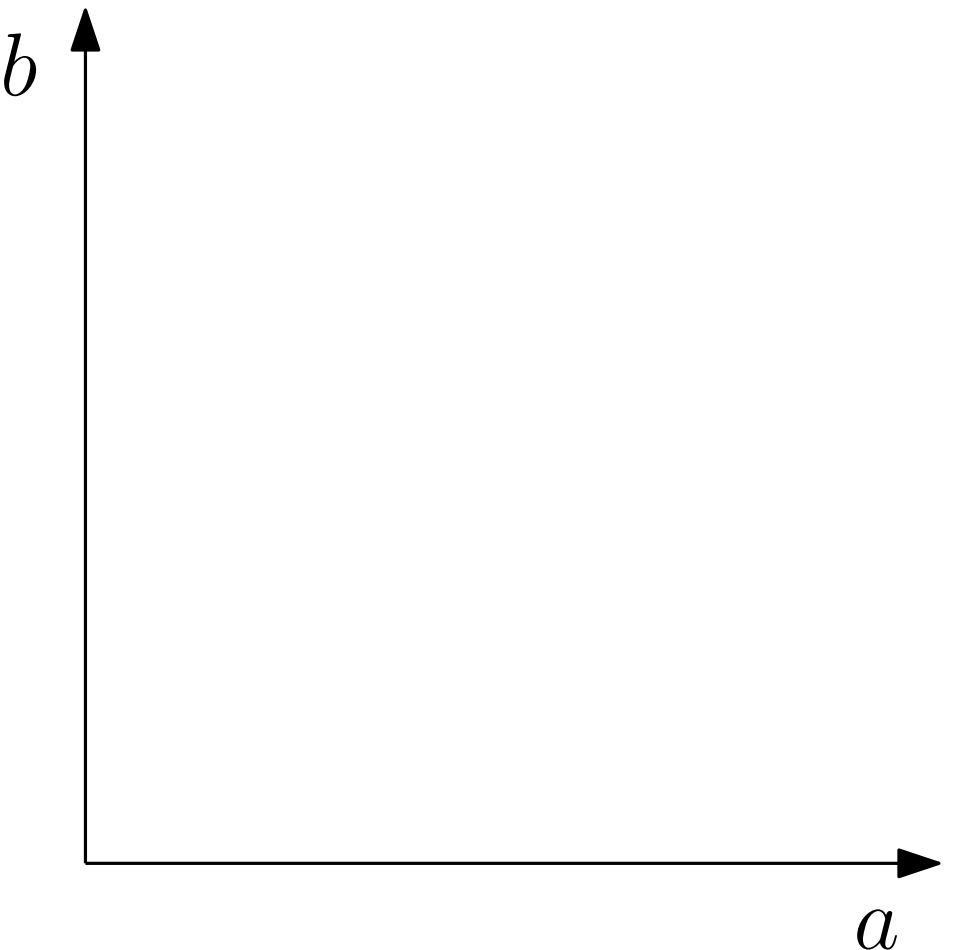


# Chemins à bords interactifs

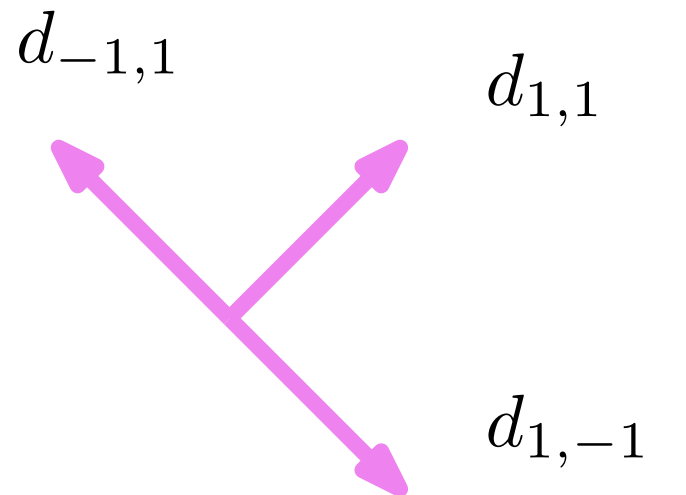


$$\mathcal{S} = \{(1, 1), (1, -1), (-1, 1)\}$$

( $\mathcal{S}$  est un modèle)

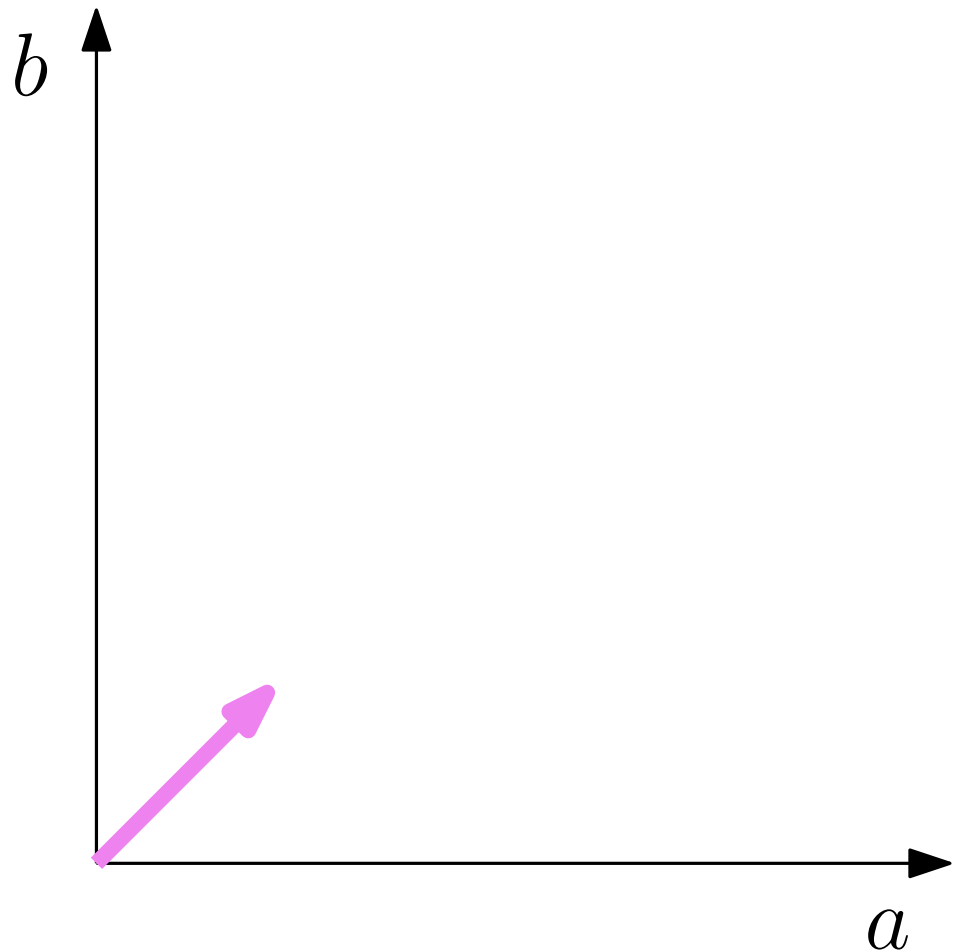


# Chemins à bords interactifs

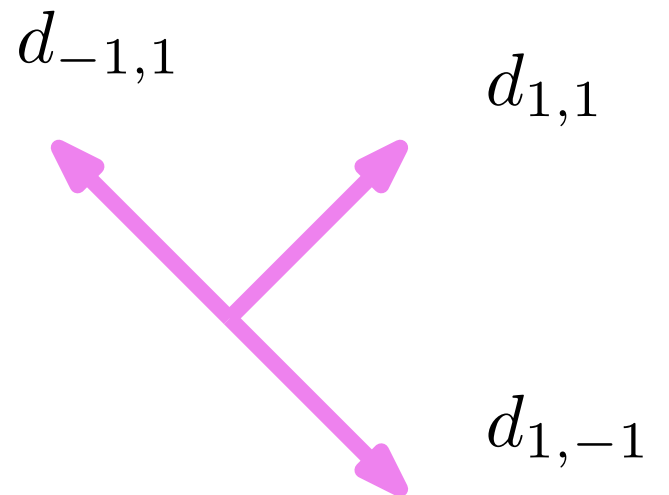


$$\mathcal{S} = \{(1, 1), (1, -1), (-1, 1)\}$$

( $\mathcal{S}$  est un modèle)

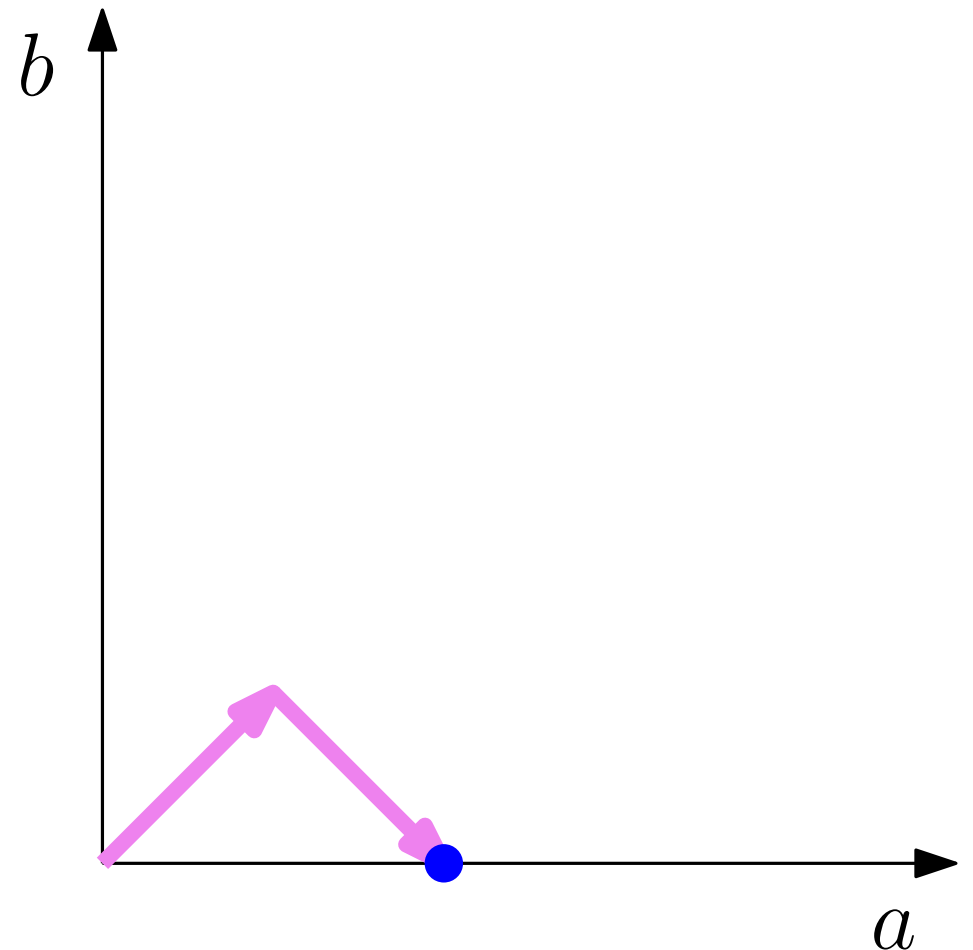


# Chemins à bords interactifs

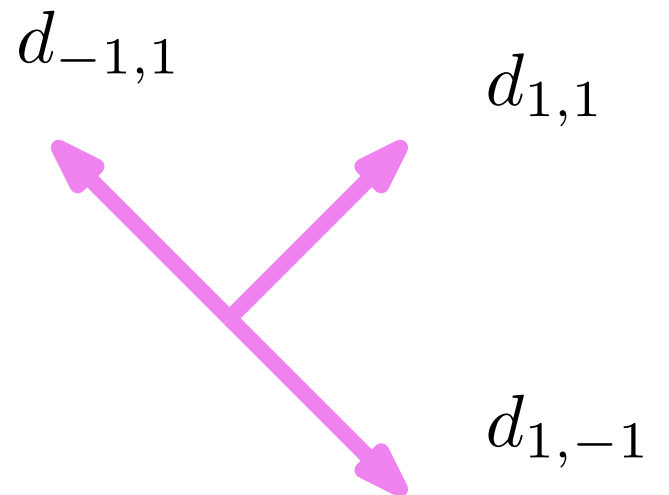


$$\mathcal{S} = \{(1, 1), (1, -1), (-1, 1)\}$$

( $\mathcal{S}$  est un modèle)

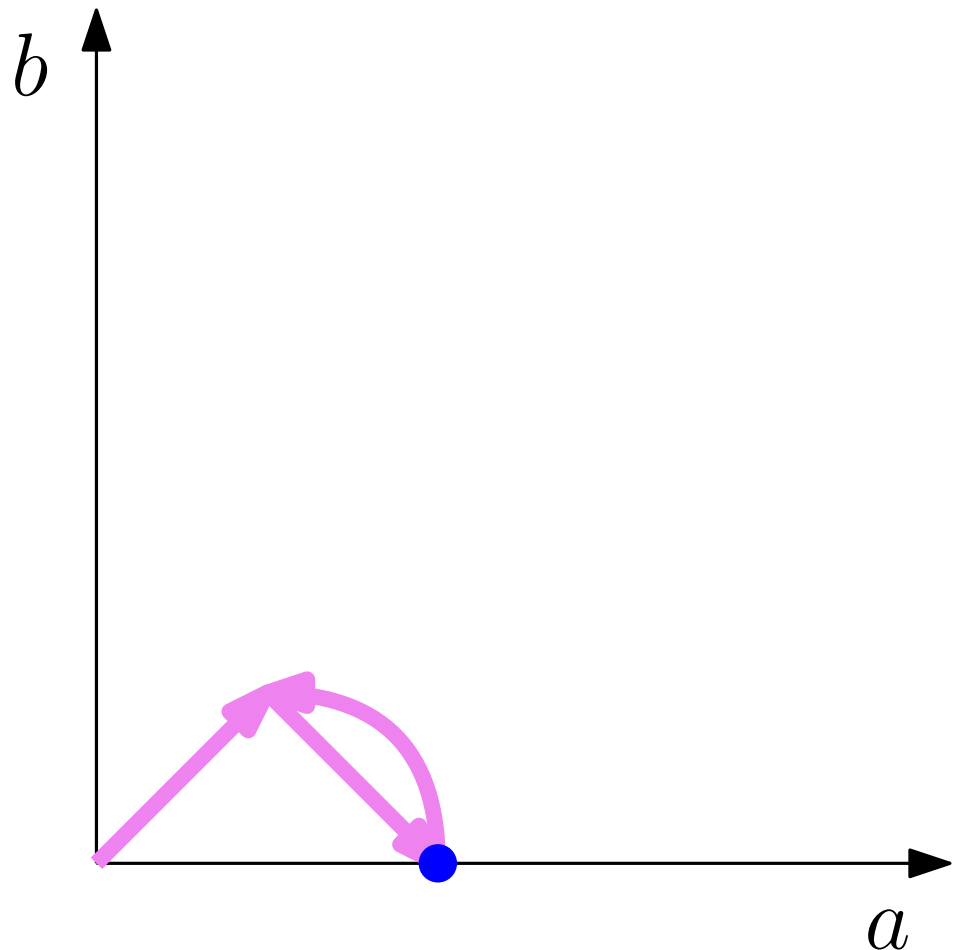


# Chemins à bords interactifs

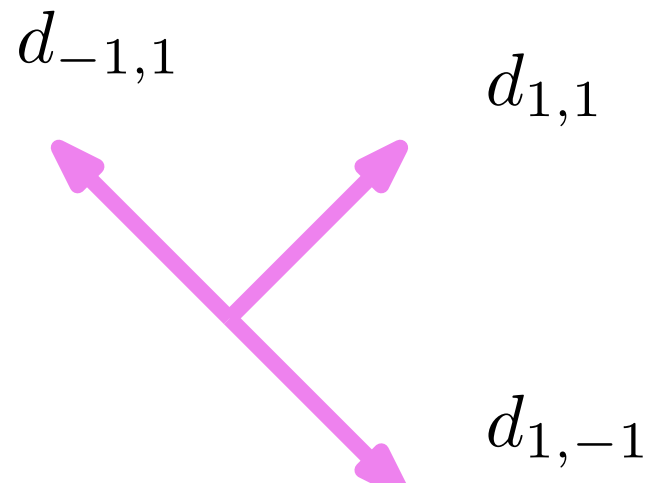


$$\mathcal{S} = \{(1, 1), (1, -1), (-1, 1)\}$$

( $\mathcal{S}$  est un modèle)

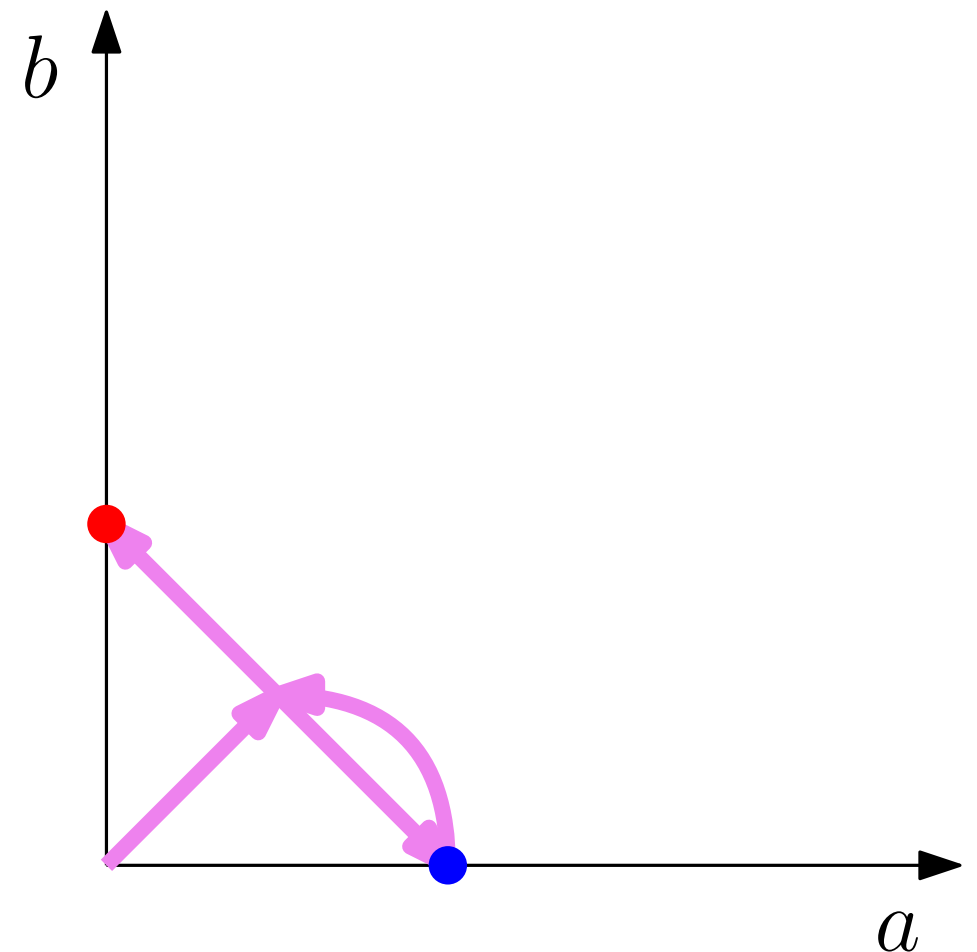


# Chemins à bords interactifs

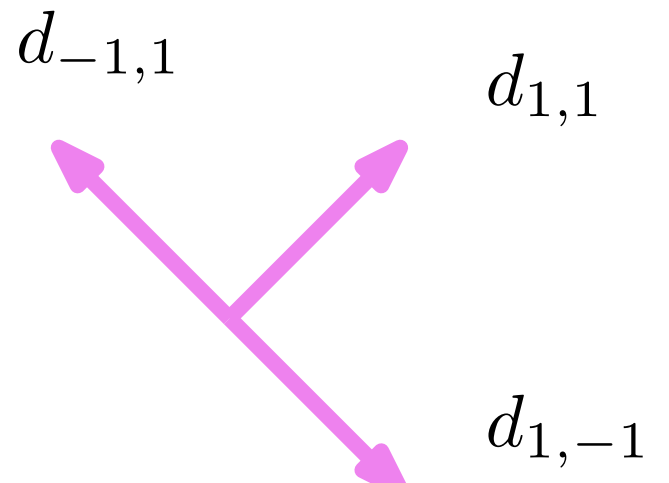


$$\mathcal{S} = \{(1, 1), (1, -1), (-1, 1)\}$$

( $\mathcal{S}$  est un modèle)

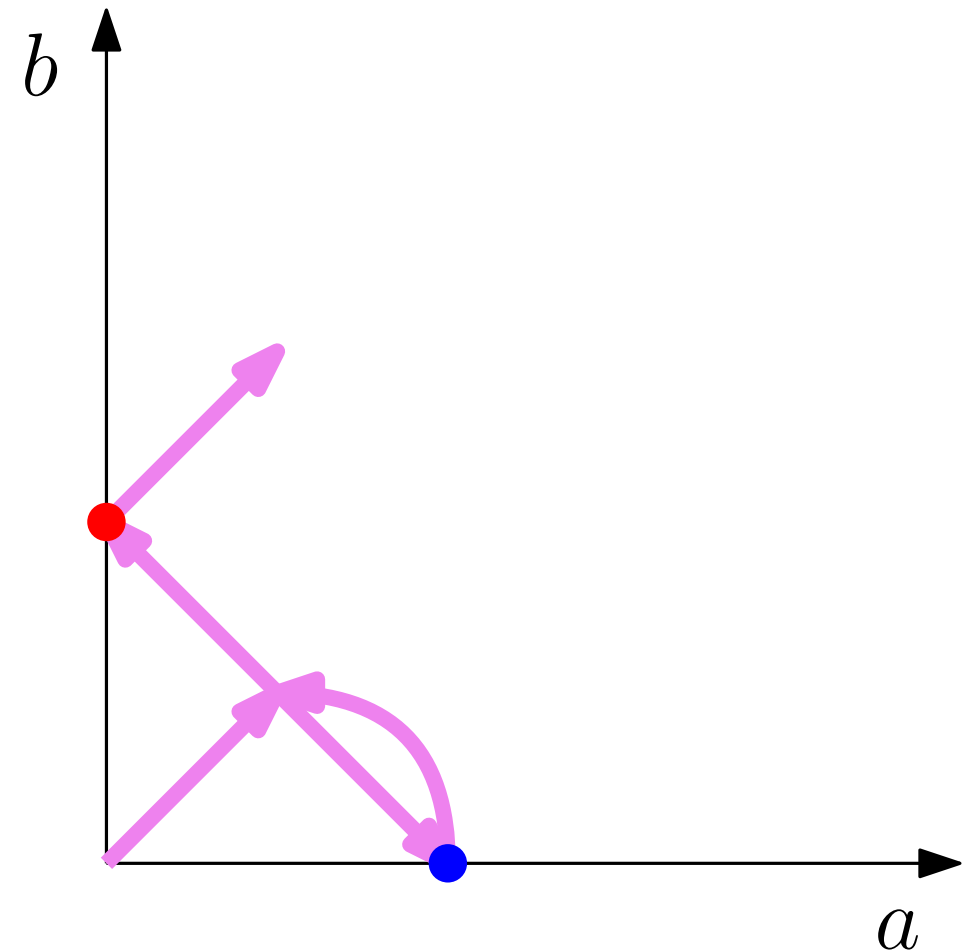


# Chemins à bords interactifs

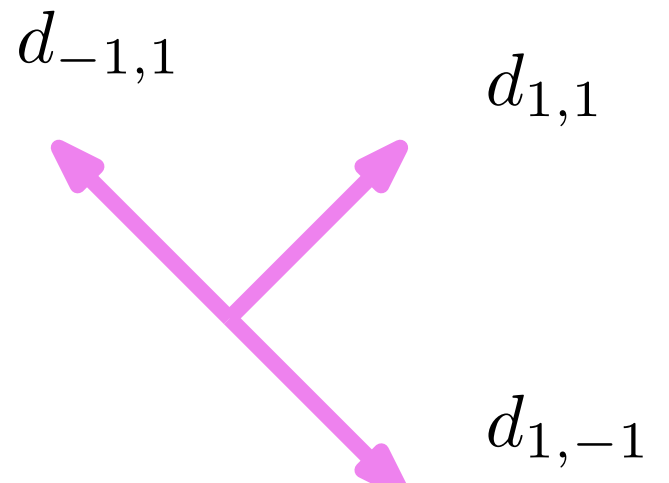


$$\mathcal{S} = \{(1, 1), (1, -1), (-1, 1)\}$$

( $\mathcal{S}$  est un modèle)

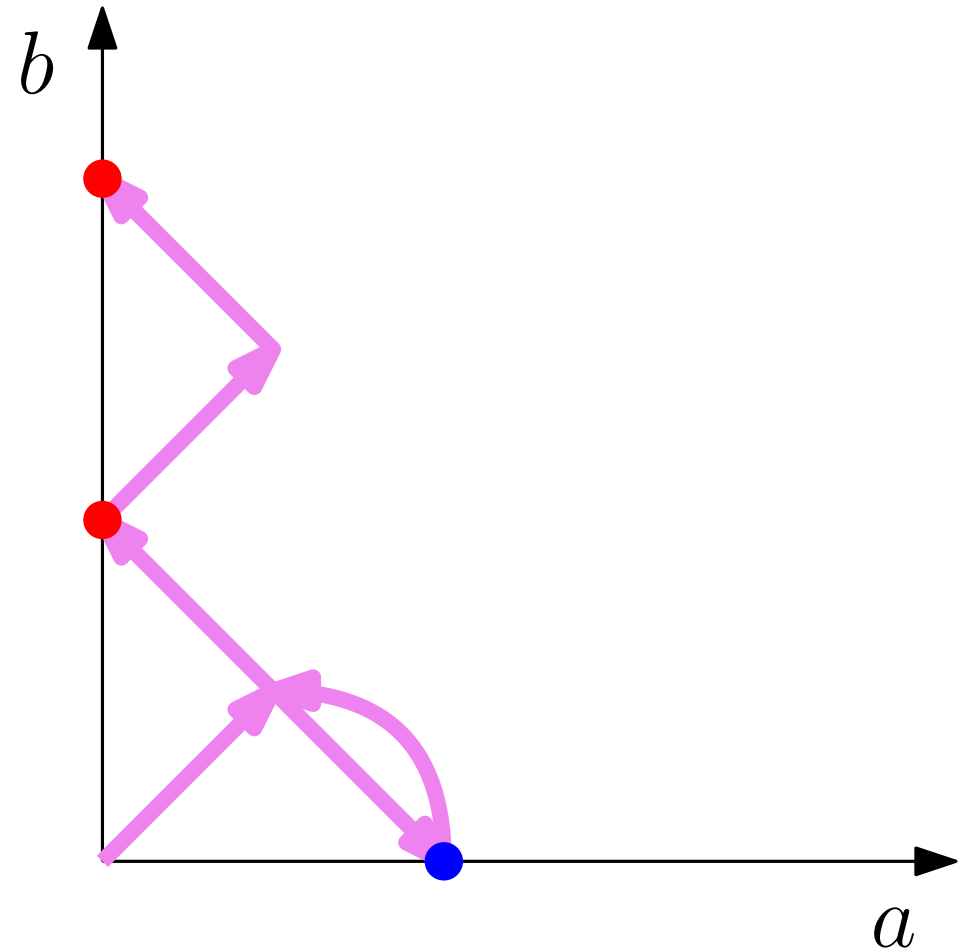


# Chemins à bords interactifs

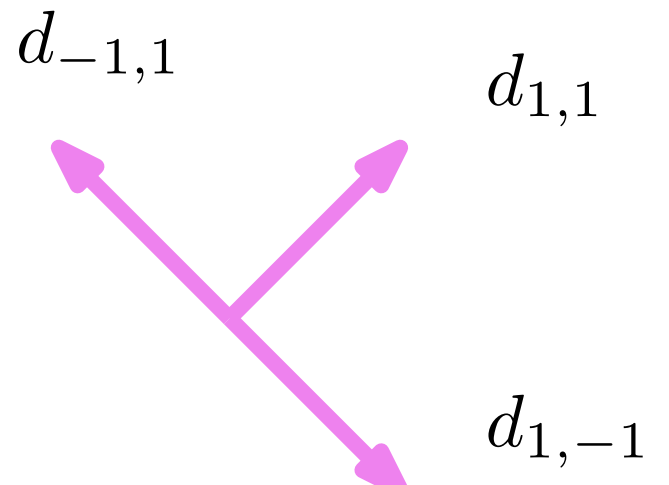


$$\mathcal{S} = \{(1, 1), (1, -1), (-1, 1)\}$$

( $\mathcal{S}$  est un modèle)

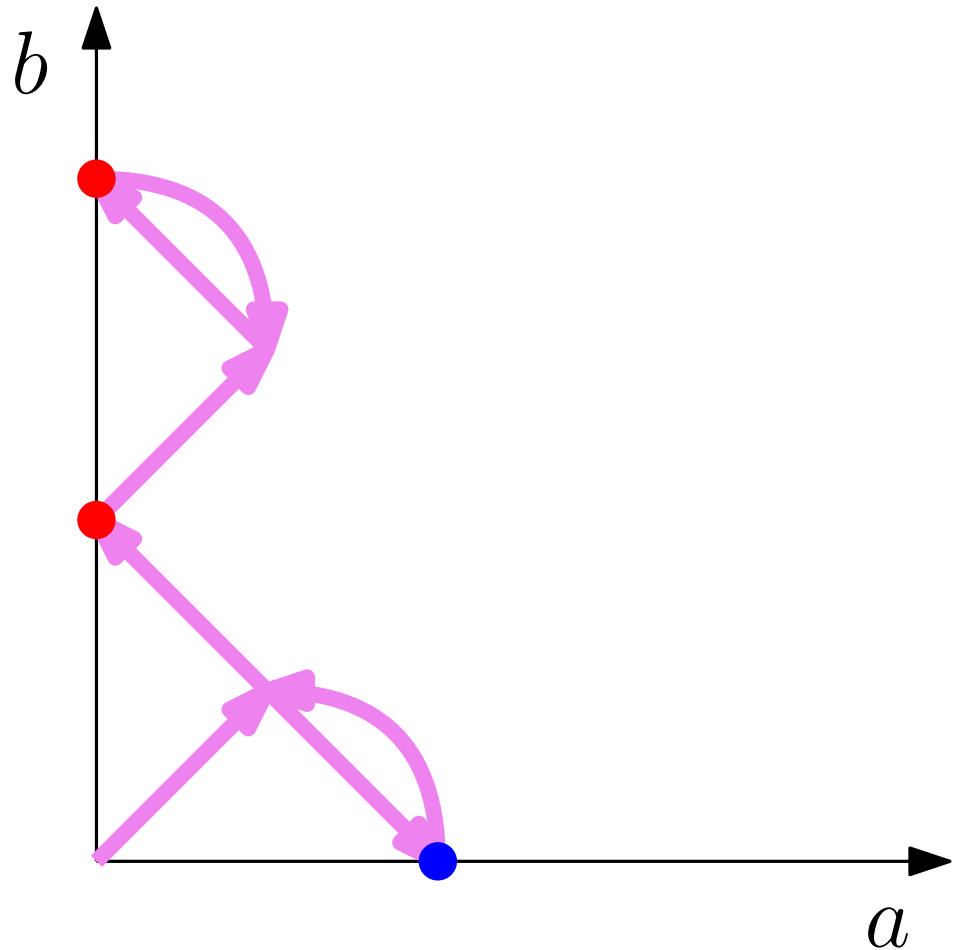


# Chemins à bords interactifs

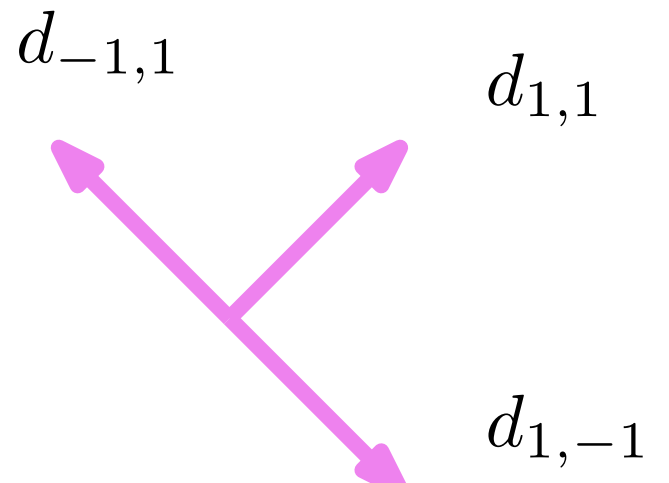


$$\mathcal{S} = \{(1, 1), (1, -1), (-1, 1)\}$$

( $\mathcal{S}$  est un modèle)

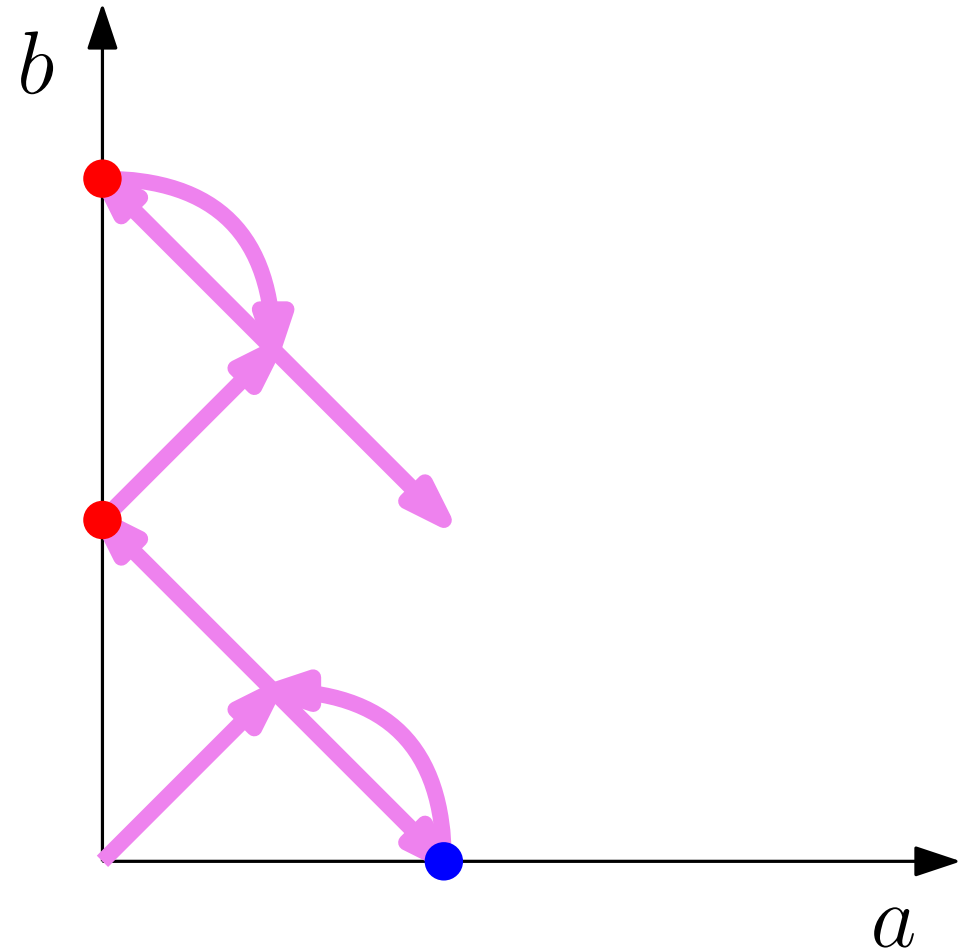


# Chemins à bords interactifs

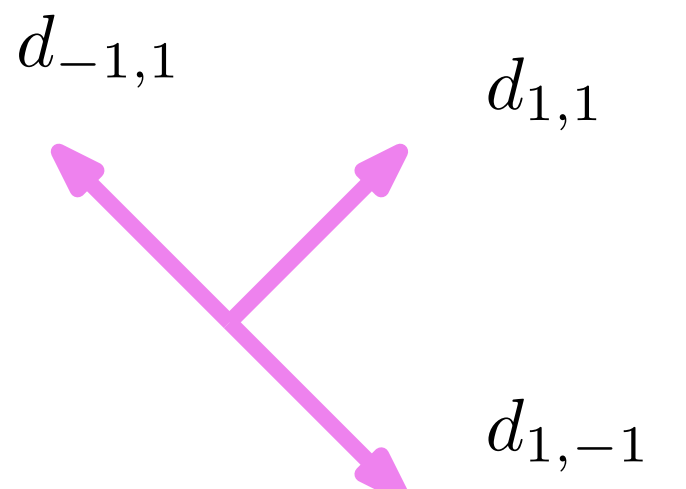


$$\mathcal{S} = \{(1, 1), (1, -1), (-1, 1)\}$$

( $\mathcal{S}$  est un modèle)

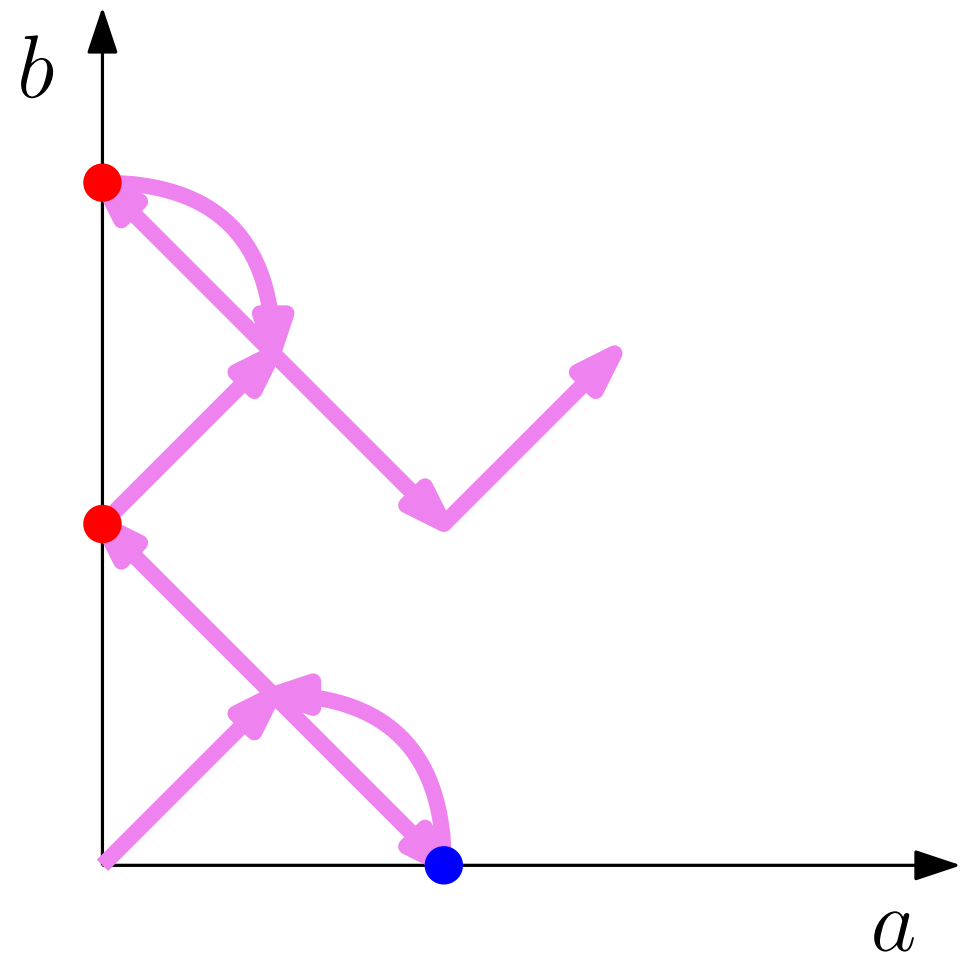


# Chemins à bords interactifs

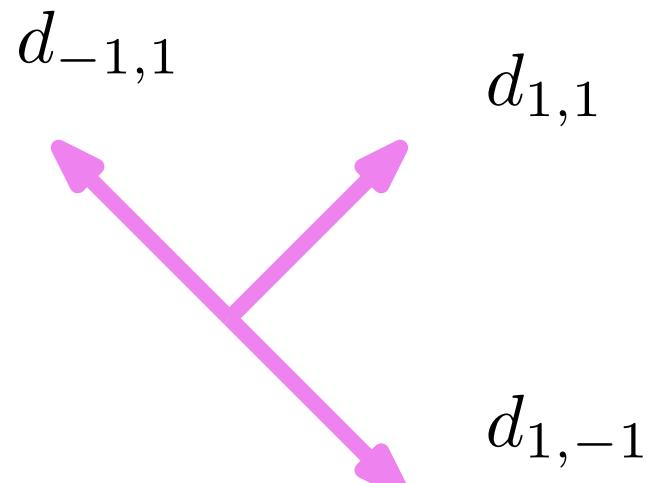


$$\mathcal{S} = \{(1, 1), (1, -1), (-1, 1)\}$$

( $S$  est un modèle)

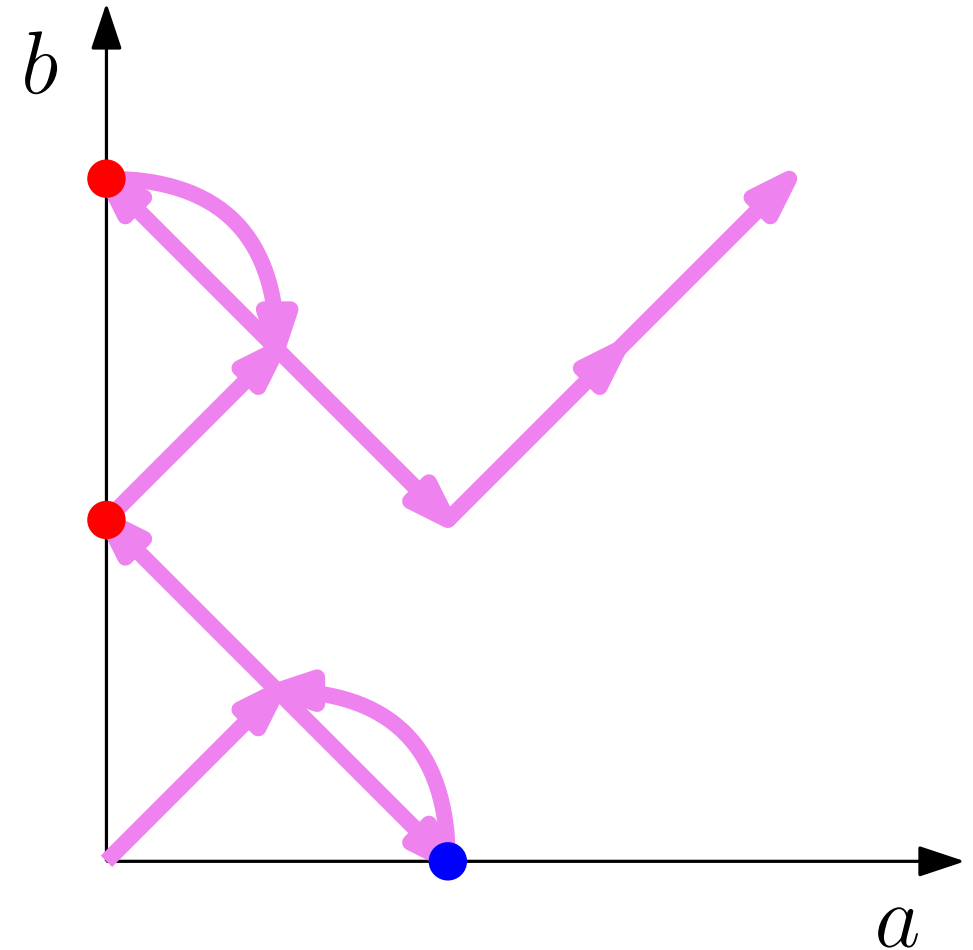


# Chemins à bords interactifs

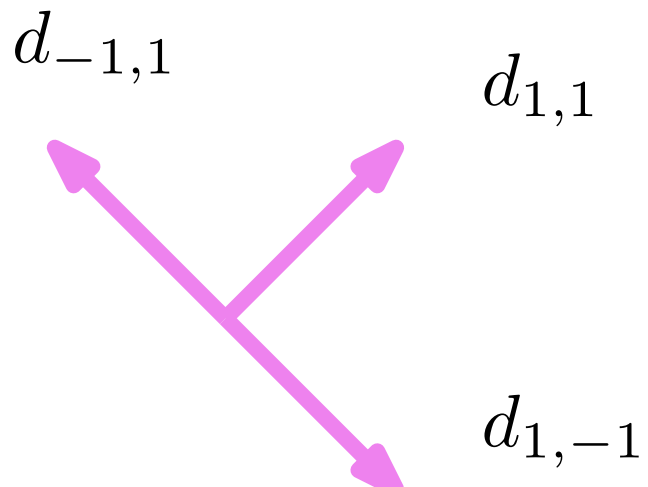


$$\mathcal{S} = \{(1, 1), (1, -1), (-1, 1)\}$$

( $\mathcal{S}$  est un modèle)

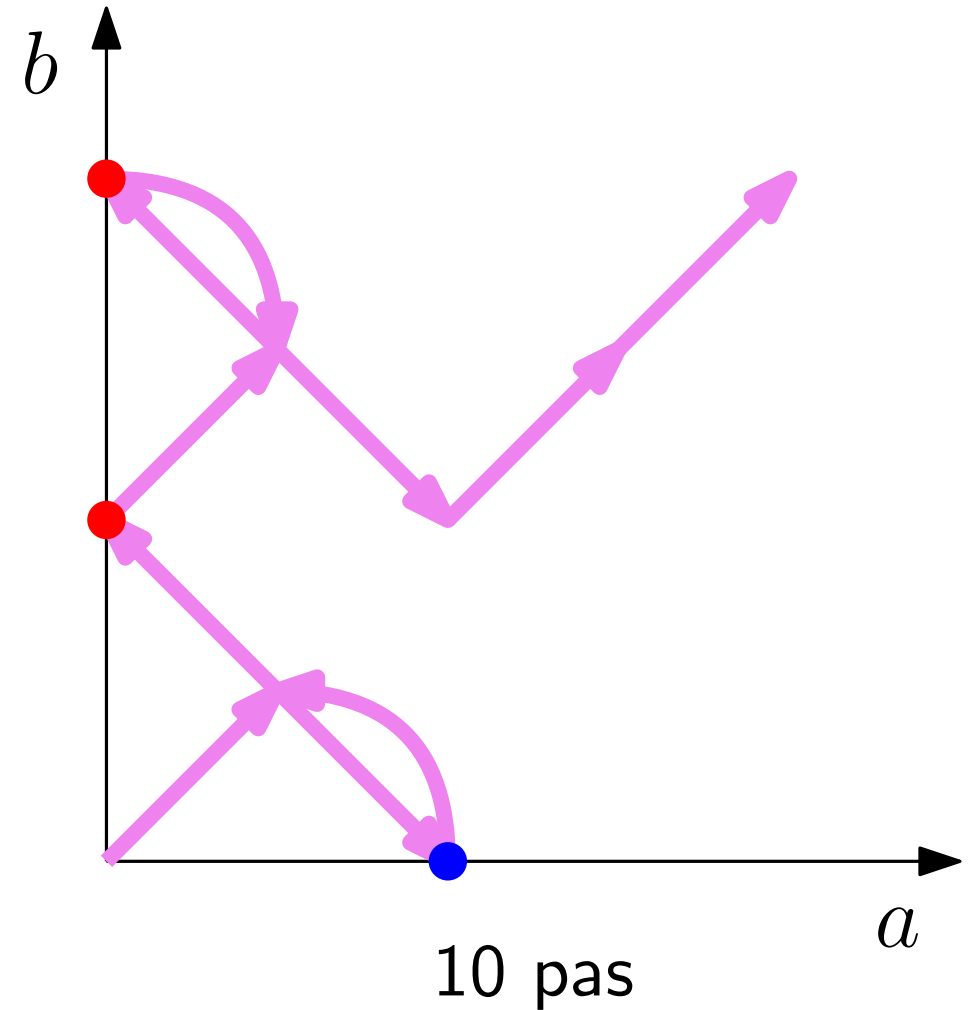


# Chemins à bords interactifs



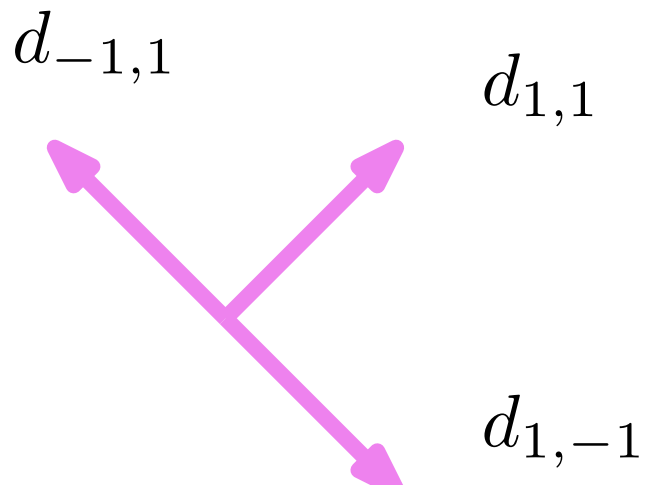
$$\mathcal{S} = \{(1, 1), (1, -1), (-1, 1)\}$$

( $\mathcal{S}$  est un modèle)



1 contact avec  $O_x$   
2 contacts avec  $O_y$   
4 pas  $(1, 1)$  3 pas  $(1, -1)$   
3 pas  $(-1, 1)$

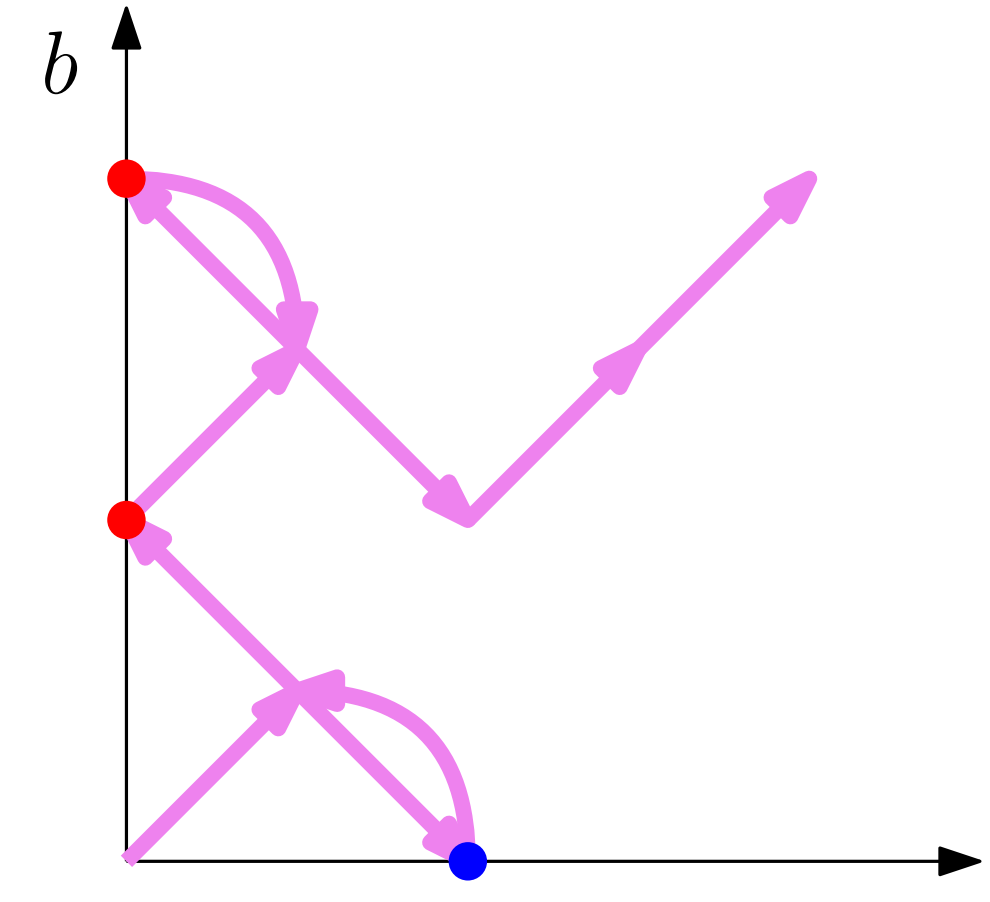
# Chemins à bords interactifs



$$\mathcal{S} = \{(1, 1), (1, -1), (-1, 1)\}$$

( $\mathcal{S}$  est un modèle)

$$d_{1,1}^4 d_{1,-1}^3 d_{-1,1}^3 ab^2 x^4 y^4 t^{10}$$



10 pas  
1 contact avec  $O_x$   
2 contacts avec  $O_y$   
4 pas  $(1, 1)$  3 pas  $(1, -1)$   
3 pas  $(-1, 1)$

# Équation fonctionnelle

$$\mathcal{S} \subset \begin{array}{c} \nearrow \swarrow \\ \nwarrow \searrow \end{array}$$

$$Q(x, y) = \sum_{\text{marches}} \left( \prod_{p \in \mathcal{S}} d_p^{n_p} \right) a^{n_x} b^{n_y} x^i y^j t^n$$

$$S(x, y) = \sum_{(k, l) \in \mathcal{S}} d_{k, l} x^k y^l$$

Sans interaction ( $a = b = 1$ ) :

$$xyK(x, y)Q(x, y) = xy - txQ(x, 0) - tyQ(0, y) + tQ(0, 0)$$

Cas général :

$$xyK(x, y)Q(x, y) = \frac{xy}{ab} + \gamma_1(x, y)Q(x, 0) + \gamma_2(x, y)Q(0, y) + \gamma_3(x, y)Q(0, 0).$$

# Équation fonctionnelle

$$\mathcal{S} \subset \begin{array}{c} \nearrow \swarrow \\ \nwarrow \searrow \end{array}$$

$$Q(x, y) = \sum_{\text{marches}} \left( \prod_{p \in \mathcal{S}} d_p^{n_p} \right) a^{n_x} b^{n_y} x^i y^j t^n$$

$$S(x, y) = \sum_{(k,l) \in \mathcal{S}} d_{k,l} x^k y^l$$

Sans interaction ( $a = b = 1$ ) :

$$xyK(x, y)Q(x, y) = xy - txQ(x, 0) - tyQ(0, y) + tQ(0, 0)$$

Cas général :

Méthode du noyau

$$xyK(x, y)Q(x, y) = \frac{xy}{ab} + \gamma_1(x, y)Q(x, 0) + \gamma_2(x, y)Q(0, y) + \gamma_3(x, y)Q(0, 0).$$

# Méthode du noyau

$$xyK(x,y)Q(x,y) = \frac{xy}{ab} + \gamma_1(x,y)Q(x,0) + \gamma_2(x,y)Q(0,y) + \gamma_3(x,y)Q(0,0)$$

# Méthode du noyau

$$xyK(x, y)Q(x, y) = \frac{xy}{ab} + \gamma_1(x, y)Q(x, 0) + \gamma_2(x, y)Q(0, y) + \gamma_3(x, y)Q(0, 0)$$



$(x, y) := (x(s), y(s))$  tel que

# Méthode du noyau

$$xyK(x, y)Q(x, y) = \frac{xy}{ab} + \gamma_1(x, y)Q(x, 0) + \gamma_2(x, y)Q(0, y) + \gamma_3(x, y)Q(0, 0)$$



$(x, y) := (x(s), y(s))$  tel que  
•  $K(x(s), y(s)) = 0$

# Méthode du noyau

$$xyK(x, y)Q(x, y) = \frac{xy}{ab} + \gamma_1(x, y)Q(x, 0) + \gamma_2(x, y)Q(0, y) + \gamma_3(x, y)Q(0, 0)$$



$(x, y) := (x(s), y(s))$  tel que

- $K(x(s), y(s)) = 0$
- les évaluations  $Q(x(s), y(s))$ ,  $Q(x(s), 0)$  et  $Q(0, y(s))$  sont bien définies

# Méthode du noyau

$$xyK(x, y)Q(x, y) = \frac{xy}{ab} + \gamma_1(x, y)Q(x, 0) + \gamma_2(x, y)Q(0, y) + \gamma_3(x, y)Q(0, 0)$$



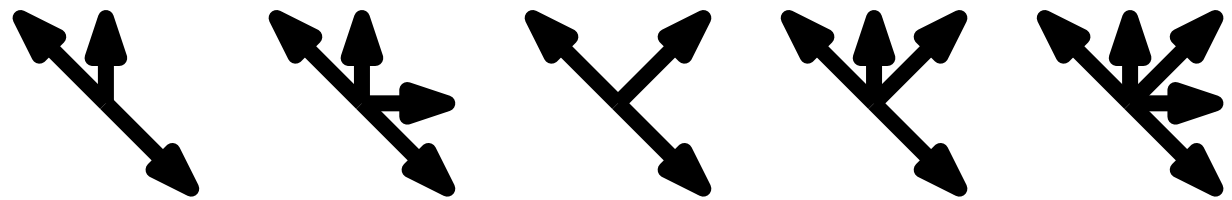
$(x, y) := (x(s), y(s))$  tel que

- $K(x(s), y(s)) = 0$
- les évaluations  $Q(x(s), y(s))$ ,  $Q(x(s), 0)$  et  $Q(0, y(s))$  sont bien définies

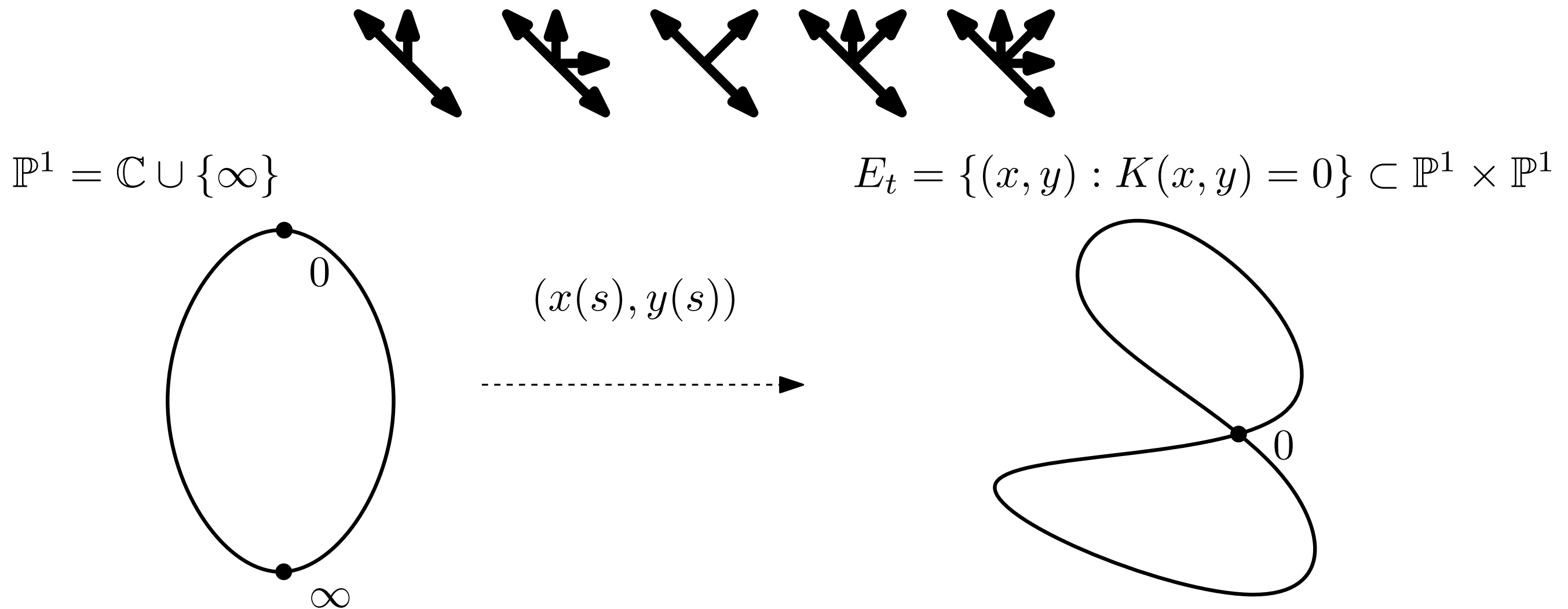
~~$$x(s)y(s)K(x(s), y(s))Q(x(s), y(s)) = \frac{x(s)y(s)}{ab} + \gamma_1(x(s), y(s))Q(x(s), 0)$$
$$+ \gamma_2(x(s), y(s))Q(0, y(s)) + \gamma_3(x(s), y(s))Q(0, 0)$$~~

## **Cas particulier : les modèles de genre 0 [DHRs 18]**

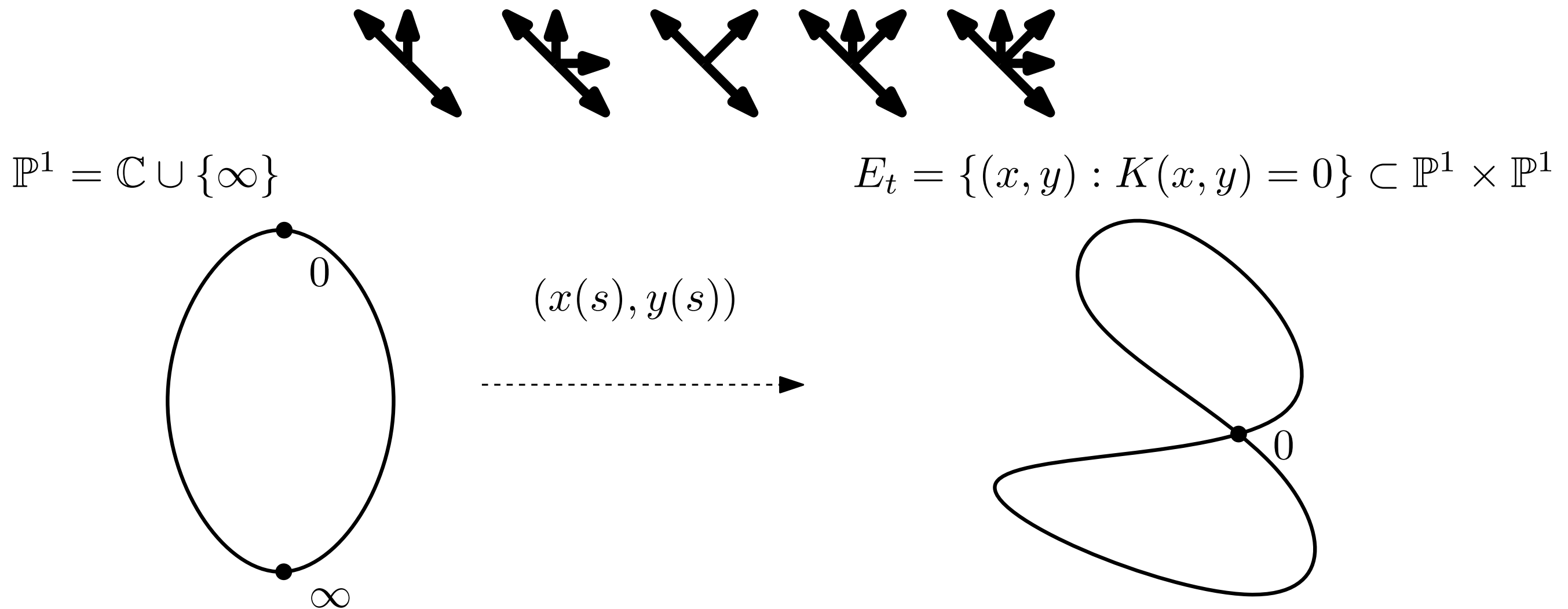
## Cas particulier : les modèles de genre 0 [DHRS 18]



## Cas particulier : les modèles de genre 0 [DHRS 18]

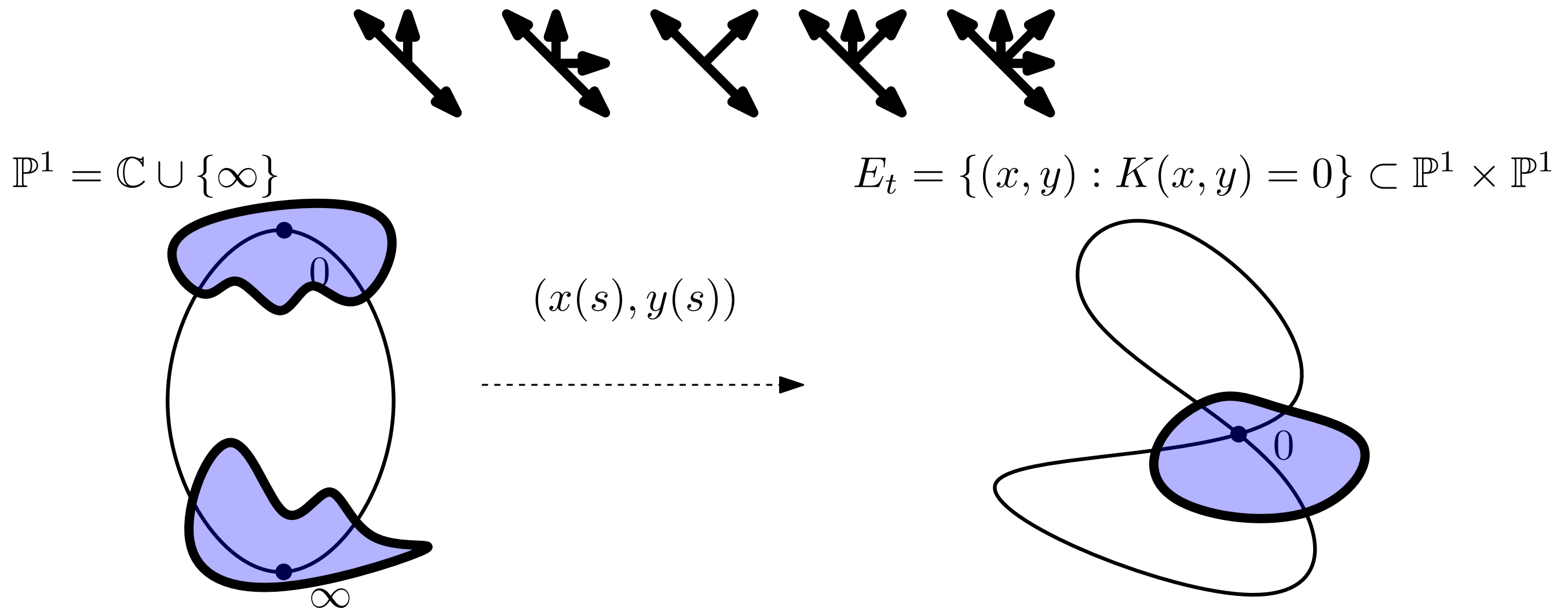


## Cas particulier : les modèles de genre 0 [DHRS 18]



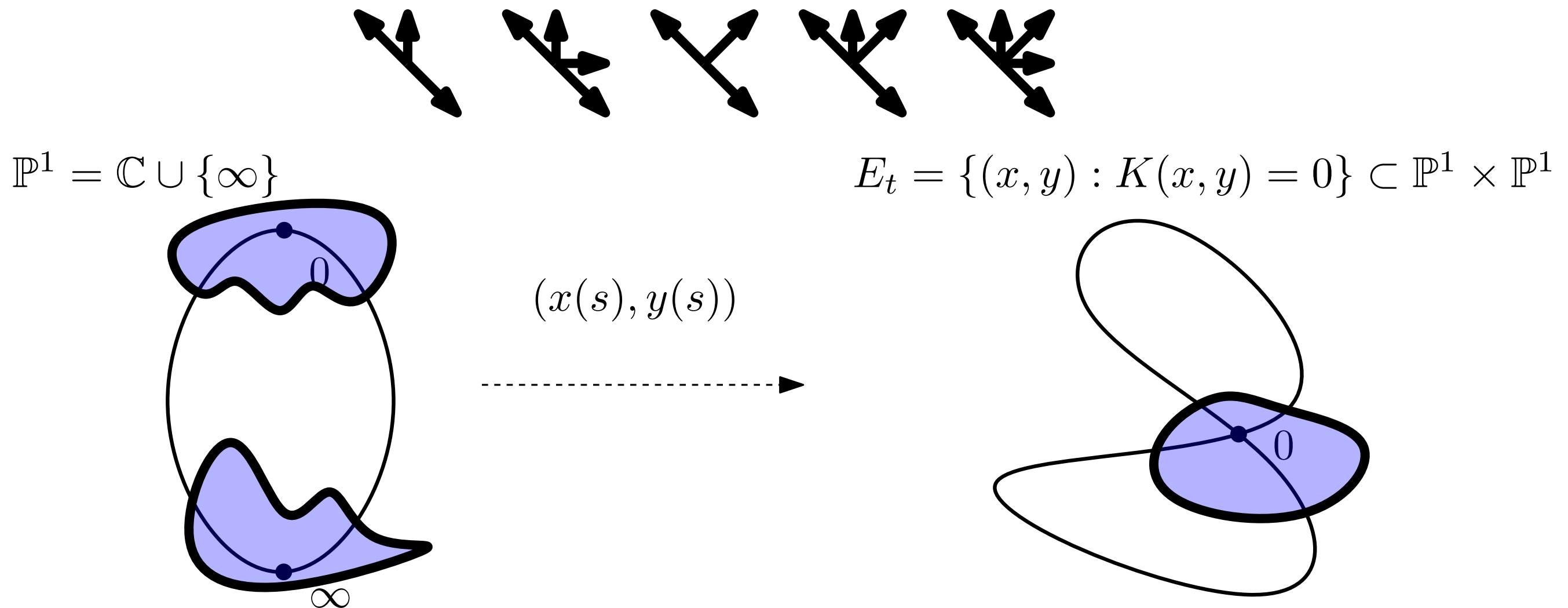
- $x(s), y(s) \in \mathbb{C}(s)$  et  $K(x(s), y(s)) = 0$

## Cas particulier : les modèles de genre 0 [DHRSS 18]



- $x(s), y(s) \in \mathbb{C}(s)$  et  $K(x(s), y(s)) = 0$
- $Q(x(s), y(s)), Q(x(s), 0)$  et  $Q(0, y(s))$  sont méromorphes pour  $s \in U_0$

## Cas particulier : les modèles de genre 0 [DHRSS 18]



- $x(s), y(s) \in \mathbb{C}(s)$  et  $K(x(s), y(s)) = 0$
- $Q(x(s), y(s)), Q(x(s), 0)$  et  $Q(0, y(s))$  sont méromorphes pour  $s \in U_0$
- $\exists q > 1, x(1/s) = x(s)$  et  $y(q/s) = y(s)$  (relèvement du groupe)

## **Évaluation(s) de l'équation**

$$K(x, y)Q(x, y) = \omega + \gamma_1(x, y)xQ(x, 0) + \gamma_2(x, y)yQ(0, y)$$

## Évaluation(s) de l'équation

$$K(x, y)Q(x, y) = \omega + \gamma_1(x, y)xQ(x, 0) + \gamma_2(x, y)yQ(0, y)$$

Évaluation en  $(x, y) = (x(s), y(s))$  pour  $s \in U_0$  :

$$0 = \omega + \tilde{\gamma}_1(s)\textcolor{blue}{x}(s)Q(x(s), 0) + \tilde{\gamma}_2(s)\textcolor{red}{y}(s)Q(0, y(s))$$

$$\tilde{\gamma}_1(s) = \gamma_1(x(s), y(s))$$

$$\tilde{\gamma}_2(s) = \gamma_2(x(s), y(s))$$

## Évaluation(s) de l'équation

$$K(x, y)Q(x, y) = \omega + \gamma_1(x, y)xQ(x, 0) + \gamma_2(x, y)yQ(0, y)$$

Évaluation en  $(x, y) = (x(s), y(s))$  pour  $s \in U_0$  :

$$0 = \omega + \tilde{\gamma}_1(s)\textcolor{blue}{x}(s)Q(x(s), 0) + \tilde{\gamma}_2(s)\textcolor{red}{y}(s)Q(0, y(s))$$

$$\tilde{\gamma}_1(s) = \gamma_1(x(s), y(s))$$

$$\tilde{\gamma}_2(s) = \gamma_2(x(s), y(s))$$

Évaluation en  $(x, y) = (x(\frac{q}{s}), y(\frac{q}{s})) = (x(\frac{s}{q}), y(s))$  pour  $s \in U_0$  :

$$0 = \omega + \tilde{\gamma}_1\left(\frac{q}{s}\right)\textcolor{blue}{x}\left(\frac{s}{q}\right)Q(x(\frac{s}{q}), 0) + \tilde{\gamma}_2\left(\frac{q}{s}\right)\textcolor{red}{y}(s)Q(0, y(s))$$

## Évaluation(s) de l'équation

$$K(x, y)Q(x, y) = \omega + \gamma_1(x, y)xQ(x, 0) + \gamma_2(x, y)yQ(0, y)$$

Évaluation en  $(x, y) = (x(s), y(s))$  pour  $s \in U_0$  :

$$0 = \omega + \tilde{\gamma}_1(s)\textcolor{blue}{x}(s)Q(x(s), 0) + \tilde{\gamma}_2(s)\textcolor{red}{y}(s)Q(0, y(s))$$

$$\tilde{\gamma}_1(s) = \gamma_1(x(s), y(s))$$

$$\tilde{\gamma}_2(s) = \gamma_2(x(s), y(s))$$

Évaluation en  $(x, y) = (x(\frac{q}{s}), y(\frac{q}{s})) = (x(\frac{s}{q}), y(s))$  pour  $s \in U_0$  :

$$0 = \omega + \tilde{\gamma}_1(\frac{q}{s})\textcolor{blue}{x}(\frac{s}{q})Q(x(\frac{s}{q}), 0) + \tilde{\gamma}_2(\frac{q}{s})\textcolor{red}{y}(s)Q(0, y(s))$$

Élimination :

$$x(\frac{s}{q})Q(x(\frac{s}{q}), 0) = u(s) \cdot x(s)Q(x(s), 0) + v(s)$$

# Équation aux q-différences et classification

$$F\left(\frac{s}{q}\right) = u(s) \textcolor{blue}{F}(s) + v(s)$$

$$0 = \omega + \tilde{\gamma}_1(s) \textcolor{blue}{F}(s) + \tilde{\gamma}_2(s) \textcolor{red}{G}(s)$$

$$\textcolor{blue}{F}(s) = x(s)Q(x(s), 0) \quad \textcolor{red}{G}(s) = y(s)Q(0, y(s)) \quad \text{pour } s \in U_0$$

# Équation aux q-différences et classification

$$F\left(\frac{s}{q}\right) = u(s) \textcolor{blue}{F}(s) + v(s)$$

$$0 = \omega + \tilde{\gamma}_1(s) \textcolor{blue}{F}(s) + \tilde{\gamma}_2(s) \textcolor{red}{G}(s)$$

$$\textcolor{blue}{F}(s) = x(s)Q(x(s), 0) \quad \textcolor{red}{G}(s) = y(s)Q(0, y(s)) \quad \text{pour } s \in U_0$$

$$\mathbb{C}(x, y) \left( \begin{array}{ll} Q(x, y) \text{ algébrique} & \Leftrightarrow F(s) \text{ et } G(s) \text{ algébriques} \\ Q(x, y) \text{ D-finie} & \Leftrightarrow F(s) \text{ et } G(s) \text{ D-finies} \\ Q(x, y) \text{ D-algébrique} & \Leftrightarrow F(s) \text{ et } G(s) \text{ D-algébriques} \end{array} \right) \mathbb{C}(s)$$

# Rigidité des solutions $D$ -algébriques

**Théorème [Ishizaki 98; Adamczewski, Dreyfus, Hardouin 08]**

Les solutions méromorphes sur  $\mathbb{C}$  d'équations aux q-différences linéaires à coefficients rationnels sont soit **rationnelles** soit **hypertranscendantes**.

# Rigidité des solutions $D$ -algébriques

**Théorème [Ishizaki 98; Adamczewski, Dreyfus, Hardouin 08]**

Les solutions méromorphes sur  $\mathbb{C}$  d'équations aux q-différences linéaires à coefficients rationnels sont soit **rationnelles** soit **hypertranscendantes**.

Stratégie :

# Rigidité des solutions $D$ -algébriques

**Théorème [Ishizaki 98; Adamczewski, Dreyfus, Hardouin 08]**

Les solutions méromorphes sur  $\mathbb{C}$  d'équations aux q-différences linéaires à coefficients rationnels sont soit **rationnelles** soit **hypertranscendantes**.

**Stratégie :**

$Q(x, y)$  est  $D$ -algébrique  $\Leftrightarrow F(s)$  est  $D$ -algébrique  $\Leftrightarrow F(s)$  rationnelle

# Rigidité des solutions $D$ -algébriques

**Théorème [Ishizaki 98; Adamczewski, Dreyfus, Hardouin 08]**

Les solutions méromorphes sur  $\mathbb{C}$  d'équations aux q-différences linéaires à coefficients rationnels sont soit **rationnelles** soit **hypertranscendantes**.

**Stratégie :**

$Q(x, y)$  est  $D$ -algébrique  $\Leftrightarrow F(s)$  est  $D$ -algébrique  $\Leftrightarrow F(s)$  rationnelle

- si (E) a une unique solution, rationnelle, on montre que  $Q(x, y)$  est **algébrique**

# Rigidité des solutions $D$ -algébriques

**Théorème [Ishizaki 98; Adamczewski, Dreyfus, Hardouin 08]**

Les solutions méromorphes sur  $\mathbb{C}$  d'équations aux q-différences linéaires à coefficients rationnels sont soit **rationnelles** soit **hypertranscendantes**.

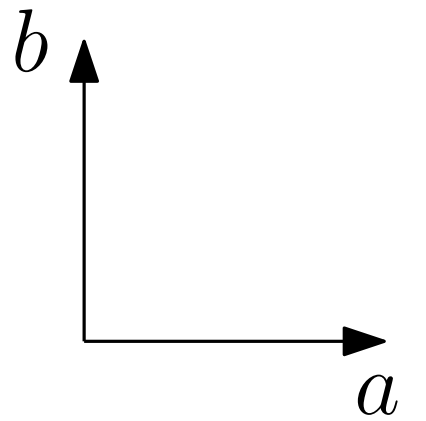
**Stratégie :**

$Q(x, y)$  est  $D$ -algébrique  $\Leftrightarrow F(s)$  est  $D$ -algébrique  $\Leftrightarrow F(s)$  rationnelle

- si  $(E)$  a une unique solution, rationnelle, on montre que  $Q(x, y)$  est **algébrique**
- si  $(E)$  n'a pas de solution rationnelle, on montre que  $Q(x, y)$  est **hypertranscendante**

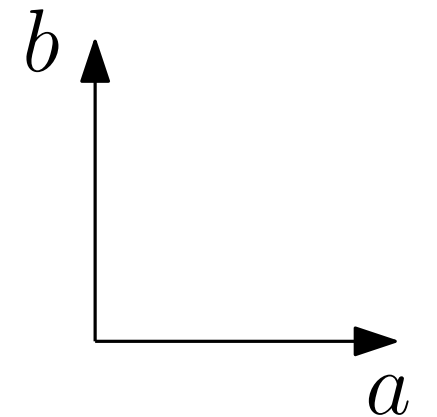
**Cas sans interaction :  $a = b = 1$**

$$F\left(\frac{s}{q}\right) = F(s) + v(s)$$

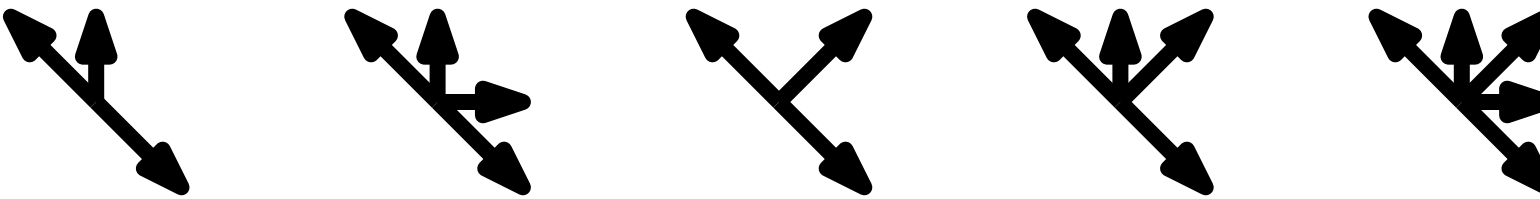


**Cas sans interaction :  $a = b = 1$**

$$F\left(\frac{s}{q}\right) = F(s) + v(s)$$

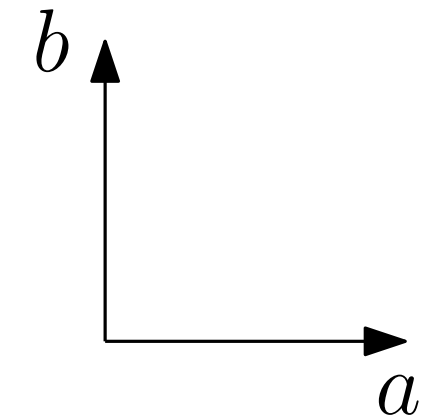


**Théorème [Dreyfus, Hardouin, Roques, Singer 18]**

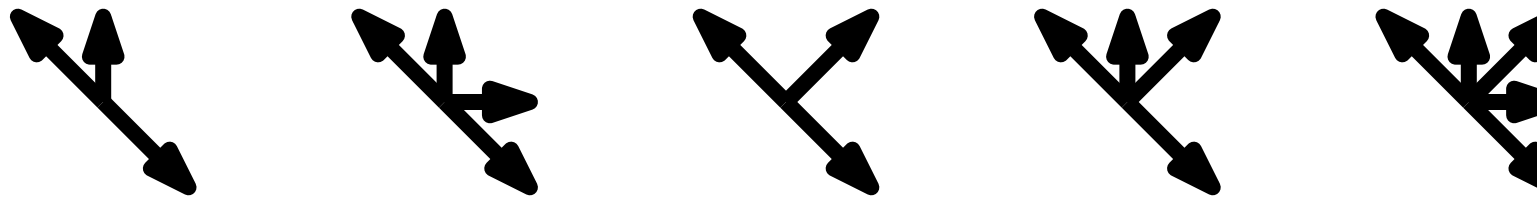


**Cas sans interaction :  $a = b = 1$**

$$F\left(\frac{s}{q}\right) = F(s) + v(s)$$



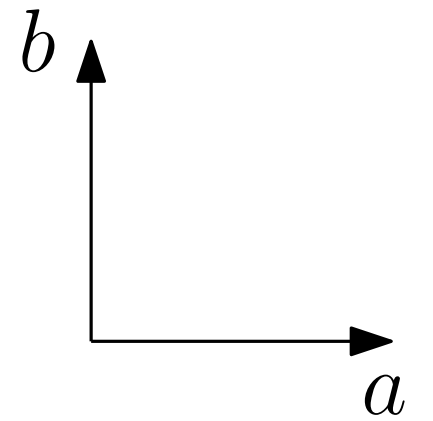
**Théorème [Dreyfus, Hardouin, Roques, Singer 18]**



Pour tous les poids  $d_{i,j}$ , la série  $Q(x, y)$  est **hypertranscendante**.

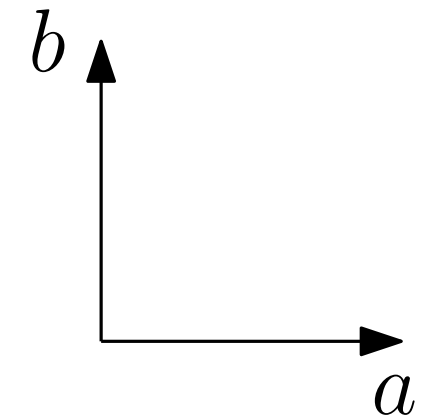
## Cas général : a et b quelconques

$$F\left(\frac{s}{q}\right) = u(s)F(s) + v(s)$$

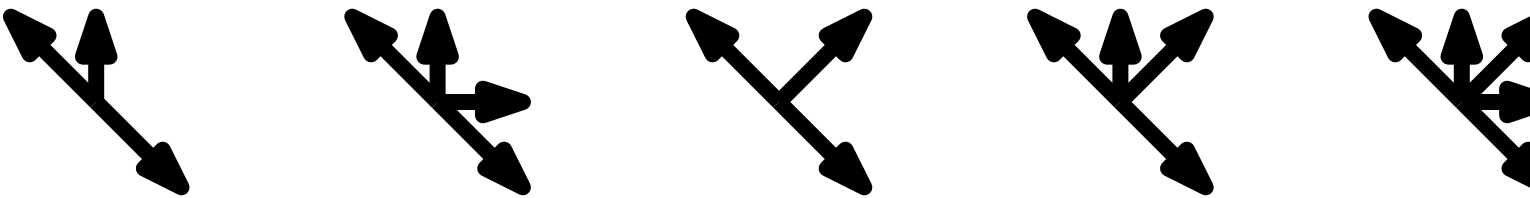


**Cas général : a et b quelconques**

$$F\left(\frac{s}{q}\right) = u(s)F(s) + v(s)$$

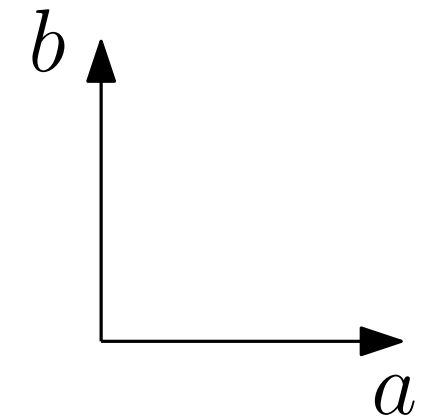


**Theorème [B. 26+]**

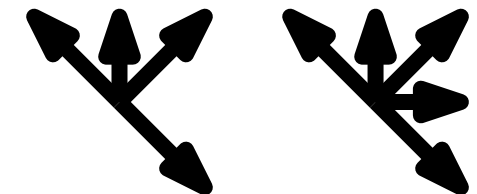
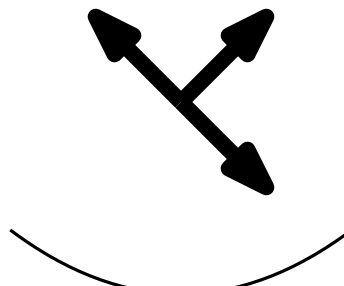
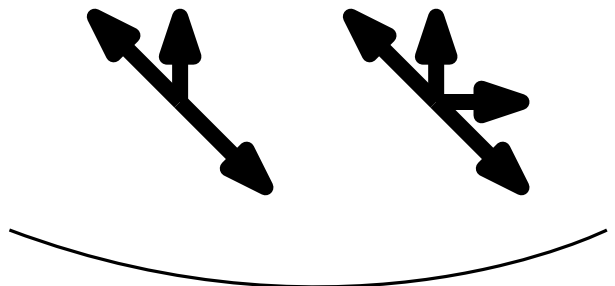


## Cas général : a et b quelconques

$$F\left(\frac{s}{q}\right) = u(s)F(s) + v(s)$$



**Theorème [B. 26+]**



**Rationnels** ssi  $a + b = ab$     **Algébrique** ssi  $a = b = 2$

Pour tous les autres poids  $a$  et  $b$ , la série  $Q(x, y)$  est **hypertranscendante**.

# Localisation des pôles

$$F\left(\frac{s}{q}\right) = u(s) \textcolor{blue}{F}(s) + v(s)$$

# Localisation des pôles

The diagram shows a dashed rectangular frame representing the complex plane. Inside the frame, the equation  $F\left(\frac{s}{q}\right) = u(s)F(s) + v(s)$  is displayed. Two red arrows point from the text "zéros" (zeros) and "pôles" (poles) to the terms  $u(s)$  and  $v(s)$  respectively. The term  $u(s)$  is highlighted with a red box.

$$F\left(\frac{s}{q}\right) = u(s)F(s) + v(s)$$

## Localisation des pôles

$$F\left(\frac{s}{q}\right) = u(s)F(s) + v(s)$$

**Lemme [B. 26+]** Il existe des ensembles finis  $\mathcal{L}^-$  et  $\mathcal{L}^+$  (dépendants de  $u(s)$  et  $v(s)$ ) tels que pour  $s$  un pôle de  $F$ :

• si  $s \notin \mathcal{L}^-$  alors  $\frac{s}{q}$  est un pôle de  $F$

• si  $s \notin \mathcal{L}^+$  alors  $qs$  est un pôle de  $F$

## Localisation des pôles

$$F\left(\frac{s}{q}\right) = u(s)F(s) + v(s)$$

**Lemme [B. 26+]** Il existe des ensembles finis  $\mathcal{L}^-$  et  $\mathcal{L}^+$  (dépendants de  $u(s)$  et  $v(s)$ ) tels que pour  $s$  un pôle de  $F$ :

- si  $s \notin \mathcal{L}^-$  alors  $\frac{s}{q}$  est un pôle de  $F$
- si  $s \notin \mathcal{L}^+$  alors  $qs$  est un pôle de  $F$

**Corollaire [B. 26+]** Si  $F$  est une solution rationnelle de  $(E)$ , et  $s \notin \{0, \infty\}$  est un pôle de  $F$ , alors  $s$  est de la forme suivante :

## Localisation des pôles

$$F\left(\frac{s}{q}\right) = u(s)F(s) + v(s)$$

**Lemme [B. 26+]** Il existe des ensembles finis  $\mathcal{L}^-$  et  $\mathcal{L}^+$  (dépendants de  $u(s)$  et  $v(s)$ ) tels que pour  $s$  un pôle de  $F$ :

- si  $s \notin \mathcal{L}^-$  alors  $\frac{s}{q}$  est un pôle de  $F$
- si  $s \notin \mathcal{L}^+$  alors  $qs$  est un pôle de  $F$

**Corollaire [B. 26+]** Si  $F$  est une solution rationnelle de  $(E)$ , et  $s \notin \{0, \infty\}$  est un pôle de  $F$ , alors  $s$  est de la forme suivante :

$$s \longrightarrow qs \longrightarrow q^2s \longrightarrow \dots \longrightarrow q^n s \in \mathcal{L}^+$$

## Localisation des pôles

$$F\left(\frac{s}{q}\right) = u(s)F(s) + v(s)$$

**Lemme [B. 26+]** Il existe des ensembles finis  $\mathcal{L}^-$  et  $\mathcal{L}^+$  (dépendants de  $u(s)$  et  $v(s)$ ) tels que pour  $s$  un pôle de  $F$ :

- si  $s \notin \mathcal{L}^-$  alors  $\frac{s}{q}$  est un pôle de  $F$
- si  $s \notin \mathcal{L}^+$  alors  $qs$  est un pôle de  $F$

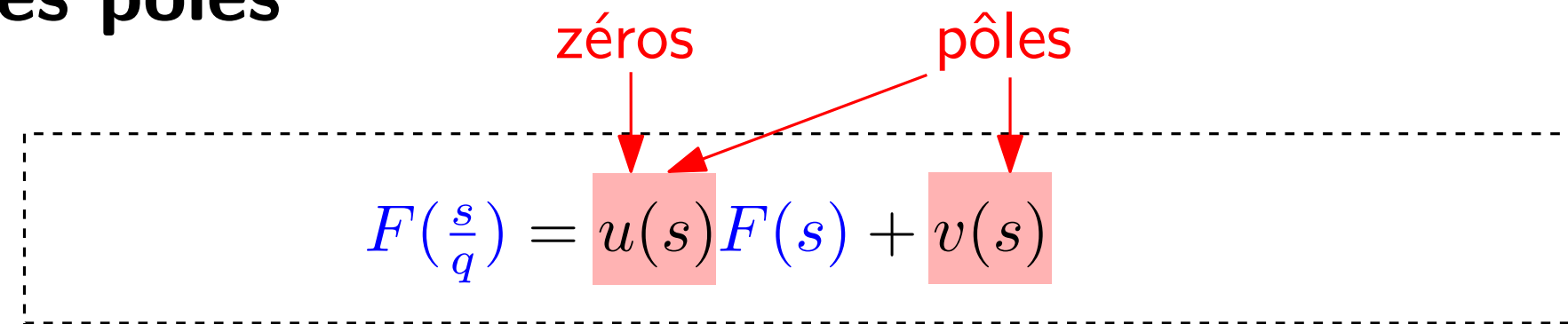
**Corollaire [B. 26+]** Si  $F$  est une solution rationnelle de  $(E)$ , et  $s \notin \{0, \infty\}$  est un pôle de  $F$ , alors  $s$  est de la forme suivante :

$$q^{-m}s \in \mathcal{L}^- \leftarrow \dots \leftarrow \frac{s}{q^2} \leftarrow \frac{s}{q} \leftarrow s \rightarrow qs \rightarrow q^2s \rightarrow \dots \rightarrow q^n s \in \mathcal{L}^+$$

## Localisation des pôles

$$F\left(\frac{s}{q}\right) = u(s)F(s) + v(s)$$

zéros                      pôles



### Stratégie synthétique

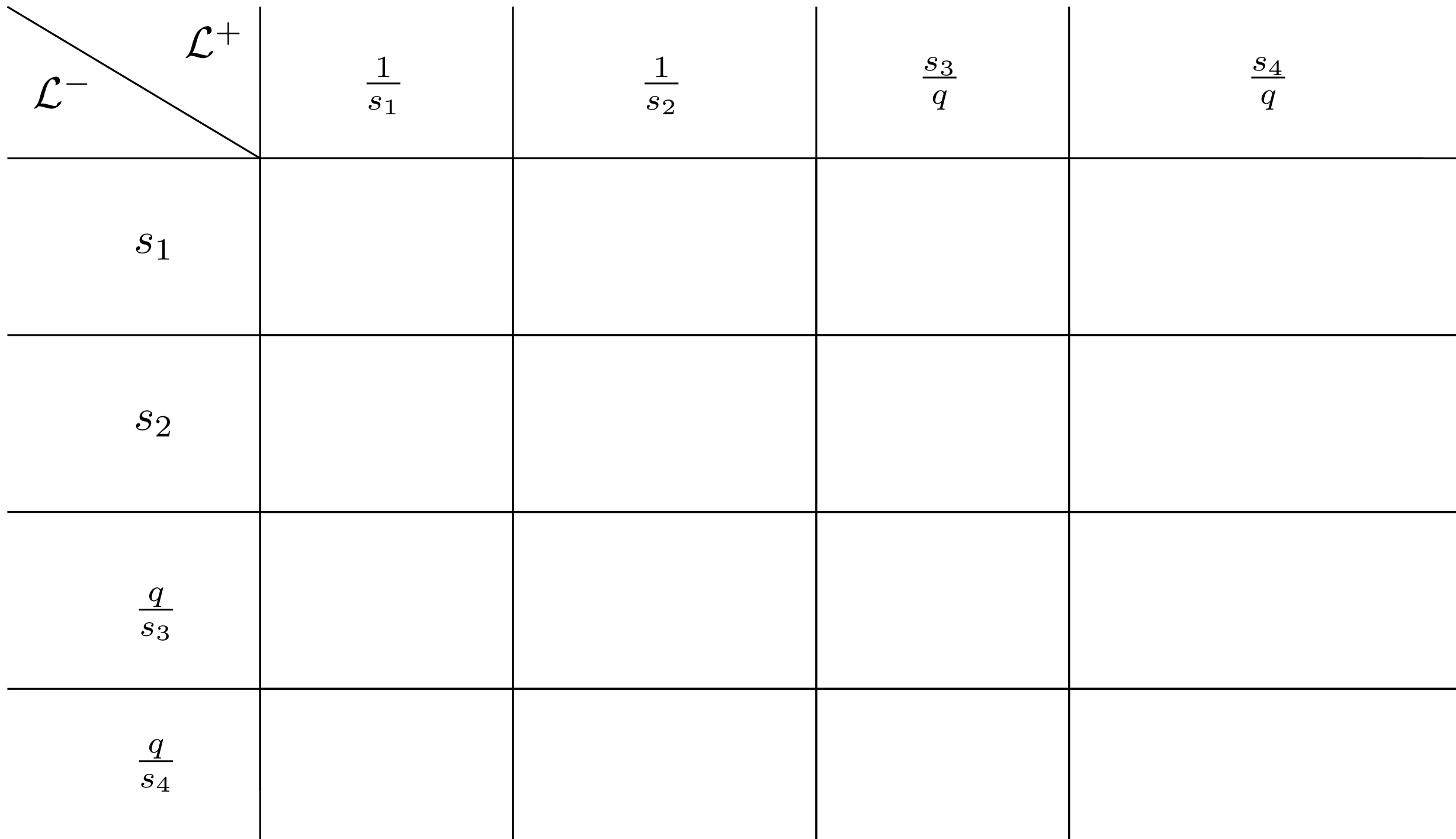
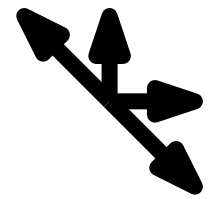
- S'il existe une solution rationnelle  $F(s)$  sans pôles triviaux, alors on a

$$s^- \in \mathcal{L}^- \xrightarrow{q^n} s^+ \in \mathcal{L}^+$$

- Sinon, toute solution rationnelle a ses pôles dans  $0, \infty$ .

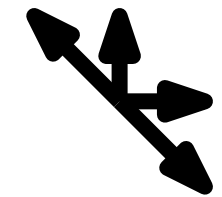
# Localisation des pôles sur un exemple

**Notation** s'il existe  $n \in \mathbb{Z}$  tel que  $q^n s^- = s^+$  on écrit  $n$ , sinon  $\perp$



# Localisation des pôles sur un exemple

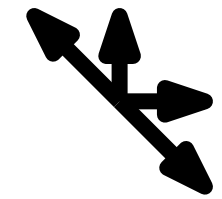
**Notation** s'il existe  $n \in \mathbb{Z}$  tel que  $q^n s^- = s^+$  on écrit  $n$ , sinon  $\perp$



	$\mathcal{L}^-$	$\mathcal{L}^+$		
$s_1$	$\perp$	$\frac{1}{s_1}$	$\frac{1}{s_2}$	$\frac{s_3}{q}$
$s_2$		$-1 \begin{array}{l} \text{si } a = 1 \\ \perp \text{ sinon} \end{array}$		$-1 \begin{array}{l} \text{si } a + b = ab \\ -2 \text{ si } a = b = 1 \\ \perp \text{ sinon} \end{array}$
$\frac{q}{s_3}$			$\perp$	$-2 \begin{array}{l} \text{si } b = 1 \\ \perp \text{ sinon} \end{array}$
$\frac{q}{s_4}$				$\perp$

# Localisation des pôles sur un exemple

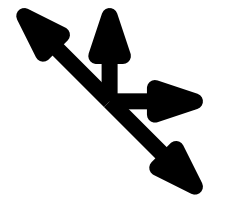
**Notation** s'il existe  $n \in \mathbb{Z}$  tel que  $q^n s^- = s^+$  on écrit  $n$ , sinon  $\perp$



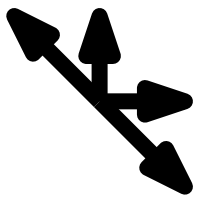
	$\mathcal{L}^-$	$\mathcal{L}^+$		
$s_1$	$\perp$	$\frac{1}{s_1}$	$\frac{1}{s_2}$	$\frac{s_3}{q}$
$s_2$		$\perp$	$-1 \begin{cases} \text{ si } a = 1 \\ \perp \text{ sinon} \end{cases}$	$-1$
$\frac{q}{s_3}$				$0 \quad \text{si } a + b = ab$ $-2 \quad \text{si } a = b = 1$ $\perp \quad \text{sinon}$
$\frac{q}{s_4}$				$-2 \quad \text{si } b = 1$ $\perp \quad \text{sinon}$

## Exemple d'un des modèles

- Supposons que  $a + b \neq ab$  et que  $\mathbf{Q}(x, y)$  est D-algébrique

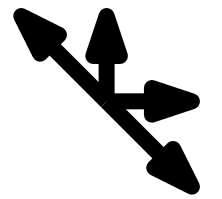


## Exemple d'un des modèles



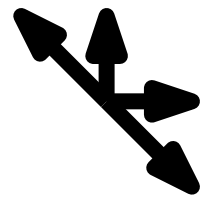
- Supposons que  $a + b \neq ab$  et que  $\mathbf{Q}(x, y)$  est D-algébrique
- $F(s)$  est rationnelle par rigidité des solutions  $D$ -alg des équations aux  $q$ -différences

## Exemple d'un des modèles



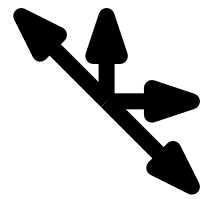
- Supposons que  $a + b \neq ab$  et que  $\mathbf{Q}(x, y)$  est D-algébrique
  - $F(s)$  est rationnelle par rigidité des solutions  $D$ -alg des équations aux  $q$ -différences
  - on montre que si  $a + b \neq ab$ , les seuls pôles de  $F$  sont 0 et  $\infty$

## Exemple d'un des modèles



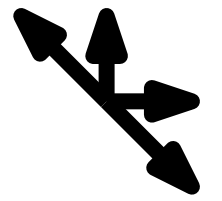
- Supposons que  $a + b \neq ab$  et que  $\mathbf{Q}(x, y)$  est D-algébrique
  - $F(s)$  est rationnelle par rigidité des solutions  $D$ -alg des équations aux  $q$ -différences
  - on montre que si  $a + b \neq ab$ , les seuls pôles de  $F$  sont 0 et  $\infty$
  - on montre que  $F$  est nécessairement une fonction de  $x(s)$

## Exemple d'un des modèles



- Supposons que  $a + b \neq ab$  et que  $\mathbf{Q}(x, y)$  est D-algébrique
    - $F(s)$  est rationnelle par rigidité des solutions  $D$ -alg des équations aux  $q$ -différences
    - on montre que si  $a + b \neq ab$ , les seuls pôles de  $F$  sont 0 et  $\infty$
    - on montre que  $F$  est nécessairement une fonction de  $x(s)$
- $\Rightarrow F(s) = P\left(\frac{1}{x(s)}\right) \Rightarrow x(s)Q(x(s), 0) = P\left(\frac{1}{x(s)}\right) \Rightarrow xQ(x, 0) \in \mathbb{C}[\frac{1}{x}]$ , **absurde**

## Exemple d'un des modèles

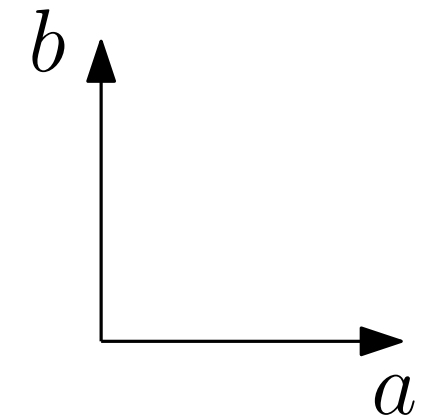


- Supposons que  $a + b \neq ab$  et que  $\mathbf{Q}(x, y)$  est D-algébrique
  - $F(s)$  est rationnelle par rigidité des solutions  $D$ -alg des équations aux  $q$ -différences
  - on montre que si  $a + b \neq ab$ , les seuls pôles de  $F$  sont 0 et  $\infty$
  - on montre que  $F$  est nécessairement une fonction de  $x(s)$   
 $\Rightarrow F(s) = P\left(\frac{1}{x(s)}\right) \Rightarrow x(s)Q(x(s), 0) = P\left(\frac{1}{x(s)}\right) \Rightarrow xQ(x, 0) \in \mathbb{C}\left[\frac{1}{x}\right]$ , **absurde**
- Si  $a + b = ab$ , on trouve une unique solution (!) :

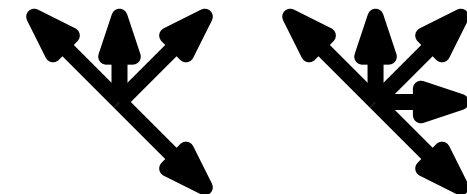
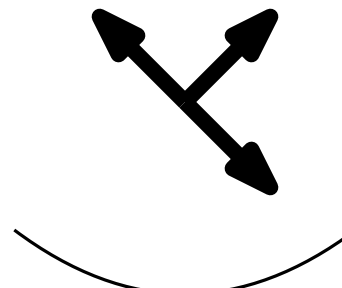
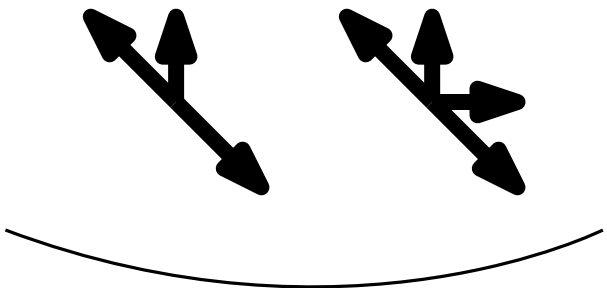
$$Q(x, 0) = \frac{1}{1 - x \frac{ad_{1,0}t + abd_{1,-1}d_{0,1}t^2}{1 - abd_{1,-1}d_{-1,1}t^2}} \quad Q(0, y) = \frac{1}{1 - y \frac{bd_{0,1}t + abd_{-1,1}d_{1,0}t^2}{1 - abd_{1,-1}d_{-1,1}t^2}}$$

# Bilan

$$F\left(\frac{s}{q}\right) = u(s)F(s) + v(s)$$



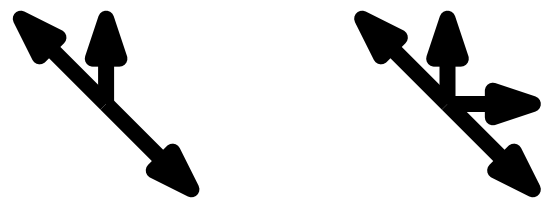
**Theorème [B. 26+]**



**Rationnels** ssi  $a + b = ab$     **Algébrique** ssi  $a = b = 2$

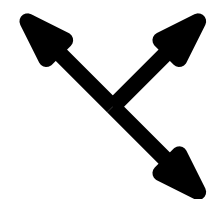
Pour tous les autres poids  $a$  et  $b$ , la série  $Q(x, y)$  est **hypertranscendante**.

# Les cas algébriques



$$a = 1 + \varepsilon$$

$$b = 1 + \frac{1}{\varepsilon}$$



$$a = b = 2$$

$$Q(x, 0) = \frac{1}{1 - x \frac{ad_{1,0}t + abd_{1,-1}d_{0,1}t^2}{1 - abd_{1,-1}d_{-1,1}t^2}}$$

$$Q(0, y) = \frac{1}{1 - y \frac{bd_{0,1}t + abd_{-1,1}d_{1,0}t^2}{1 - abd_{1,-1}d_{-1,1}t^2}}$$

$$Q(x, 0) = \frac{1}{\sqrt{1 - x^2 \frac{4d_{1,1}d_{1,-1}t^2}{1 - 4d_{1,-1}d_{-1,1}t^2}}}$$

$$Q(0, y) = \frac{1}{\sqrt{1 - y^2 \frac{4d_{1,1}d_{-1,1}t^2}{1 - 4d_{1,-1}d_{-1,1}t^2}}}$$

# **Projets futurs**

# Projets futurs

- Comprendre les modèles algébriques de genre 0

# Projets futurs

- Comprendre les modèles algébriques de genre 0
  - Trouver d'autres modèles algébriques

# Projets futurs

- Comprendre les modèles algébriques de genre 0
  - Trouver d'autres modèles algébriques
- Traiter les autres modèles à petits pas

# Projets futurs

- Comprendre les modèles algébriques de genre 0
  - Trouver d'autres modèles algébriques
- Traiter les autres modèles à petits pas
- Reconstituer le diagramme de phases

